



جامعة كربلاء

كلية التربية للعلوم الصرفة

قسم علوم الحياة

دراسة جزئية للتحري عن نسب الاصابة بداء المقوسات الكوندية في النساء
المصابات بسرطان الثدي الورمي بنوعيه الخبيث والحميد في مدينة كربلاء
المقدسة

رسالة مقدمة إلى مجلس كلية التربية للعلوم الصرفة / جامعة كربلاء وهي جزء من متطلبات نيل
درجة الماجستير في علوم الحياة

كُتبت بواسطة

عقيلة صباح أحمد عبد الواحد

(بكالوريوس تربية علوم صرفة-علوم حياة/جامعة كربلاء-2020)

بإشراف

أ. د. كوثير عبد الحسين مهدي الموسوي

الطبيب الاستشاري حيدر جبر كحيوش

كانون الأول 2024م

جمادي الآخر 1446هـ

بِسْمِ اللَّهِ الرَّحْمَنِ الرَّحِيمِ

شَهَدَ اللَّهُ أَنَّهُ لَا إِلَهَ إِلَّا هُوَ وَالْمَلَائِكَةُ وَأُولُو الْعِلْمِ قَائِمًا
بِالْقِسْطِ لَا إِلَهَ إِلَّا هُوَ الْعَزِيزُ الْحَكِيمُ

صَدَقَ اللَّهُ الْعَلِيُّ الْعَظِيمُ

سورة آل عمران / آية (18)

أهرار المشرف على الرسالة

أشهد أن إعداد هذه الرسالة الموسومة: (دراسة جزئية للتحرى عن نسب الأصابة بداء المقوسات الكونية في النساء المصابات بسرطان الثدي الورمي بنوعيه الخبيث والمعيد في مدينة كربلاء المقدسة) قد جرى تحت إشرافه في قسم علوم الحياة / كلية التربية للعلوم الصرفة / جامعة تكريت وهي جزء من متطلبات نيل درجة الماجستير في علوم الحياة.

المشرف الأول


التوقيع:

الاسم: د. كوثير عبد الحسين مهدي الموسوي

المرتبة العلمية : أستاذ

مكان العمل: كلية التربية للعلوم الصرفة - جامعة تكريت

التاريخ: 17/12/2024

المشرف الثاني


التوقيع:

الاسم: د. حيشر جبر كحيلوش

المرتبة العلمية : طبيب استشاري

مكان العمل: مدينة الإمام الحسين(عليه السلام) (الطبية)

التاريخ: 17/12/2024

توصية رئيس قسم علوم الحياة

إشارة إلى التوصية أعلاه من قبل الأستاذ المشرف، أحيل هذه الرسالة إلى لجنة المناقشة لدراستها وبيان الرأي فيها .

التوقيع:


الاسم : د. علاء حسين مهدي

المرتبة العلمية : أستاذ مساعد

مكان العمل : كلية التربية للعلوم الصرفة - جامعة تكريت

التاريخ : 2024/12/17

«إقرار المقوم اللغوي»

أشهد أن هذه الرسالة الموسومة بـ (دراسة جزئية للتحري عن نسب الاصابة بداء المقوسات الكوندية في النساء المصابات بسرطان الثدي الورمي بنوعيه الخبيث والحميد في مدينة كربلاء المقدسة) في كلية التربية للعلوم الصرفة / قسم علوم الحياة / جامعة كربلاء التي قدمتها الطالبة (عقيلة صباح أحمد عبد الواحد) تمت مراجعتها من الناحية اللغوية وتصحيح ما ورد فيها من أخطاء لغوية وتعبيرية وبذلك أصبحت الرسالة مؤهلة للمناقشة بقدر تعلق الأمر بسلامة الأسلوب وصحة التعبير.

التوقيع:

الاسم: د. مسلم مالك الاسدي

المرتبة العلمية: أستاذ

العنوان: جامعة كربلاء / كلية العلوم الإسلامية

التاريخ : 28/12/2024

قرار لجنة المناقشة

نحن أعضاء لجنة المناقشة الموقعين أدناه نشهد بأننا قد اطلعنا على الرسالة الموسومة بـ (دراسة جزئية للتحرى عن نسب الاصابة بداء المقوسات الكوندية في النساء المصابات بسرطان الثدي الورمي بنوعيه الخبيث والحميد في مدينة كربلاء المقدسة) في كلية التربية للعلوم الصرفة / قسم علوم الحياة / جامعة كربلاء التي قدمتها الطالبة (عقيلة صباح احمد عبد الواحد) كجزء من متطلبات نيل درجة الماجستير، وبعد اجراء المناقشة العلمية وجد انها مستوفية لمتطلبات الشهادة وعليه نوصي بقبول الرسالة بتقدير (امتياز).

عضو اللجنة

التوقيع:

الاسم: د. لقاء حسون صببان

المرتبة العلمية: أستاذ

العنوان: جامعة كربلاء / كلية التربية للعلوم الصرفة

التاريخ ١٢/٩/٢٠٢٥

رئيس لجنة المناقشة

التوقيع:

الاسم: د. احسان محمد صلبي

المرتبة العلمية: أستاذ

العنوان: جامعة كربلاء / كلية الطب البيطري

التاريخ ١٧/٣/٢٠٢٥

عضو اللجنة

التوقيع:

الاسم: احسان خضرير عباس

المرتبة العلمية: أستاذ مساعد

العنوان: جامعة القادسية / كلية التمريض

التاريخ ١٨/٣/٢٠٢٥

عضوًا ومشرفاً

التوقيع:

الاسم: د. كوثير عبد الحسين مهدي الموسوي

المرتبة العلمية: أستاذ

العنوان: جامعة كربلاء / كلية التربية للعلوم الصرفة

التاريخ ١١/٣/٢٠٢٥

عضوًا ومشرفاً

التوقيع:

الاسم: د. حيدر جبر كحيوش

المرتبة العلمية: طبيب استشاري

مكان العمل: مدينة الامام الحسين (عليه السلام) الطبية

التاريخ ٢٠/٣/٢٠٢٥

مصادقة عمادة كلية التربية للعلوم الصرفة

أصادق على ما جاء في قرار اللجنة أعلاه

التوقيع:

الاسم: حميداً عيدان سلمان

المرتبة العلمية: أستاذ

العنوان: جامعة كربلاء / كلية التربية للعلوم الصرفة

التاريخ: ٦/٤/٢٠٢٥

الإهاداء

إلى رسول الله وآلـهـ الـاطـهـارـ (عـلـيـهـمـ أـفـضـلـ الصـلـاـةـ وـالـسـلـامـ)
إلى جميع شهدائنا الأبرار.....
إلى كل من علمني حرفاً واحداً في جميع رحلتي الدراسية.....
إلى معلمتي الأولى والدتي الغالية.....
إلى سندـيـ الثـابـتـ وـعـزـيـ الدـائـمـ وـالـدـيـ الـغـالـيـ.....
إلى من شـدـ اللهـ بـهـمـ عـضـديـ أـخـوـتـيـ ...ـأـخـوـاتـيـ.....
إلى بهجة أيامـيـ وـسـعـادـتـيـ أـصـدـقـائـيـ.....

الباحثة عقيلة العيداني

الشكر والتقدير

الحمد لله كما هو أهلها والصلوة والسلام على أشرف الخلق والمرسلين رسوله الكريم محمد ﷺ، أشكر الله العلي القدير الذي أنعم عليّ بنعمة العقل والدين القائل في حكم التنزيل (عَلَمَ الْإِنْسَانَ مَا لَمْ يَعْلَمْ).

أتقدم بوافر الشكر والتقدير إلى رئاسة جامعة كربلاء وإلى عمادة كلية التربية للعلوم الصرفة وقسم علوم الحياة وأساتذته الأفاضل.

اعترافاً مني بالجميل أتقدم بجزيل الشكر إلى الذين لم يدخلوا جهداً في مساعدتي بمجال البحث العلمي وأخص بالذكر أستاذتي الفاضلة أ.د. كوثر عبد الحسين مهدي الموسوي وأستاذني الفاضل الطبيب الاستشاري في الامراض النسجية حيدر جير كحيوش، على جهودهم المبذولة في إعداد هذه الرسالة واستمرارهم في توجيهي ومساعدتي في تجميع المادة البحثية.

كما أخص بالشكر الجليل الاستاذ الدكتور حيدر علي محمد الكرعاوي (كلية الطب البيطري)، لمساهمته الكبيرة في تقديم المساعدة في الجانب العملي والنظري في مجال بحثي علمي.

كما أتوجه بالشكر الجليل إلى كادر مختبر التقطيع النسيجي في مدينة الامام الحسين (عليه السلام) الطبية ومستشفى الكفيل التخصصي لمدهم يد العون والمساعدة في جمع العينات وإجراء الجانب النسيجي، وأخص بالشكر والتقدير مركز الفحص المبكر لكشف سرطان الثدي لتقديمه المعلومات القيمة لإتمام هذا البحث العلمي. ولا يفوتي ان اوجه شكري وأمتناني إلى زملائي طلبة الدراسات العليا فجزاهم الله عنى خير الجزاء.

الباحثة عقيلة العيداني

الخلاصة

هدفت الدراسة الحالية لمقارنة نسبة الإصابة بداء المقوسات الكوندية لدى المصابات بسرطان الثدي بنوعيه الحميد والخبيث في محافظة كربلاء المقدسة، اجريت الدراسة في شهر تشرين الاول من سنة 2023 إلى شهر حزيران لسنة 2024 إذ تم جمع 150 عينة من أنسجة سرطان الثدي الورمية الخبيثة والمطمورة بشمع البارافين Paraffin Embedded Tissue والمشخصة من قبل الطبيب المختص و50 عينة من الأنسجة الورمية الحميدة، وتم جمع هذه العينات من مختبر التقطيع النسيجي في مدينة الإمام الحسين (عليه السلام) الطبية ومختبر مستشفى الكفيل التخصصي ومختبر السجاد التخصصي للفحوصات النسجية والخلوية وتشخيص الأورام في كربلاء المقدسة.

شملت عينات الدراسة ثلاثة مجتمعات، المجموعة الأولى 66 امرأة مصابة بسرطان الثدي لم يخضعن للعلاج الكيميائي، المجموعة الثانية 84 امرأة مصابة بسرطان الثدي من خضعن للعلاج الكيميائي، والمجموعة الثالثة 50 امرأة مصابة بالورم الحميد، إذ تراوحت أعمار المريضات من 25-54، تم اجراء تقنية تفاعل البلمرة المتسلسل Polymerase chaine reaction (PCR) كما تم التعرف على أكثر الأنماط الوراثية لطيفي داء المقوسات بواسطة تقنية Restriction fragment length polymorphism (PCR-RFLP) على الحمض النووي الريبيوري منقوص الاوكسجين DNA في عينات النسيج المصابة بسرطان الثدي لكافة المجتمعات قيد الدراسة وذلك بالاعتماد على تضخيم جينات *SAG1, B1, SAG3* إذ تم استعمال أنزيمات قطع خاصة لمعرفة النمط الوراثي لطيفي المقوسات الكوندية *Toxoplasma gondii* إذ استعمل الانزيم Hhal لمعرفة النمط الجيني الثاني عند حجم 221bp واستعمل أنزيم Sau3A1 لمعرفة النمط الجيني الثالث عند حجم 241bp، والفحص النسيجي .

وبينت النتائج أن معدل الإصابة بداء المقوسات في مريضات سرطان الثدي 11.3% ومقابل الإصابة 4% في النساء المصابات بالورم الحميد، وأن نسبة الإصابة في النساء اللواتي يتلقين العلاج 76.5% أما في النساء اللواتي لم يتلقين العلاج بلغت نسبة الإصابة 23.5%， ونسبة خطر الإصابة تزيد من أحتمالية إصابة النساء المصابات بسرطان الثدي بنسبة 3.7% مما يصيب الأصحاء، كما بينت الدراسة الحالية أكثر الفئات العمرية المصابة بداء المقوسات الكوندية كانت الفئة >56، إذ بلغت نسبة الإصابة في هذه الفئة 37.3%， ووضحت النتائج أكثر الأنماط الوراثية التي ظهرت في مجتمع الدراسة هو النمط الوراثي الثاني والنمط الوراثي الثالث، أما نتائج الفحص النسيجي لم تظهر أي تغيرات نسجية واضحة في أنسجة المجتمع الدراسية .

قائمة المحتويات

الصفحة	العنوان	الترتيب
I	الخلاصة	
IV	المحتويات	
XIV	قائمة الجداول	
XIV	قائمة الاشكال الصور	
XVII	قائمة المختصرات	
الفصل الأول		
المقدمة		
1	Introduction المقدمة	1-1
2	هدف الدراسة	2-1
الفصل الثاني		
استعراض المراجع		
3	نبذة تاريخية لطيفيلي المقوسات الكوندية <i>Toxoplasma gondii</i>	1-2
4	تصنيف الطيفيلي Parasite classification	2-2
5	الشكل والتركيب Morphology & Structure	3-2
5	الطور سريع التكاثر Tachyzoite	1-3-2
6	الطور بطيء التكاثر او الاكياس النسجية Bradyzoite or tissue cysts	2-3-2
7	طور كيس البيض Oocyst	3-3-2
8	دورة الحياة Life cycle	4-2
8	الدورة داخل معوية (دورة القطط) Enteric Cycle (feline cycle)	1-4-2

9	الدورة خارج المعاوية (دورة الإنسان) (Exoenteric Cycle)	2-4-2
10	العلاقة بين طفيلي المقوسات وخلية المضيف	5-2
12	الأنماط الوراثية للطفيلي Genotypes of parasite	6-2
13	الوبائية Epidemiology	7-2
14	الإمراضية والأعراض السريرية Features Pathogenesis and Clinical	8-2
14	أنواع داء المقوسات Types of Toxoplasmosis	9-2
15	داء المقوسات الخلقي Congenital Toxoplasmosis	1-9-2
15	داء المقوسات العيني Ocular Toxoplasmosis	2-9-2
15	داء المقوسات في المرضى ذوي النقص المناعي Toxoplasmosis in Immunocompromised patients	3-9-2
16	داء المقوسات المكتسب Acquired Toxoplasmosis	4-9-2
16	تشخيص داء المقوسات Diagnosis Toxoplasmosis	10-2
17	الاختبارات المصلية Serologic Tests	1-10-2
20	اختبار الكشف السريع Rapid Tests	9-10-2
20	الكشف عن DNA الطفيلي	10-10-2
23	السرطان Cancer	11-2
24	العلاقة بين الاصابات الطفيلية والسرطان	12-2
25-26	علاقة داء المقوسات الكوندية بالسرطان	13-2
27	سرطان الثدي Breast cancer	14-2
27-28	الوصف النسجي للثدي Histological discription of breast	1-14-2

الفصل الثالث

المواد وطرق العمل

30	المواد	1-3
30	الاجهزه	1-1-3
30	الأدوات	2-1-3
31	المواد الكيميائية والمحاليل	3-1-3
31	العدد المستعملة في هذه الدراسة	4-1-3
31	Laboratory Methods	2-3
31	جمع العينات Samples Collection	1-2-3
33	طريقة التشخيص Diagnostic Methods	2-2-3
33	الاختبارات الجزيئية Molecular Test	3-2-3
40	الدراسة النسجية Histological study	3-3
41	التحليل الاحصائي	4-3

الفصل الرابع

النتائج والمناقشة

42	الدراسة الجزيئية لعينات أنسجة سرطان الثدي	1-4
44	محاميع الدراسة	1-1-4
45	نسبة الاصابة بداء المقوسات وفقاً للفئات العمرية	2-1-4
46	نوع النمط الوراثي للمقوسات الكوندية في مريضات سرطان الثدي	3-1-4
47	نسبة تأثير العلاج الكيمياوي على المصابات بداء المقوسات الكوندية	4-1-4
48	علاقة داء المقوسات الكوندية مع نوع سرطان الثدي	5-1-4
49	علاقة المقوسات الكوندية مع درجة سرطان الثدي	6-1-4

51	نتائج تحليل تتابع القواعد النيتروجينية للنمط الوراثي الثاني	2-4
53	نتائج تحليل تتابع القواعد النيتروجينية للنمط الوراثي	3-4
55	الفحص النسيجي لطفيلي المقوسات الكوندية في انسجة سرطان الثدي	4-4
الفصل الخامس		
الاستنتاجات والتوصيات		
59	Conclusions الاستنتاجات	1-5
60	Recommendations التوصيات	2-5
الفصل السادس		
المصادر		
61	المصادر العربية	1-6
59	المصادر الأجنبية	2-6
الملحق		
Abstract		

قائمة الجداول

الصفحة	العنوان	الترتيب
30	الأجهزة المستعملة حسب المنشأ والشركة	1-3
30	الأدوات المستعملة حسب الشركة والمنشأ	2-3
31	المواد الكيميائية والمحاليل المستعملة حسب الشركة والمنشأ	3-3
31	العُدد المستعملة في استخلاص الحمض النووي	4-3
33	مكونات العدة المستعملة في استخلاص الحمض النووي الريبيوزي DNA	5-3

36	مكونات Master Mix لتفاعل انزيم البلمرة المتسلسل	6-3
37	تسلسل البوادى المستعملة في الدراسة الجزيئية	7-3
37	مكونات تفاعل انزيم البلمرة المتسلسل	8-3
38	البرنامج المستعمل لجين <i>B1</i> في جهاز PCR	9-3
38	البرنامج المستعمل لجين <i>SAG1</i> في جهاز PCR	10-3
39	البرنامج المستعمل لجين <i>SAG3</i> في جهاز PCR	11-3
44	مجاميع الدراسة المستعملة في الفحص الجزيئي لطيفيلي المقوسات الكوندية	1-4
46	علاقة المقوسات الكوندية مع الفئات العمرية في المريضات	2-4
47	النمط الوراثي للمقوسات الكوندية في مريضات سرطان الثدي	3-4
48	تأثير العلاج الكيميائي على المصابات بداء المقوسات الكوندية	4-4
49	علاقة داء المقوسات الكوندية مع نوع سرطان الثدي	5-4
49	علاقة المقوسات الكوندية مع درجة سرطان الثدي	6-4

قائمة الاشكال

الصفحة	العنوان	الترتيب
7	شكل (أ) الطور سريع التكاثر Tachyzoites (ب) الطور بطيء Bradyzoite التكاثر	1-2
8	شكل (A) الكيس النسيجي Oocyst و(B) كيس البيض Tissue cyst	2-2
10	شكل دورة حياة طيفيلي المقوسات الكوندية	3-2
29	شكل البنية التشريحية للثدي	4-2
29	شكل انواع سرطان الثدي الاكثر شيوعاً	5-2
32	شكل تصميم التجربة	1-3
42	شكل الترحيل الكهربائي لجين <i>B1</i> لطيفيلي المقوسات الكوندية	1-4
43	شكل الترحيل الكهربائي لجين <i>SAG1</i> لطيفيلي المقوسات الكوندية	2-4

43	شكل الترhill الكهربائي لجين <i>SAG1</i> في النساء المصابات بسرطان الثدي الحميد	3-4
43	شكل الترhill الكهربائي لجين <i>SAG3</i> لطفيي المقوسات الكوندية	4-4
53	شكل درجات التشابه والاختلاف للعزلة LC848443 لهذه الجينات مع بيانات بنك الجينات NCBI للنط الوراثي الثاني لطفيي المقوسات الكوندية	5-4
56	شكل درجات التشابه والاختلاف للعزلة LC848444 لهذه الجينات مع بيانات بنك الجينات NCBI للنط الوراثي الثالث لطفيي المقوسات الكوندية	6-4
56	شكل(a) مقطع نسيجي لسرطان الثدي مصاب بطفيلي المقوسات الكوندية داخل الخلايا البلعمية Macrophage cells، (b) مقطع نسيجي لسرطان ثدي غير مصاب بطفيلي المقوسات الكوندية (1000x H&E).	7-4

قائمة المختصرات

المختصرات	المصطلحات
ANA	Anti-nuclear auntibodies
GRA	Densgranules
DPX	Disterin Plasticizer Xylene
DT	Dye test
ELISA	Enzyme linked immunosorbent assay
RFLP	Fragment length polymorphism
IHAT	Indirect hemoaggluation test
HIV	Immunodeficiency Virus
IFAT	Indirect fluorescent Antibody test
IHA	Indirect hemagglutination
IFN-Y	Interferon gamma

IL-12	Interleukin12
IL-2	Interleukin-2
MIC	Micronemes
MAT	Modified Agglutination test
NKC	Natural killer cells
PCR	Polymerase chain reaction
N-PCR	Nasted Polymerase chaine reaction
PVM	Primary Vacuoles membrane
R.B.Cs	Red blood corpuscles
RF	Rheumatoid factor
ROP	Rohoptry
TDLUS	Terminal Ductal Lobular Units
T-h1	T-helper

الفصل الأول

المقدمة

Introduction

1-1: المقدمة

يعد داء المقوسات من الأمراض حيوانية المنشأ يسببه طفيلي المقوسات الكوندية *Toxoplasma gondii* الذي هو من الحيوانات الابتدائية الإجبارية الداخل خلوية إذ يصيب الإنسان والحيوانات ذوات الدم الحار كمضائق وسطية، بينما العديد من أفراد العائلة السنورية تعمل كمضائق نهائية ووسطية لطفيلي (Mahmood et al., 2022). يصيب الطفيلي الإنسان من خلال تناول الطعام أو الماء الملوث مع أكياس البيض Oocyst المطروحة مع براز القطط المصابة أو بوساطة استهلاك اللحوم النيئة أو المطبوخة بشكل غير جيد الحاوية على الأكياس النسجية Tissue cysts وممكن أن ينتقل خلقياً من الأم المصابة إلى الجنين (Addo et al., 2023).

تكون الإصابة بداء المقوسات عالمية الانتشار بين البشر إذ يكون متغيرةً من منطقة إلى أخرى وحوالي ثلث سكان العالم معرض للإصابة بالطفيلي، تكون الإصابة عادة بدون اعراض في الأشخاص المؤهلين المناعة Immunocompetent individuals بينما تكون الإصابة حادة وخطيرة في الأشخاص غير المؤهلين المناعة Immunocompromised على سبيل المثال النساء الحوامل والأشخاص المصابين بالايدز & Ali HIV (AL-warid, 2021) ينتقل الطفيلي من الأم الحامل المصابة إلى الجنين عبر المشيمة ويسبب التشوهات الخلقية والاجهاضات ، ولاسيما إذا حدثت الإصابة خلال الأشهر الثلاثة الأولى First trimesters من الحمل أما إذا حدثت الإصابة في الأشهر الثلاثة الأخيرة Third trimesters من الحمل فإنه ربما لا تسبب علامات سريرية في الأطفال في المراحل المبكرة من العمر لكن مع تقدم عمر الطفل ربما قد تتطور علامات أخرى على سبيل المثال التهاب الشبكية المشيمية أو داء المقوسات العيني، تحدد شدة المرض عن طريق بضعة عوامل تشمل مناعة المضيف، سلالة الطفيلي، حجم الجرعة المعديّة ونوع الاستجابة المناعية للمضيف (Mahmood et al., 2022).

يعد السرطان أحد الأسباب الرئيسية للوفاة في أنحاء العالم جمِيعاً (Jemal et al., 2011) على الرغم من التشخيص الدقيق لهذا الورم الخبيث، إلا أنه السبب الأكثر شيوعاً للوفاة المرتبطة بالسرطان Kalantari et al., 2015) خلال العقدين الماضيين سجلت زيادة واضحة في معدلات الإصابة بسرطان الثدي Breast Cancer (Alwan, 2010) وهو النوع الثاني من أنواع السرطانات الشائعة بعد سرطان الرئة والأكثر سيادة بين الامراض الخبيثة التي تصيب النساء حول العالم (Mc Pherson et al., 2000). اثبتت الدراسات وجود علاقة كامنة بين داء المقوسات والامراض الخبيثة بما في ذلك سرطان الدماغ وسرطانات الفم (Zhou et al., 2018)، علاوة على ذلك في إيران تم اكتشاف الحمض النووي لطفيلي المقوسات الكوندية في أنسجة سرطان الثدي المثبتة بالفورمالين وشمع البارافين (Kalantari et al., 2017). كما

المقدمة Introduction

أشارت بعض الدراسات إلى امكانية ارتباط داء المقوسات بالإصابة بأنواع أخرى من السرطان مثل سرطان الدم والمبيض والرئة (Ahmad Pour *et al.*, 2015).

يعد التشخيص والوصف الوراثي لطفيلي المقوسات الكوندية مهم في التشخيص السريري وكذلك في التقصي الوبائي ومكافحة الطفيلي والسيطرة عليه في الإنسان والحيوان (Gomes *et al.*, 2020). يستعمل تفاعل البلمرة المتسلسل -*الـ* (PCR) على نطاق واسع في الكشف عن الاصابة بداء المقوسات الكوندية منذ استعماله لأول مرة من قبل، Burg *et al*, (1989) لاستهداف جين B1 (Marques *et al.*, 2020) ، كما يتم استعمال PCR في استهداف الجينات ذات النسخة الواحدة مثل جين SAG1, SAG2, SAG3 (Switaj *et al.*, 2005) و GRA1 في الإنسان والحيوانات.

يعد تفاعل أنزيم البلمرة المتسلسل PCR التقنية الأكثر أهمية وحساسية في تشخيص عدوى داء المقوسات وتحديد النمط الجيني في العينات السريرية للبشر، لأول مرة عام 1991 تم استعمال تقنية ال PCR داخل جسم الكائن الحي لتحديد الجين B1 داخل طفيلي المقوسات الكوندية (Weiss *et al.*, 1991)، وقد انصب الاهتمام الرئيسي على مستضد السطح (SAG) لطفيلي في كل من مرحلتي التكاثر السريع Tachyzoite والبطيء Bradyzoite والتي تسمى Bradyzoite AL-Tamemmi *et al*, (2019)، إذ تعد مجموعة مهمة من البروتينات السطحية ذات الصلة بنويياً، ولكنها متميزة من الناحية المستضدية، والتي تسمى بروتينات التسلسل المرتبط بـ SAG1 (SRS)، هي مفتاح النجاح في دخول الطفيلي إلى خلايا المضيف. تتألف هذه العائلة الفائقة من 20 بروتيناً متماثلاً على الأقل (Hartati *et al.*, 2006).

تعد الدراسات المتعلقة بارتباط هذا الطفيلي مع مرض سرطان الثدي سواء في العراق أو العالم مازالت تحتاج إلى احصائيات دقيقة ودراسات مستفيضة لبيان دور الطفيلي وتأثيره على مرضي السرطان إذ أن توافر الاحصائيات الدقيقة يسهم في توضيح العلاقة ما بين الإصابة بالطفيلي ومرض سرطان الثدي.

2-1: هدف الدراسة

نظراً لكون طفيلي داء المقوسات الكوندية من الطفيليات الانتهازية و يؤثر بشكل كبير على المصابين بالسرطان بسبب ضعف الجهاز المناعي لديهم لذا تمحورت الدراسة على عدة أهداف أهمها:

- 1- تقصي الإصابة بداء المقوسات لدى النساء المريضات بسرطان الثدي بنوعيه الخبيث والحميد.
- 2- معرفة الأنماط الوراثية لطفيلي المقوسات الكوندية الأكثر شيوعاً.
- 3- معرفة مدى تأثير العلاج الكيميائي بنسبة الإصابة بداء المقوسات.
- 4- معرفة التغيرات النسجية التي من الممكن ان يسببها طفيلي المقوسات الكوندية.

الفصل الثاني

استعراض المراجع

Literature review

2- استعراض المراجع Literatures Review

2-1: نبذة تاريخية لطيفي المقوسات الكوندية *Toxoplasma gondii*

تتمثل نقطة البداية باكتشاف طيفي المقوسات الكوندية لأول مرة من قبل العالم Laveran عام 1900 في دم طائر أمريكي، واكتشف العالمان Nicholle & Manceau عام 1908 العامل المسبب في أحد القوارض الأفريقية الذي يُعرف باسم *Cremodactylus gondii* في مختبرات لويس باستور في تونس واعطاء الاسم العلمي *Toxoplasma gondii*، وفي السنة نفسها عثر Splendar على الطيفي في الارنب في البرازيل (Ferguson , 2009 ,).

كان بين عام 1908-1937 هناك الكثير من البحوث التي ذكرت العثور على كائنات تشبه المقوسات الكوندية في العديد من أنواع الحيوانات، وفي عام 1927 أعلن العالم Torres عن وجود الطيفي في الكثير من أنسجه الإنسان وكذلك في الجهاز العصبي المركزي Mahbodfar *et al* (2015).

وصف العالم Levaditi في عام 1928 بعض البوغيات على أنها طيفي المقوسات الكوندية بينما اقترح Wolf & Cowen في عام 1938 إن الطيفي هو العامل المسبب لأنفصال الدماغ عند حديثي الولادة، وقدموا أول تقرير عن الانتقال الخالي للطيفي. سجلت أول إصابة بداء المقوسات الكوندية في العراق من قبل Machattie سنة 1938 عند فحص مسحة مأخوذة من الطحال والرئتين من الكلاب السائبة في بغداد (Gillespie & Pearson,2001) Pinkerton & Weinman سنة 1940 سجل أول حالة وفاة بسبب داء المقوسات في البالغين، أما Sabin في عام 1940 فقد وصف علامات الثالث (التهاب شبكي مشيمية Hydrocephalus، تضخم الرأس Retinochoroiditis) تخلّس الدماغ (Hill & Dubey, 2018) في الرضع المصابين بداء المقوسات الخلقي (Cerebral calcification).

وصف Slim في عام 1952 الشكل الغدي Gl&ular من الإصابة بداء المقوسات المكتسب، تمكن وجماعته في عام 1954 من عزل الطيفي من عين مريض يعاني من التهاب الشبكي المشيمية Jacobs Hutchinson. (Weiss & Kim,2020) وفي نفس العام توصل Weinman & Ch&ler إلى أن انتقال الطيفي ربما يحدث بسبب أكل لحوم الخنازير غير المطبوخة.

اكتشف Jacobs & Remington إن الأكياس النسجية مقاومة للأنزيمات المحللة Hutchinson. (Weiss & Kim,2020) في عام 1965-1969 اكتشف الطيفي في براز القطط واقترح أن القطط المضيف النهائي للطيفي Wallace (1969) بوساطة اجراء دراسة وبائية لسكان

استعراض المراجع.....Literatures Review

بعض جزر المحيط الهادئ توصل إلى أهمية القطط في نقل الاصابة للإنسان. Dubey & Frenkel (1970) وجدت الأطوار الجنسية وأكياس البيض في الأمعاء الدقيقة للقطط (Joynson & Wreggitt, 2001). وفي عام 1982 سجل أول حالة لداء المقوسات في الجهاز العصبي المركزي في مرضي الآيدز بينما في عام 1984 تم التعرف على ان الطفيلي هو مرض انتهازي في فئة مرضى الآيدز نفسهم .(Tenter *et al.*,2000)

2-2: تصنيف الطفيلي Parasite classification

يعود طفيلي المقوسات الكوندية وحسب تصنيف Levine (1977) إلى شعبة معقدات القمة وهي مجموعة قديمة تضم 5000 نوعا من الطفيليات الابتدائية صنف الكرويات في عائلة Eimeridae وضع الطفيلي من قبل مصنفين آخرين بعد اكتشاف دورة حياة في عوائل Toxoplasmatidae و Sarcocystidae و جاء التصنيف النهائي حسب ما ذكره Hill & Dubey (2014) إلى:

Kingdon: Protista

Phylum: Apicomplexa

Class: Sporozoasida

Subclass: Coccidiasina

Order: Eucoccidiida

Sub order: Eimerorina

Family :Toxoplasmatidae

Genus: *Toxoplasma*

Species: *T.gondii*

3-2 الشكل والتركيب Morphology and Structure

توجد ثلاثة أطوار معدية لطيفي المقوسات الكوندية عند تواجده في الأعضاء والأنسجة أثناء دورة حياته (Hill & Dubey, 2018) وهذه الأشكال هي:

1- الطور السريع التكاثر Tachyzoite

2- الطور البطيء التكاثر (الاكياس النسيجية) Bradyzoite (Tissue cysts)

3- الطور كيس البيض Oocyst

3-1: الطور سريع التكاثر Tachyzoite

يشتق اسم الطيفي *Toxoplasma* شكل القوس من الشكل الهلالي Crescent لهذا الطور، طور نشط سريع الانقسام والتضاعف يوجد عادة خلال الأصابة الحادة (Ortega & Sterling, 2018). ويطلق عليه عادة بالطور النشط المتغذى Trophozoite (Ferguson & Dubremetz, 2014). يمتاز بكونه هلالي الشكل ذو نهاية امامية نقطية مدببة ونهاية خلفية عميماء مدورة ، يبلغ حجمه تقريباً $2 \mu\text{m}$ والنواة تقع في الوسط تقريباً كما في الشكل (2-1). يكون هذا الطور محاط بجلد Pellicle ويمتلك عضيات شعبة ذوات المعقد القيمي التي هي الأنبيبات الدقيقة Microtubules Subpellicular والحلقة Rhoptries Polar ring والمخروط Conid, 5-12 من عضيات ذات شكل الكأس تدعى Rhoptries والقليل من Micronemes والعديد من الحبيبات الكثيفة Denes granules والقليل من حبيبات متعدد السكر Polysaccharide granules ، هذه العضيات تساهم في عملية غزو واحتراق خلية المضيف كالرايوبوسومات والمایتوکوندريا وشبكة الاندوبلازمية الخشنة والملساء وجهاز كوليبي ، البلاستيدية القيمية كالاپیکوپلاست Apicoplast يدخل ضمن تركيب الجليد بروتينات محركة تدعى A-Myosin & F-actin التي تمنع Gliding الطيفي الحرقة الانزلاقية Gliding التي تساهم في اختراق خلية المضيف & Walochnik (Duchene, 2016).

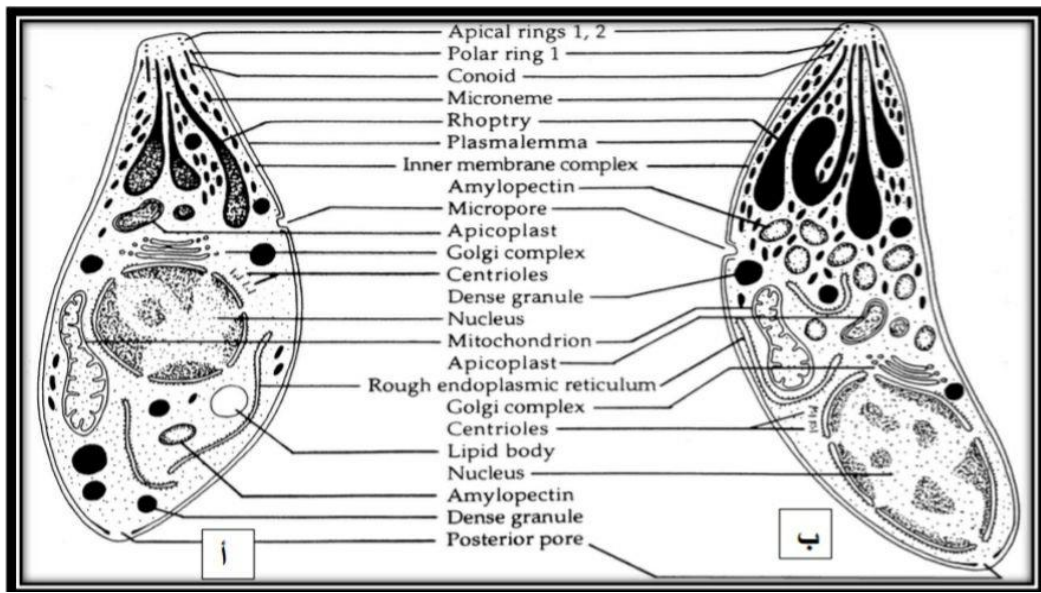
يصيب الطور سريع التكاثر جميع انواع خلايا اللبائن ذات الأنبوبية عدا كريات الدم الحمر ، إذ تدخل خلية المضيف بعملية الاختراق الفعال Active penetration اذ يقوم بعملية التمدد والتقلص لأجل أن يعبر على خلية المضيف، وبعد أن يدخل خلية المضيف يصبح مدور في الشكل ومحاط بفجوة طفيلي Parasitophorous vacuole، التي توفر حماية للطيفي ضد الآليات الدفاعية للمضيف، يعاني الطيفي داخل الفجوة عملية التضاعف أو الانقسام اللاجنسي بعملية تدعى التبرعم الداخلي أو الانقسام المتكرر Endodyogeny or Internal budding ضمن الخلية الام للطيفي Mother cell لتكون

خلتين بنويتين التي غالباً ما تكون بشكل وريديات أو وردة تحيط بنواة خلية المضيف ، ويستمر الطفيلي بالانقسام حتى تمتلك خلية المضيف وتظهر بشكل كيس كاندي Pseudocyst ، فيما بعد تنفجر خلية المضيف وتحرر العديد من الأطوار سريعة التكاثر التي تصيب خلايا مجاورة أخرى (Ortega & Sastry & Bhat, 2014) .Sterling, 2018)

أن هذا الطور معرض ومستعد للتحطيم والتحلل من قبل الأنزيمات المحللة خلال 10 دقائق وغير مقاوم للظروف البيئية القاسية وغير مقاوم للجفاف والتجميد والاذابة والعصارات المعوية لكن مقاوم للهضم بواسطة انزيمات Trpsin, Pepsin (Roberts *et al.*, 2013)

2-3-2: الطور بطيء التكاثر او الاكياس النسجية Bradyzoite or tissue cysts

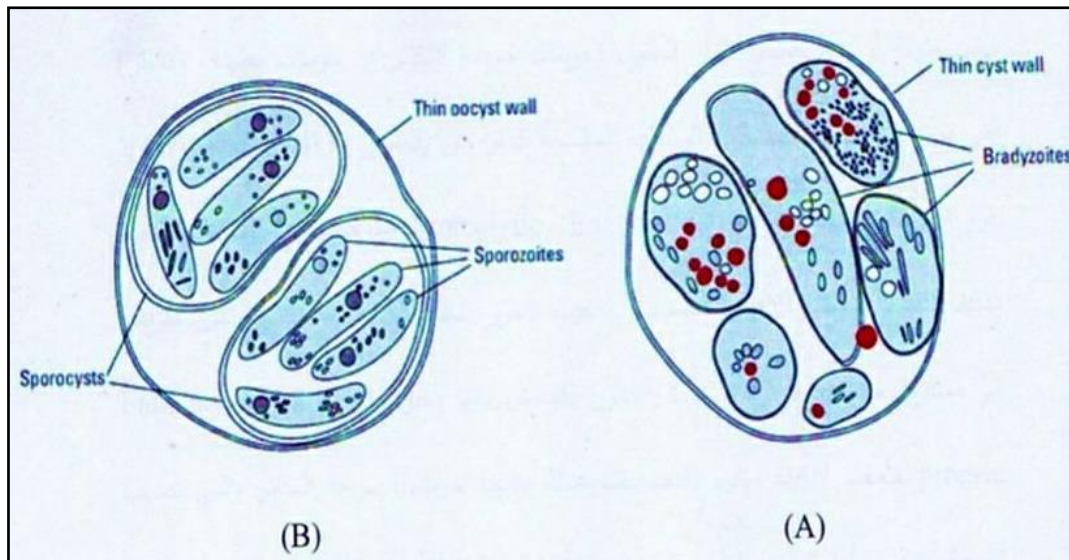
يبدأ الطفيلي بعد انقسامات قليلة ضمن خلية المضيف خلال المرحلة المزمنة من الإصابة بتكوين أكياس بيضوية الى مدوره تبقى داخل خلوية تحتوي المئات من الأطوار الناشطة الهلالية الشكل البطيئة التضاعف تدعى Bradyzoite المحاطة ضمن جدار الكيس. يتراوح حجم هذه الأكياس $2-5\text{ }\mu\text{m}$ الأكياس الفتية Younger تحوي بضعة من الأطوار البطيئة. يكون جدار الكيس مطاطي سمكه نحيف أقل من $0.5\text{ }\mu\text{m}$ (Sastry & Bhat, 2014) طور يبلغ حجم الأطوار البطيئة تقريباً $1.5-7\text{ }\mu\text{m}$ ويختلف تركيباً بشكل بسيط عن طور السريع التكاثر ، إذ تقع النواة باتجاه الخلف أكثر ويكون الشكل اسطواني أكثر More slender تحتوي على العديد من Micronemes و Rhoptries ذات الشكل الصد والعديد من حبيبات كثيفة وحبوب متعدد السكر إذ تتضاعف ببطء كما في الشكل (1-2) وتكون أكثر مقاومة للعصارة المعدية وأقل عرضة للتحطم بواسطة الأنزيمات المحللة من الطور السريع أن الأكياس النسجية تتكون في الأنسجة الداخلية على سبيل المثال الرئة والكبد والكلى لكنها أكثر ميولاً وانتشاراً في الأنسجة العصبية والعضلية التي تشمل الدماغ والعيون والعضلات القلبية والهيكلية أن أكياس الأنسجة السليمة ربما لا تسبب أي أذى او ضرر وممكن أن تبقى حية طيلة مدة حياة المضيف Ortega & Sterling, 2018) أن تحول الطور البطيء الى الطور السريع طيلة مدة حياة المضيف ممكن أن يحفز بواسطة عدة عوامل على سبيل المثال تعرض الخلايا المصابة إلى جهد يشمل التغير في الاس الهيدروجيني أو درجة الحرارة أو التعرض إلى الانترفيرون - كما و أوكسيد النتريك NO وبروتينات الصدمة الحرارية (Sastry & Bhat, 2014) Heat shock proteins .



شكل (2-1): (أ) الطور سريع التكاثر Bradyzoite (ب) الطور بطيء التكاثر Tachyzoites .(Dubey,2010)

3-3-2: طور كيس البيض Oocyst

تنتج كل المكورات مرحلة مقاومة بيئياً خلال دورة حياتها تدعى كيس البيض Oocyst. هذا الطور يتكون فقط في أفراد العائلة السنورية Felidae. تطلق القطط أكياس البيض بعد التهام أي من الأطوار المعدية الثلاث التي هي الطور سريع التكاثر، الطور بطيء التكاثر وطور كيس البيض. المدة الفاصلة من الأصابة الأولية للقطط لحين وقت إطلاق أكياس البيض تتفاوت تبعاً إلى الطور المعدني لها، إذ تترواح بين 3-10 أيام بعد تناول أكياس الأنسجة و18 يوماً أو أكثر بعد الإصابة بالطور سريع التكاثر أو طور كيس البيض. أقل من 50% من القطط تطلق أكياس البيض بعد التهام الطور سريع التكاثر وطور كيس البيض، بينما تقريباً كل القطط تطلق أكياس البيض بعد التهام أكياس الأنسجة (Dubey,2002). تكون أكياس البيض المطروحة مع البراز غير ناضجة (غير متبوعة) غير معدية وذات شكل شبه كروي إلى كروي وذات قطر $10\text{--}12\text{ }\mu\text{m}$ كما في الشكل (2-2) نضج هذه الأطوار يحدث في البيئة الخارجية ضمن مدة من 5-15 أيام اعتماداً على التهوية ودرجة الحرارة. تحتوي أكياس البيض المتبوعة على أكياس بوغية Sporozoite أثنتين اهليجية الشكل وكل كيس بوغي يحتوي على أربع حيوانات بوغية Sporozoite حيث يبلغ حجمها $12\text{--}6 \times 2\text{ }\mu\text{m}$ (Hill & Dubey, 2018).



شكل (2-2): (A) الكيس النسيجي Tissue cyst و(B) كيس البيض Oocyst (Hill & Dubey,2014)

4-2: دورة الحياة Life cycle

يُكمل الطفيلي دورة حياته في مضيفين مختلفين هما المضيف النهائي وهو القطط وبقية أفراد العائلة السنiorية، وتحدث فيها الدورة الجنسية واللاجنسية والمضيف الوسطي وهو الإنسان والثدييات الأخرى، إذ تحدث الدورة اللاجنسية فقط (Marquardt *et al.*,2000)

وبذلك يمر الطفيلي بنوعين من دورات الحياة هما:

1- الدورة داخل المعاوية (دورة القطط) Enteric Cycle (feline cycle)

2- الدورة الخارج معاوية (دورة الإنسان) Exoenteric Cycle (Human Cycle)

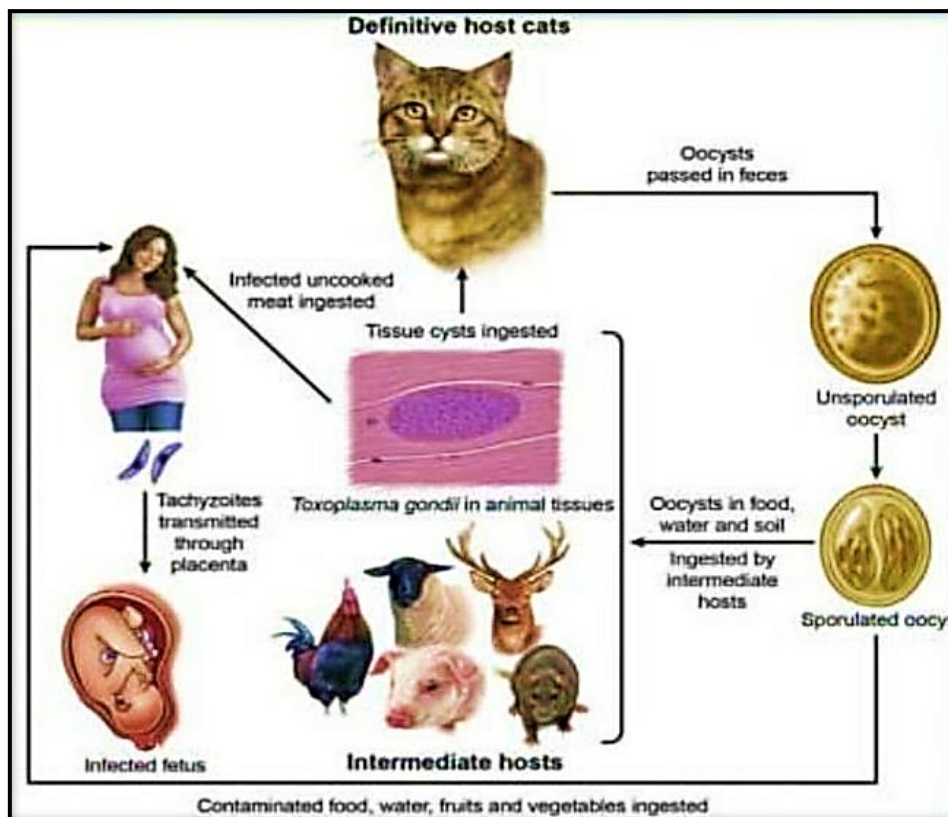
4-2-1: الدورة داخل معوية (دورة القطط) Enteric Cycle (feline cycle)

تحدث الدورة المعاوية في القطط وغيرها من المضيفين النهائيين ويحدث كل من التكاثر الجنسي (المشيجي) Gametogony والتكاثر اللاجنسى Schizogony داخل الخلايا الظهارية المخاطية للأمعاء الدقيقة للقطط (Jones *et al.*,2001)، تكتسب القطط الإصابة عن طريق تناول أكياس الأنسجة في لحوم الفئران والحيوانات الأخرى أو عن طريق تناول كيس البيض الذي تمر في برازها ، يتم إطلاق الطور بطيء التكاثر في الأمعاء الدقيقة وتبدأ عملية التكاثر اللاجنسى (الانفلاقي) مما يؤدي إلى تكوين الميروزويت Merozoite (Jokelainen *et al.*, 2018). يدخل الطور بطيء التكاثر الأنسجة الخارجية مما يؤدي إلى تكوين أكياس الأنسجة في أعضاء أخرى من الجسم، تتحول بعض من الميروزويتات إلى أمشاج ذكرية وأنثوية وتبدأ الدورة الجنسية (Attias *et al.*, 2020) مع تكوين الأمشاج الأنثوية Macrogamet والأمشاج الذكرية Microgamet، ثم يحدث الاصابع مما

يؤدي إلى تكوين أكياس البيض تمر عبر مراحل النضج في التربة بعد طرحها من قبل المضيف مع البراز، يحتوي الكيس الناضج المتبوغ Oocysts sporulated الذي يحتوي على اثنين من أكياس بوغية Sporocysts وكل كيس بوغي يحتوي على 4 حيوانات بوغية وتحتوي ثمانية حيوانات سبورية هو الطور المعدى الذي يمكن أن تلتهمه الجرذان أو الثدييات الأخرى لتكرار الدورة (Ghosh, 2018) . كما في الشكل (3-2)

2-4-2: الدورة خارج المعاوية (دورة الإنسان) Exoenteric (Cycle Human)

تحدث الدورة خارج المعاوية في الإنسان، الفئران، الأغنام، الماشية، الخنازير والطيور التي تعد المضائق الوسطية. يصاب الإنسان بعد تناول اللحوم المصابة النيئة أو غير المطبوخة جيداً، لا سيما لحم الضأن ولحم الخنزير الحاوية على أكياس الأنسجة، يتم ابتلاع أكياس البيض الناضجة من خلال الطعام أو الماء أو الأصابع الملوثة ببراز القطة بشكل مباشر أو غير مباشر أو اصابة داخل الرحم من الأم إلى الجنين (داء المقوسات الخلقي)، نقل الدم أو زرع الاعضاء من المتبوعين المصابين (2022 Delgado et al.,). تتحرر الحيوانات البوغية من أكياس البيض والأطوار البطيئة من أكياس الأنسجة في الغشاء المخاطي للأمعاء وتتكاثر لا جنسياً وتتحول إلى الطور سريع التكاثر التي تستمر في التكاثر والانتشار عن طريق الجهاز المنفاوي والدم (Hehl et al., 2015) تنتشر بعض الأطوار السريعة إلى أعضاء بعيدة خارج الأمعاء مثل الدماغ والعين والكبد والطحال والرئة والعضلات الهيكيلية وتكون أكياس الأنسجة. تعرف الأشكال التي تتكون بيضاء داخل أكياس الأنسجة باسم الأطوار البطيئة، والتي تضل قابلة للحياة لسنوات (Innes, 2010). قد يتم إعادة تنشيط الأطوار البطيئة الخامدة داخل الكيس عند انخفاض مستوى المناعة للمضيف مما يؤدي إلى إعادة تنشيط الإصابة الكامنة في المضيف.



شكل (2-3): دورة حياة طفيلي المقوسات الكوندية (Dubey, 2022)

5-2: العلاقة بين طفيلي المقوسات الكوندية وخلية المضيف

Relationship between *Toxoplasma gondii* and host cell

يتميز طفيلي المقوسات الكوندية بوجود مجمع قمي Apicomplexan يتكون من مخروط مغلق يسمى Conoid يعمل هذا المجمع كمركز تنظيم إذ يحتوي مجموعة عضيات أفرازية قمية بما في ذلك عضيات ذات شكل الكايس تدعى Rhopties، حبيبات دقيقة Micronemes والحببيات الكثيفة Densegranules (Okomoto & Keeling, 2014).

يشارك المجمع القمي في عملية غزو الطفيلي لخلايا المضيف، إذ يفتقر المجمع القمي إلى الاهداب لذا يتحرك بواسطة عملية انزلاق ثابتة تتم بإفراز مركب الادينوسين ثلاثي الفوسفات ATP وعناصر من هيكل الخلية التي تساعده بتوجيهه نهاية قمة الطفيلي للالتصاق على سطح الخلية المضيفة ويعتمد نشاط حركة الانزلاق على بروتينين الاكتينين - الميوسين ليلعب دوراً في عملية غزو الطفيلي Frenal *et al.*, (2017).

تكون عملية اختراف الطفيلي لخلايا مضيفه عملية معقدة تتكون من خطوات متعددة والتي تبدأ من التفاعل الجزيئي بين الطفيلي وخلية المضيف ثم تليها إفراز متسلسل من قبل عضيات الإفراز القمي لبروتينات (ROP) وبروتينات (MIC) التي يتم إفرازه في بداية الإصابة

على عكس بروتين (Guerin *et al.*, Densgranules(GRA) ، الذي يفرز بعد حدوث الإصابة (Liu *et al* 2015; 2017). بعد عملية الغزو يبدأ الطفيلي بإنشاء فجوة الطفيلي من أجل أن يحمي نفسه من خلايا المضييف إذ توفر الفجوة بيئة ملائمة وضرورية من أجل استقرار الطفيلي وتكراره ولتجنب مناعة المضييف أذ يكون غشاء الفجوة (Primary Vacuoles membrane (PVM الذي يكون معقد وسميك لأن الطفيلي يمتص الكوليسترون والدهون من المضييف من أجل تعديل الاستجابة المناعية ولتغير التعبير الجيني للمضييف (Nolan *et al.*,2014;Dou *et al.*,2017).

بعد أحاطة الطفيلي بالفجوة يبدأ الطور السريع بإيقاف خلية مضييفه عند مرحلة الانقسام الميتوzioni من دورة الخلية المضييفية من أجل أن يتكرر الطفيلي بواسطة التبرعم الداخلي وبعد عدة مرات من تكرار التكاثر ينشط الطفيلي حركته ويخرج من الخلية المضييفية عن طريق تمزيق غشاء الفجوة (Blader *et al.*,2015).

تمكن بروتينات GRA17 و GRA23 الطفيلي من الحصول على مزيد من العناصر الغذائية نتيجة تغير نفاذية غشاء فجوة الطفيلي (Gold *et al* .,2015). إن الاستجابة المناعية ضد الطفيلي تكون ذات رد فعل قد يقتل الطفيلي لكنه يمكن أن تكون ضارة وحتى قاتلة للمضييف (Mennechet *et al* ., 2004) إذ أن غزو خلايا المضييف من قبل الطفيلي تؤدي إلى استجابة مناعية قوية تقضي على معظم الطفيليات إذ تعتمد الاستجابة المناعية بشدة على سلالات الطفيلي وعلى السلالة الوراثية والوضع المناعي للمضييف داخل الخلايا خلال المرحلة الحادة من الإصابة ولكن يمكن لبعض أطوار الطفيلي السريعة التهرب من مناعة المضييف ثم تحول إلى الأطوار البطيئة ، ومن أجل تحقيق توازن دقيق بين ضرر الطفيلي والاستجابة المناعية للمضييف يعمل الطفيلي تعديلات في التعبير وإفراز الحركيات الخلوية Cytokines في الخلايا المناعية (Xiao & Yotken 2015: Munoz *et al* .,2011). تعمل الخلايا المتفية الثانية نوع T- helper (Th1- على إنتاج الحركيات الخلوية مثل انترلوكين IL-2 و IL-12 و Interferon-Y التي تحفز الخلايا القاتلة الطبيعية (Natural killer cells (NKC على قتل الطفيلي بالآلية السمية الخلوية Cytotoxicity إذ يعمل انترفيرون- كاما (IFN-Y) على إضافة الأوكسجين الفعال والنتروجين الذي يساعد على السيطرة على الطفيلي خلال المرحلة الأولى من الإصابة ، ويساعد- IFN- Y الخلايا البائية B-cell إنتاج الكلوبويولينات المناعية نوع IgG و IgM و Sturge & yavovinsky, IgA و IgM و IgA و IgE إذ تلعب هذه الأجسام المضادة المنتجة دوراً في القضاء على الطفيلي أثناء تواجده خارج الخلايا (الطور السريع) قبل دخوله إلى الخلية وهي تعمل على الحد من تضاعف الطفيلي بواسطة تحلل الطفيلي ، وكذلك تزيد من فعالية عملية البلعمة من قبل الخلايا البلعمية ، ولكن هذه الفعالية غير مجدية إذا

كان الطفيلي الحي داخل الخلايا ومع ذلك وعلى الرغم من دورها المحدود فإن الأجسام المضادة تلعب دوراً في تشخيص الإصابة بداء المقوسات في الإنسان (B&O *et al.*, 2018).

6-2: الأنماط الوراثية للطفيلي

ترتبط أمراضية طفيلي داء المقوسات ارتباطاً وثيقاً بعامل الضراوة للسلالة الطفيلية، وبمقاومة الأنواع المضيفة للإصابة، وتختلف التراكيب الوراثية بإختلاف عامل الضراوة، وقد تختلف السلالات في عدم القدرة على عبور الحاجز المشيمية لتسبب أمراضاً خلقية في الأجنة وكذلك قدرتها على إصابة الدماغ في الأشخاص المصابين بالإيدز AIDS (Saeij *et al.*, 2005).

عامل الضراوة للطفيلي لا يحدد بقدرة الطفيلي على إصابة المضيف، وإنما بناءً على تطور المرض ، أذ يمكن أن يعتمد على المنتجات الجينية التي يتم تضمينها ، وتأثير على شدة الإصابة أكثر من بقاء الطفيلي وأنقاله (Pernas & Boothroyd., 2010) ، تختلف الصفات الوراثية والتركيب الوراثي للطفيلي عالمياً من موقع إلى آخر ، وهناك ثلاثة سلالات معروفة للطفيلي منتشرة في شمال أمريكا وأوروبا وهي I III, III, I (Sibley *et al.*, 2009) يوجد تباين جغرافي في توزيع سلالات طفيلي داء المقوسات الخلقي، وبحسب البيانات المسجلة في بلدان معينة مثل البرازيل وفرنسا وكولومبيا وغينيا ، كانت السلالة السائدة هي السلالة الأولى 1 (Ferreira *et al.*, 2006; Ajzenbeg *et al.*, 2004) . أما في شمال أمريكا فكانت السلالة الثانية II هي المهيمنة وتم عزلها من الحيوانات المحلية (Dubey *et al*., 2011) . ووصف السلالة الثانية II بأنها الأكثر انتشاراً من بين السلالات التي تصيب الإنسان، وتكون عامل ضراوة للأجنة غير المكتملة، والأشخاص ضعيفي المناعة، وهي مسؤولة عن داء المقوسات بدون أعراض في الأجنة المكتملة (Dared *et al.*, 2014).

وتعد السلالة الثانية II في أوروبا هي السائدة بأغلبية ساحقة في كل من الحيوانات البرية والمحليّة ، تتبعها السلالة الثالثة III ومن النادر ظهور السلالة الأولى I في أوروبا وشمال أمريكا (Dared et al (Darde 2014;Ajzenberg,2011) . أما في آسيا فقد أشار Darde وجماعته (2014) إلى قلة التنوع الجيني لطفيلي المقوسات الكوندية والتي أن الطراز الجيني من النوع الأول هو السائد وأشار أيضاً إلى أن عدد السلالات النسلية المهيمنة في إفريقيا تتضمن السلالة الثانية II والثالثة III ، وأن السلالات غير المصنفة للطفيلي عادة ما تكون أكثر ضراوة من بقية السلالات المعروفة .

أشار بعض الباحثين إلى وجود تباين في سلالات الطفيلي بين أوروبا وشمال أمريكا، وهناك سلالات كثيرة متعددة في جنوب أمريكا ولا سيما منطقة الأمازون، فقد افترض أن التبادلات الجينية المتكررة لهذا الطفيلي ولدت مجموعة متعددة وواسعة من الطرز الجينية المختلفة ، أذ تم عزل النوع الثاني II في

تشيلي والبرازيل، وكان مشابهاً لما وجد في جنوب أمريكا (Pena *et al.*, 2008; 2004). في حين تبين أن عزلات الطفيلي من البرازيل كانت تختلف جينياً عن تلك الموجودة في أمريكا الشمالية وأوروبا (Ajezenberg *et al*., Ferreira *et al.*, 2006).

7-2: الوبائية Epidemiology

تعد الاصابات الطفيليية من الأمراض المنتشرة بين جميع الاصابات البشرية المزمنة في جميع أنحاء العالم أذ تصيب ما يقدر بنحو 3.5 مليار شخص وتسبب اعتلاً سريرياً في حوالي 450 مليون شخص، تعد القطب العامل الاساسي في وبائية طفيلي المقوسات الكوندية لأنها المضييف النهائي الذي يستطيع ان يطرح الى البيئة اكياس البيض المقاومة لمختلف الظروف البيئية (Dubey, 2009). ان العوامل البيئية مثل المكون الطبيعي للأرض والتغيرات المناخية مع دورة الحياة المعقّدة تلعب دوراً مهماً في انتقال الطفيلي بين المضائق المختلفة وتعتمد على كل من تركيب مجتمعات الكائنات الحية والتفاعل ما بين المضييف النهائي والمضييف الوسطي (Giraudoux *et al.*, 2003), أظهرت نتائج الدراسة التي أجراها AL-Toban *et al.* (2019) في العراق لتحديد نسبة الإصابة بطفيلي المقوسات الكوندية في مرضى السرطان باستعمال تقنية Real-time PCR كانت 8.3% للمرضى المصابين بالسرطان مقارنة بمجموعة السيطرة 0%, أجرى Khabaz *et al.* (2011) في الأردن دراسة للتحري عن طفيلي المقوسات الكوندية في المثبطين مناعياً وباستعمال تقنية PCR بينت نتائجها موجبة بنسبة 7.5%, وفي دراسة أخرى أجريت في ليبيا لمعرفة مقدار انتشار طفيلي المقوسات الكوندية في مرضى سرطان الغدد اللمفية واللوكيمية أظهرت نتائجها موجبة بنسبة 33.3% (Gashout *et al.*, 2016).

أجريت دراسة في ايران عام 2013 للكشف عن الطفيلي في مرضى السرطان وباستعمال الجين B1 كانت نتائجها موجبة بنسبة 68% مقارنة مع مجموعة السيطرة 2% (Fallahi *et al.*, 2014). وكذلك بينت دراسات أخرى في ايران لتحديد انتشار طفيلي المقوسات الكوندية في مرضى السرطان بواسطة جين B1 عام 2017 باستعمال تقنية ال PCR أظهرت نتائجها موجبة بنسبة 88% (Saki *et al.*, 2017).

أجريت دراسة أخرى في ايران لمرضى سرطان الثدي للتحري عن طفيلي المقوسات الكوندية باستعمال تقنية PCR والجين B1 كانت نتائجها موجبة بنسبة 10.3% (Kalantari *et al.*, 2015). بينت دراسة لتحديد انتشار طفيلي المقوسات الكوندية في ايران كانت نتائج الدراسة موجبة بنسبة 9.78% لمرضى السرطان مقارنة بمجموعة السيطرة 5.5% (Hanifehpour *et al.*, 2019). أشارت دراسة

للكشف عن طفيلي المقوسات الكوندية في مرضى السرطان المثبطين مناعياً في الصين باستعمال تقنية الـ PCR كانت نتائجها موجبة بنسبة 8.38% (Wang *et al.*, 2013).

8-2: الإمراضية والأعراض السريرية Pathogenesis & Clinical Features

تختلف الأعراض السريرية لداء المقوسات تبعاً لعامل الضراوة للسلالة وحجم الإصابة في الطفيلي والتركيبة الوراثية والحالة المناعية للمضييف (Montoya & Liesenfeld, 2004). وعادة ما تكون أعراض المرض غير واضحة عند الأفراد ذوي المناعة العالية والمتكاملة (Markus, 2003; Tenter, 2000) وبشكل عام فإن الجهاز المناعي يجعل الطفيلي تحت السيطرة، ومعظم الأفراد الأصحاء لا يعانون من أعراض، وقد تكون لدى الفرد أعراضًا خفيفة، مثل ألم عضلي وحمى (2004, Montoya & Liesenfeld Sobanski). وبحسب (2013) في فرنسا، ظهرت أعراض المرض الشديد لدى الأفراد على شكل تعرق ليلي والتهاب الشبكية الشديد فقدان الوزن والتسمم الرئوي وكان ذلك مرتبطاً بإصابة أولية بسلالة غير نمطية. وعلى العموم فإن من الأعراض الشائعة للمرض اعتلال العقد اللمفاوية التي قد تكون مصحوبة بصداع، وحمى، وإعياء، وألم في العضلات أو البطن، وكذلك التهاب عضلة القلب والكبد فضلاً عن التخثر الرئوي. وهناك حالات للإصابة ذات أعراض سريرية خطيرة، مثل داء المقوسات العيني، حيث تنشط الإصابة الكامنة في الأشخاص غير المؤهلين مناعياً (Tenter *et al.*, 2000; Markus, 2003).

تكون الأفة المرضية الأولية هي نخر ناتج عن موت الخلايا المتطرفة. مع علامات الالتهاب الحاد ، مع تقدم المرض ، يحدث تسرب الخلايا اللمفاوية ولكن لا تتشكل الأورام الحبيبية الحقيقية ، إذا كان المضييف مسيطراً على عملية تضاعف الأطوار السريعة بشكل فعال ، تتم عملية استعادة الأنسجة لوضعها الطبيعي دون حدوث ندب ونخر ، وتبقى الأكياس التي تحتوي على الأطوار البطيئة طولية العمر بدون علامات سريرية واضحة (Gillespie & Pearson, 2001)، كما أشارت أحد الدراسات امكانية طفيلي المقوسات الكوندية حدوث تنسج في الجهاز التناسلي والتصاقات غير طبيعية داخل الرحم مما يسبب العقم عند النساء (Radhi *et al.*, 2022).

2-9: أنواع داء المقوسات Types of Toxoplasmosis

2-9-1: داء المقوسات الخلقي Congenital Toxoplasmosis

يحدث داء المقوسات الخلقي عندما ينتقل الطفيلي من الأم إلى الجنين عبر المشيمة إذ عندما تصيب الأم بداء المقوسات الأولية، سواء كانت مع أعراض سريرية أم بدون أعراض Asymptomatic، أثناء الحمل (Fontes *et al.*., 2019). يزداد خطر الإصابة الجنينية مع تقدم الحمل. 25% عندما تكتسب الأم

الإصابة الأولية في الثلث الأول من الحمل إلى 65% في الثلث الثالث من الحمل، على العكس من ذلك تكون شدة الضرر أعلى عندما تنتقل الإصابة في بداية الحمل ، الأمهات المصابات بالمرحلة المزمنة أو الكامنة المكتسبة في وقت مبكر لا تصاب أجيتهن عادة ولكن في بعض النساء المصابات بالمرحلة الكامنة أو المزمنة يمكن إعادة تنشيط كيس الأنسجة أثناء الحمل وتحرير الأطوار السريعة ، والتي قد تصيب الجنين في الرحم معظم الأطفال المصابين لا تظهر عليهم أعراض عند الولادة وقد تبقى مدى الحياة، تظهر لدى البعض 0.3-1% مظاهر سريرية في غضون أسبوعين وشهور وحتى سنوات بعد الولادة ، تشمل مظاهر داء المقوسات الخلقى: التهاب المشيمية والشبكيه والتكتلات الدماغية Deafness و convulsions cerebral calcifications و التشنجات Strabismus والحول Microcephaly و العمى Blindness والتخلُّف العقلي Mental retardation و صغر الرأس Hydrocephalus ، يولد عدد قليل من الأطفال بظواهر داء المقوسات الحاد والتي قد تشمل الحمى Fever واليرقان Jaundice ، والطفح الجلدي المنتشر Petechial rashes و صغر العين Microphthalmia وإعتام عدسة العين Cataract واعتلال العقد اللمفية Lymphadenopathy وتضخم الكبد والطحال Hepatosplenomegaly والتهاب عضلة القلب Myocarditis .Ghosh(2018)

2-9-2: داء المقوسات العيني Ocular Toxoplasmosis

يصيب داء المقوسات العيني الحجر الخافيه للعين وتثلث حالات الإصابة تكون قبل الولادة ويمكن أن تحدث كذلك بعد الولادة (Cardozo et al., 2018) فضلا عن ذلك فإن خطورة الإصابة بداء المقوسات العيني يعتمد على شدة الالتهاب وطول فترته، إن أكثر الأعراض شيوعا بداء المقوسات العيني التهاب الشبكي المشيمي الحاد وعادة تكون الإصابة من دون اعراض وفي حالات قليلة تسبب ضعف البصر أو المياه الزرقاء مما يؤدي إلى العمى في بعض الحالات (Naranjo Valladares et al., 2020). يحدث تأثير الإصابة بصورة مباشرة أو بعد فترة من حدوث الإصابة وقد تؤدي الإصابة إلى كل من التهاب العين، البؤبؤ، والقرحية الأمامية (Murata et al ., 2020).

2-9-2: داء المقوسات في المرضى ذوي النقص المناعي

Toxoplasmosis in Immunocompromised patients

يعد داء المقوسات هو الأخطر والأكثر فتكاً في المرضى الذين يعانون من نقص المناعة ، ولا سيما في مرضى الإيدز AIDS ، سواء كان ذلك بسبب إعادة تنشيط الإصابة الكامنة أو اكتساب الإصابة

الجديدة تكون إصابة الدماغ أكثر شيوعاً عند هواء المرضى ، وتشمل المظاهر السريرية التهاب الدماغ والحالة العقلية المتغيرة Altered mental state Encephalitis والنوبات Seizures . علامات المخ Cerebellar signs التسنج السحائي Meningismus والمظاهر العصبية والنفسية neuropsychiatric manifestations وإصابة الجهاز العصبي المركزي central nervous system manifestations والأعضاء الأخرى المصابة هي الرئتين Lungs و البنكرياس Pancreas ، والجهاز الهضمي Gastrointestinal tract والعينين Eyes والقلب Heart والكبد liver Ghosh(2018)

4-9-2: داء المقوسات المكتسب Acquired Toxoplasmosis

تحكم كل من الاستجابات المناعية الخلطية والخلوية في الإصابة عند الأشخاص ذوي المناعة غالباً ما تكون الإصابة المكتسبة بعد الولادة بدون أعراض ، أكثر مظاهر داء المقوسات الحاد شيوعاً هو اعتلال العقد اللمفية Lymphadenopathy ، تكون الغدد الليمفاوية العنقية هي الأكثر إصابة ، غالباً ما توجد حمى وصداع وألم عضلي وتضخم في الطحال وقد يشبه المرض الأنفلونزا الخفيفة إذ تشفى ذاتياً وعادة ما تنزول الإصابة الحادة في غضون عدة أسابيع على الرغم من أن تضخم العقد اللمفية الذي يستمر لبضعة أشهر ، في بعض الحالات قد يكون هناك طفح يشبه طفح جلدي مصحوباً بالتهاب رئوي والتهاب عضلة القلب والتهاب السحايا والدماغ والذي قد يكون قاتلاً Ghosh, 2018 ; Sastry & Bhat (2014).

10-2: تشخيص داء المقوسات Diagnosis Toxoplasmosis

يتم التشخيص عن طريق عدة طرائق حيوية، مصلية، نسجية، أو بواسطة مزج بين هذه الطرائق. أن العلامات السريرية لداء المقوسات غير نوعية ولا يمكن أن تعتمد للتشخيص النهائي للطفيلي Dubey,2022. فضلاً عن امكانية عزل الطفيلي من المرضى بواسطة حقن الحيوانات المختبرية والمزارع النسجية Pardini et al ., 2014). الأفرادات، المواد الإبرازية، السوائل الجسمية والأنسجة التي تأخذ بواسطة الخزعة Biopsy، على سبيل المثال العقد اللمفاوية أو الأنسجة العضلية ممكناً تعتمد كمحاولات لعزل الطفيلي أن سائل النخاع الشوكي من الأطفال المصابين خلقياً والذين يعانون التهاب الدماغ أو تضخم العقد اللمفاوية كما يعد مصدراً جيداً لعزل الطفيلي، ينجز التشخيص السريع بواسطة الفحص المجهرى لمسحات مصبوبة بصبغة كيمزا Giemsa stain (Dubey , 2022)

10-2: الاختبارات المصلية Serologic Tests

يمكن الكشف عن الأضداد النوعية للفيروس Specific antibodies عن طريق الاختبارات المصلية لأن العديد من الطرائق المصلية تستعمل للكشف عن الأضداد في الدم الكلوي والمصل والبلازما واللحم وعصارة اللحم، وتشمل هذه الاختبارات Sabin-feldman Dye test(DT) والتلازن الدموي غير المباشر Indirect hemagglutination(IHA) الكشف عن الأضداد الومضي غير المباشر Indirect antibody fluorescent و اختبار تلازن لاتكس Latex Enzyme linked agglutination واختبار الأدمسايس المناعي المرتبط بالأنزيم immunosorbent assay(ELISA) بالرغم من أن الأضداد ممكن أن تحفظ في درجة حرارة منخفضة (20-) أو أقل لكن ممكن أن تبقى قابلة للكشف لأسابيع أو أشهر في درجة حرارة الغرفة (Dubey,2022).

2- اختبار الصبغة Dye test

يعد واحداً من الاختبارات الأكثر تحديداً للتشخيص النهائي للفيروسي، إذ أن اختبار الصبغة أساساً يعد نوعاً محايضاً بوساطة تفاعل الأجسام المضادة مع المستضد في هذا الاختبار، يتم حضن الأطوار السريعة الحية مع أحد مكونات المتم Complement البشري ويتم إضافة مصل الاختبار عند 37 درجة مئوية لمدة ساعة واحدة وتضاف صبغة الميثيلين الزرقاء. لا تتأثر الأطوار السريعة بالأجسام المضادة بشكل موحد مع الميثيلين الأزرق. تحفز الأجسام المضادة النوعية تحل الأطوار السريعة بواسطة المتم ويتسرّب السيتوبلازم. ونتيجة لذلك الأطوار السريعة المتأثرة بالأجسام المضادة سوف لا تصطبغ بصبغة الأزرق الميثيلين وتنظر كأشباح وبذلك يسهل التعرف على الأطوار الميتة والحياة (Dubey , 2022).

3- اختبار التلازن الدموي غير المباشر (IHAT)

يستعمل هذا الاختبار لتشخيص داء المقوسات السريري لكن بشكل محدود، إذ يشمل استعمال مستضد ذاتي مأخوذ من الطور السريع على سطح مطلي بكريات الدم المتحسسة Red blood corpuscles (R.B.Cs) ويتم التلازن بوجود مصل مناعي يتوفّر هذا الاختبار بشكل عدد فحص kits تجاري. وكذلك ممكن ان يستعمل بشكل اساسي في الدراسات المسحية الوبائية، ممكن ان يعطي نتائج سلبية في كثير من الأحيان في داء المقوسات الخلقي. على الرغم من أن هذا الاختبار بسيط من حيث المبدأ لكن المتغيرات التقنية تجعل استعماله غير عملي (Dubey,2022).

4-10-2: اختبار التلازن المحور Modified Agglutination test (MAT)

ساعد تطوير اختبار التلازن المباشر البسيط بشكل كبير في التشخيص المبكر لداء المقوسات في الإنسان والحيوانات الأخرى. لا يحتاج هذا الاختبار إلى معدات خاصة أو متطلبات تم إعادة تسميته من قبل ثلاثة باحثين Desmonts و Dubey و Remington الذين أطلقوا عليه اسم MAT (Desmonts, 1980, & Remington). أن المعيار الحجمي Titer في الاختبار موازي للمعيار الحجمي في اختبار الصبغة على حد سواء في الأمصال البشرية وفي الحيوانية. تم التحقق من صحة حساسية وخصوصية هذا الاختبار بوساطة مقارنة البيانات المصليّة وعزل الطفيلي من الخنازير المصابة بشكل طبيعي وتجريبي. في اختبار التلازن المحور يتم معاملة الأمصال مع مادة 2-Mercaptoethanol لإزالة IgM غير النوعية أو مواد تشبه IgM يكشف هذا الاختبار فقط الأجسام المضادة IgG؛ لذلك قد يعطي نتائج سلبية كاذبة خلال المراحل المبكرة من الإصابة الحادة (Martins *et al*, 2021).

4-10-2: اختبار التألق المناعي غير المباشر IFAT

Indirect fluorescent Antibody test

يتم في اختبار التألق المناعي غير المباشر التقليدي حضن الأطوار السريعة المقتولة مع المصل ويتم الكشف عن الأجسام المضادة عن طريق إضافة IgG غير نوعي معلم مع صبغة ومضية أو الكلوبولين المناعي الكامل) ويتم الكشف عنه باستعمال المجهر الومضي Flurescent microscope تتوافق معايرة هذا الاختبار بشكل عام مع اختبار التلازن المحور. من سلبيات هذا الاختبار أنه يحتاج إلى مجهر ومضي ومواد اقتران نوعية ويحدث تفاعل تصالبي مع عامل الروماتيزم (Rheumatoid factor) RF والأجسام المضادة ضد النوية (Anti-nuclear antibodies ANA) تم تطوير هذا الاختبار للكشف عن الأجسام المضادة IgM في الأطفال المصابين بشكل خلقي لأن الأجسام المضادة IgM الأنفل لا تعبر المشيمة، في حين أن الأجسام المضادة IgG الأخف يمكن أن تعبر المشيمة البشرية. ومع ذلك، يكشف هذا الاختبار 75% فقط من الأسباب الخلقية بسبب نتائج إيجابية كاذبة نتيجة حدوث تفاعل تصالبي مع الأجسام المضادة ضد النوية وعدم وجود خصوصية الكواشف بسبب تلوث IgM المترافق مع IgG وتتأخر تخليق الأجسام المضادة في الطفل والتأثير الكابح - IgG المنقوله بشكل سلبي. يمكن التغلب على بعض هذه المشاكل عن طريق فصل IgM عن RF والأجسام المضادة ضد النوية عن طريق الترشيح (Dubey, 2022).

6-10-2: اختبار الامتصاص المناعي المرتبط بالإنزيم (ELISA)

Enzyme Linked Immunosorbent Assay

ويشمل نوعين من الاختبارات:

1- اختبار ELISA-IgG: يعد هذا الاختبار من أكثر الاختبارات دقة، والذي يستعمل للكشف عن الكلوبيلين المناعي المتخصص IgG، وفيه يستخدم الطيفي بأكمله أو مستضداته الذائبة (kasper, 1983)، أذ يتم لصق المستضد على السطح الداخلي للحفر المصنعة من البولستيرون والمرتبة بشكل صفائح لقياس المعيارية. وعند إضافة المصل المراد اختباره في الحفر تلتصل الأضداد الموجودة فيه على المستضد الملتصق على الحفر، فيتم الكشف عن الأضداد المرتبطة مع المستضد بإضافة الكلوبيلين المناعي المضاد والمعلم بالأنزيم، فيتم القياس الكمي للأنزيم بإضافة المادة الأساسية وتفاعلها معها ليعطي اللون الذي يمكن قياس شدته الذي يتاسب طردياً مع كمية الأضداد المرتبطة.

2- اختبار ELISA-IgM: تقنية جديدة للتحري عن الكلوبيلين المناعي المتخصص IgM التشخيص داء المقوسات، يتم لصق مضاد الكلوبيلين المناعي IgM على السطح الداخلي لحفر قياس المعيارية وإضافة مصل المريض الحاوي على أضداد الكلوبيلين IgM أذ يحصل الارتباط بين المستضد والضد، ويكشف عن IgM بإضافة مستضد الطيفي المعلم بالأنزيم الذي سوف يتلاصق بالضد. تضاف المادة الأساسية للأنزيم وتفاعل معه ليعطي اللون الذي يمكن قياس شدته الذي يتاسب طردياً مع كمية الأضداد الموجودة في المصل المراد تشخيصه (Mcleod & Remington, 2000) يمتاز هذا الاختبار بحساسيته وشخصه العالي للكشف عن الأضداد المتخصصة في المرضى المصابين بداء المقوسات وفي النساء المجهضات بسبب الإصابة بالطفيلي.

7-10-2: اللطخة المناعية Western Blotting

يتم استعمال اللطخة المناعية كاختبار ثابت نوعي للمصابين الذين ليس لديهم اختبار مصلي معتمد. باختصار، تخضع العينة لتمسخ البروتين، يليها الترحيل الكهربائي للهلام. يتم إنشاء اصطناعي أو مشتق من الحيوانات (يعرف باسم الجسم المضاد الأولى Primary body) الذي يتعرف على بروتين مستهدف محدد ويرتبط به. يُغسل غشاء الترحيل الكهربائي في محلول يحتوي على الجسم المضاد الأولى قبل غسل الجسم المضاد الزائد. يضاف جسم مضاد ثانوي يتعرف على الجسم المضاد الأولى ويرتبط به الجسم المضاد الثانوي يكشف عنه بواسطة عدة طرائق على سبيل المثال التصبيغ ، التلقيق المناعي، والنشاط الإشعاعي، مما يسمح بالكشف غير المباشر عن البروتين الهدف المحدد. يمكن استعمال هذا الاختبار

كعامل مساعد في الاختبارات المصلية التقليدية الموصوفة سابقاً. تم وصف إجراء متدرج للتلخّر المناعي immunoblotting سابقاً لتشخيص الإصابة ذات الصلة بداء المقوسات (Dubey *et al.*, 2017).

10-8: اختبار الألفة Avidity Tests

يعد هذا الاختبار من الاختبارات القياسية التي يتم فيها استبعاد الإصابة القديمة، وذلك لكون الكلوبيلين المناعي IgM ذي الألفة الواطئة للارتباط مع المستضدات يشير إلى الطور الحاد من الإصابة، فتكون عادة شراهة ضعيفة بعد 3 أشهر من الإصابة (Montoya *et al.*, 2002). بينما يكون الكلوبيلين المناعي IgG ذو الألفة العالية للارتباط مع المستضدات مشيراً إلى الطور المزمن من المرض. بهذه الطريقة من الممكن تمييز الطور الحاد عن المزمن باستعمال عينة مصلية واحدة الخمج .(Liesenfeld,2002)

10-9: اختبار الكشف السريع Rapid Tests

تم استعمال طرائق التشخيص السريع المختلفة لعينات الدم الكلي أو المصل للكشف عن الأجسام المضادة في الحيوانات والبشر (Song *et al.*, 2021) هذه الاختبارات سهلة وسريعة لا تتطلب معدات متخصصة ويمكن إجراؤها في العيادات الطبية والبيطرية (Lykins *et al*., 2018). يتم طلاء المستضدات أو الأجسام المضادة على شرائح غشاء النيتروسليلوز، والتي تترشح ببطء عن طريق الخاصية الشعرية، عند الوصول إلى منطقة الارتباط، عندئذ سيتشكل المعقد المناعي ويظهر بشكل تغير لوني (Dubey , 2022).

10-10: الكشف عن DNA الطفيلي

يمكن الكشف عن الحمض النووي DNA للطفيلي بواسطة تفاعل PCR. عبر العديد من المؤشرات المختلفة، ولكن يتم استعمال الجين *B1* بشكل متكرر لهذا الاختبار. ان سلبيات استعمال جين ذو نسخة واحدة كهدف يكون قليل الحساسية مقارنة مع جينات ذات تسلسلات متكررة، ومع ذلك يمكن تعويض ذلك إلى حد ما عن طريق تفاعل PCR المتداخل (Nasted-PCR) تعد علامة التكرار التي تبلغ 529 نقطة أساساً أكثر حساسية بنسبة 10-100 مرة من جين *B1*. تتمثل ميزة اختبار real-time PCR في التقدير الكمي للحمض النووي للطفيلي. بشكل عام، يعد هذا الاختبار حساس للغاية (يمكنه اكتشاف الحمض النووي لطور واحد Tachyzoite)، وهو محدد، ويمكن أن يوفر تشخيصاً سريعاً. وهو الأكثر ملاءمة للعينات السريرية. انتقال التلوث هو مصدر قلق كبير. ومع ذلك، فإن طرائق الكشف المذكورة

التقليدية و PCR-N و qPCR لسلسل الحمض النووي المتكرر) لا تقدم أي معلومات تتجاوز التسخیص الإيجابي (Su & Dubey, 2020).

11-10-2: تفاعل سلسلة البلمرة (PCR)

وصفت هذه التقنية لأول مرة عام 1985 بواسطة العالم Kary Mullis، وتم تطويرها في ما بعد بواسطة Burg وجماعته عام 1989 للكشف عن *T.gondii* ، واستهدف الجين *B1* ، وتعد بمثابة تقنية عصرية في علم الأحياء الجزيئي، ولها صدى كبير في البحث العلمي وفي التحري عن وجود الطفيلي في أنسجة الإنسان والحيوانات المصابة (Sousa et al., 2008). وهي واحدة من أكثر طرائق التسخیص حساسية، وذات تحديد سريع وعال إذ تعتمد على الحمض النووي المحدد لطفيلي المقوسات (Morelle et al., 2012). وبحسب الدراسات الأولية فقد تم التحقق من حساسية هذه التقنية أكثر من 100%، ثم ذكرت دراسات لاحقة أن الدقة تعتمد على الجين المستهدف ومدة الإصابة (Petersen, 2007).

يتم بواسطة تقنية PCR تضخيم مقطع أو جزء متناهي في الصغر من جين مفرد معين في سلسلة الحمض النووي DNA، مع استعمال كمية قليلة من البوادئ إلى مزيج معقد، وأعداد هائلة من سلسلات الجينات التي يمكن مشاهتها على هلام الأغاروز، وهي طريقة فعالة في المختبر ويمكن من خلالها الكشف عن وجود طفيلي واحد، إذ تميز بخصوصيتها العالية في التسخیص السريع والمبكر للإصابة مقارنة مع الاختبارات المصلية التي تستدعي حصول الاستجابة المناعية للفرد ; Sousa et al., 2008 (Behazad et al., 2004). وتم فيما بعد تطوير هذه التقنية لتحديد كمية الحمض النووي أثناء عملية التضخيم وهو ما يعرف باسم Real Time PCR (Macky et al., 2002). وأصبح بالإمكان تحديد تراكيز منخفضة من الحمض النووي DNA المستهدف وتحديد نسخ البداية من قالب الحمض النووي المحدد وقياس بيانات التضخيم في أثناء التشغيل بعد كل دورة باستعمال اصباب الفلورسنت المشعة (Kasper et al., 2009).

تمت مقارنة تفاعل سلسلة البلمرة التقليدي Conventional PCR مع تفاعل البلمرة الحقيقي Real Time PCR فإن تفاعل البلمرة الحقيقي يعد أكثر سرعة وحساسية ودقة، إذ يستهدف جين *B1* لتحديد عدوى داء المقوسات ما قبل الولادة، من السوائل المحيطة بالجنين، بحيث يسمح بالتسخیص في الوقت المناسب، وإعطاء العلاج الكافي ومكافحة الإصابة (Delhaes et al., 2013; Wallon et al., 2013). (2010).

يتم استعمال مجموعتين متتاليتين من البايوري في تقنية الـ Nested PCR ، و تستعمل منتجات التفاعل الأول كقوالب للتفاعل الثاني ، لكي يعطي الجين الهدف ، وهذه التقنية أكثر حساسية من اختبار تفاعل سلسلة البلمرة التقليدي Conventional PCR ، وهو بمثابة تعديل لتفاعل سلسلة البلمرة التقليدي للحصول على خصوصية عالية للمنتج المضخم ، حتى مع وجود أعداد كبيرة من النسخ ويتم الحفاظ على منطقة الجين *B1* إلى حد كبير في جميع سلالات الطفيلي، إذ يُظهر هذا الجين حساسية وخصوصية عالية، بالمقارنة مع الجينات الأخرى ، وبسبب هذه الخصائص تم التركيز على هذا الجين في انتشار داء المقوسات(Bajwa *et al.*,2014). وبحسب دراسة فرنسية أجريت لمجموعة من العينات المأخوذة من السائل المحيط بالجنين Amniotic fluid ثبت تأكيد الارتباط الموجب بـ PCR مع المرض كما تم عزل الطفيلي من الدم والسائل النخاعي (Thulliez 1992). وفي المرضى المثبتين مناعياً الذين لا يمكن استعمال الفحوصات المصلية معهم، بسبب انخفاض مستوى الاصدارات لديهم فإنه يتم استعمال هذا الفحص في الكشف عن الإصابة بطفيلي المقوسات الكوندية (Hierl *et al.*, 2004).

تعد تقنية PCR-restriction fragment length polymorphisms PCR-RFLPs (PCR-RFLPs) كأحد الطرق الجزيئية للكشف عن طفيلي المقوسات الكوندية *T.gondii* قد ثبت أن لها حساسية مرضية (Dubey *et al.*, 2007). تم استعمال اختبار PCR-RFLPs على نطاق واسع لتصنيف العينات الإيجابية المعزولة سريرياً، كما تم استعماله لتحديد التنوع الجيني و *T. gondii* (Zhou *et al.*, 2013) أحد المخاوف المتعلقة بهذا الاختبار هو أنه قد يتم إنتاج نتائج غير صحيحة إذا حدث تلوث في الدورات المبكرة من اختبار تفاعل الـ PCR ولمنع هذا الخطأ، يجب استعمال عنصر تحكم سلبي في كل تجربة (Liu *et al.*, 2015).

12-10-2: المقاطع النسجية **Tissue sections**

في هذا النوع من الفحص يظهر الطور سريع التكاثر والطور بطيء التكاثر في المقاطع النسيجية المأخوذة من الأنسجة المصابة والمصبوبة بصبغة الهيماتوكسيلين - أيوسين، كما يظهر الطور السريع التكاثر في الفحص المجهرى المباشر للدم والسوائل الجسمية وسائل النخاع الشوكي والقشع والسائل المحيط بالجنين Amniotic fluid، أما الأكياس النسيجية فتوجد في أنسجة المشيمة والدماغ (Dubey,2004). وإن استعمال بعض الصبغات مثل صبغة Romanovsky، وصبغة Giemsa، وصبغة Wrights تحدد الطفيلي، إذ يظهر في مجموعات صغيرة وقليلة الاستطاله وذات أجسام نوية مفلطحة داخل الخلية المصابة ويمكن رؤية الطفيلي في أنواع مختلفة من الخلايا، مثل الخلايا البطانية، والخلايا الليفية، وخلايا الكبد، والخلايا البلعمية، وخلايا الجهاز العصبي المركزي (Dubey,2009).

وعلى الرغم من ذلك فإنه لا يمكن الاعتماد على الفحص النسيجي في مثل هكذا إصابات لأن الطفيلي قد لا ينتشر بشكل متساوٍ في الأنسجة (Cenci-Goga *et al.*, 2011).

11-2 : السرطان Cancer

يشير السرطان إلى أنواع واسعة من الأمراض التي تتميز بانقسام الخلايا غير الطبيعي وغير المتحكم فيه، والذي تتسلل إليه هذه الخلايا وتدمّر الأنسجة الطبيعية بوساطة قدرتها على الانتقال إلى أعضاء أخرى من خلال مجرى الدم (Van Thun *et al.*, 2020).

وتكون الأورام على نوعين:

1-الأورام الحميدة Benign tumors : وهي كتلة من الخلايا التي لا تنتشر إلى الأنسجة المجاورة أو أنحاء الجسم الأخرى مقارنة بالأورام الخبيثة السرطانية وتحمي الأورام الحميدة عموماً بمعدل نمو ابطأ (Pilarski, 2019) وقد تكون بعض أنواع الأورام الحميدة ضارة بالصحة ويسبب نمو الورم الحميد بالضغط على الأنسجة والأعضاء المجاورة، وهناك كثير من أنواع الأورام الحميدة لديها القدرة على أن تتحول إلى خلايا سرطانية بوساطة عملية تعرف باسم تطور الورم ولهذا يجب إزالة الأورام الحميدة عن طريق العمليات الجراحية وعادة لا تعود الأورام الحميدة عند إزالتها إلا أن هناك بعض الاستثناءات وتتحول الأورام الحميدة إلى أورام خبيثة (Charifa *et al.*, 2019).

2- الأورام الخبيثة Malignant tumors وهي أورام خطيرة تمتاز باحتياجها للأنسجة والأعضاء الأخرى من الجسم وتحتوي الأورام الخبيثة على خلايا تنمو بشكل لا يمكن السيطرة عليه وتنشر إلى الأنسجة والأعضاء المجاورة ، وبعض الخلايا ضمن الورم تتفصل وتنشر إلى موقع بعيد عن طريق الدم او الجهاز المفاوي وتسمى بعملية الانتشار او انتقال الورم Metastasis، كما تتميز الأورام الخبيثة بأنها تمتلك طفرات تتراوح ما بين (10000-100000) طفرة(Duclou Lebon *et al.*, 2022).

يعد السرطان مشكلة صحية رئيسية في جميع أنحاء العالم وهو السبب الرئيسي الثاني للوفاة على مستوى العالم قبل سن 70 عاماً (Bray *et al.*, 2018) وهو مسؤول عن ما يقرب من 9.6 مليون حالة وفاة في عام 2018، ومن المتوقع أن يرتفع هذا العدد إلى (24) مليون بحلول عام 2025، إذا لم تتخذ الإجراءات اللازمة والأساسية لخفض معدل الوفيات وهي التخفيض المبكر والعلاج والوقاية من المرض

(WHO,2018) هناك العديد من أنواع السرطانات التي تصنف حسب موقعها في النسيج المصايب ومنها:

- 1 Carcinoma: وهو سرطان ينشأ في الجلد وفي الأنسجة الظهارية المبطنة للأعضاء الداخلية مثل نسيج الثدي.
- 2 Lymphoma: وهو نوع من السرطان الذي ينشأ في الخلايا الملمفاوية.
- 3 Leukemia: هو سرطان ينشأ في خلايا الدم كما في خلايا الدم البيضاء (سرطان الدم).
- 4 Sarcoma: هذا النوع من السرطان يؤثر في الأوعية الدموية والعضلات وفي الأنسجة الضامة الأخرى والغضاريف والعظام .(Lam,2006).

2-12: العلاقة بين الإصابات الطفيلية ومرض السرطان

The Relationship between parasitic infection & cancer

قادت التطورات الحديثة التي طرأت في حقول علم الاحياء الجزيئي وعلم الأوبئة إلى إجراء العديد من الدراسات والبحوث بهدف توضيح العلاقة المحتملة بين العوامل الممرضة ومرض السرطان وقد تم خصت عن معلومات قيمة بقصد الاساس الجزيئي لعملية حدوث السرطان. لقد قدر أن أكثر من 20% من الإصابات السرطانية في العالم تعزى إلى العوامل الممرضة بضمنها الطفيليات مما يشير إلى حقيقة أن بعض الإصابات السرطانية من الممكن علاجها.(Khurana *et al.*, 2005).

تشير بعض الدراسات إلى أن هناك عدداً من الطفيليات التي هي من المسببات الحقيقية لبعض الأمراض السرطانية ومن أهم هذه الطفيليات هي المنشقة الدموية البولية *Schistosma* وبعض الديدان المسطحة الكبدية مثل : الدودة الكبدية الآسيوية *Opisthorchis haematobium* ، دودة الكبد الصينية *Clonorichis sinensis* ، دودة الخنازير الشريطية (الدودة الوحيدة) *Taenia solium* فضلاً عن الحيوانات الابتدائية، مثل: المشعرات المهبلية *Trichomonas vaginilis* (Smout *et al.*, 2015; Sankar, 2015; Khurara *et al.*, 2005) لقد لوحظ أن حوالي عشرة ملايين شخصاً في تايلند ولاؤس هم مصابين بالدودة الكبدية الآسيوية (Sripa *et al.*, 2012; Smout *et al.*, 2007). تعيش هذه الدودة في القنوات الصفراوية وإن الإصابة بها لها علاقة قوية جداً بحدوث سرطان القنوات الصفراوي (.Cholangiocarcinoma

صنفت الوكالة الدولية لبحوث السرطان ضمن منظمة الصحة العالمية الإصابة بهذه الدودة ضمن المجموعة الأولى لمسببات السرطان وتشير بعض الدراسات إلى إن الإصابة بهذه الدودة مسؤولة عن

استعراض المراجع.....Literatures Review

حوالي 81% من سرطانات الكبد في المناطق الموبوءة; Sripa *et al.*, Parkin *et al.*, 2005; Sriomorn *et al.*, 2004. أما سرطان القنوات الصفراوية نتيجة للإصابة بالدودة الكبدية الصينية فقد وجد بمعدلات عالية في كل من كوريا الجنوبية وفي بوسان (Shin *et al.*, 1996).

صنفت المشعرة المهبلية أنها انتهاك طفيلي ابتدائي يسبب مرض يعرف بداء المشعرات Trichomoniasis الذي ينتقل عن طريق الاتصال الجنسي ومن أعراضه المهمة التهاب المهبل في النساء والتهاب الأحليل في الرجل وهناك بعض الدراسات تشير إلى أن هناك علاقة قوية بين الإصابة بالمشعرة المهبلية والإصابة بسرطان عنق الرحم (el-wikel *et al.*, 2002). في حين شخصت على أنها المسبب الرئيسي لسرطان غدة البروستات في الرجال (Stark *et al.*, 2009).

يكون الإنسان مضيفاً وسطياً ونهائياً في آن واحد لدودة الخنزير (الدودة الوحيدة) *Taenia solium* وأن يرقات (الكيسيات المذنبة) Cysticerci هذه الدودة تسبب مرض يعرف بداء الكيسيات Cysticercosis وتشير بعض الدراسات إلى أن الكيسيات المذنبة تسبب الأورام الدماغية عند تواجدها بالدماغ (Del Brutto *et al.*, 2000). Cerebral glioma

أعدت المنظمة العالمية للصحة العالمية على أنها من مسببات مرض السرطان وتشكل مصدراً للخطر على البشرية كما تُعد من قبل الوكالة الدولية لبحوث السرطان على أنها مسبب حقيقي لسرطان المثانة البولية (Pisani *et al.*, 1997). وفي الصين واليابان، لوحظ أن الإصابة بالمنشقة اليابانية *J. haematobitum* تسبب سرطان الخلايا الكبدية Hepatocellular carcinoma (Ishii *et al.*, 1994).

اشارت بعض الدراسات إلى أن الأشخاص المصابين بمرض الأكياس العدриة يكونوا أكثر عرضة للإصابة بالأورام السرطانية (Vajdic & Leeuwen van, 2003; Vuitton, 2009) ويمكن أن يعزى ذلك إلى ردود الفعل التي يبديها المضييف تجاه الإصابة بالأكياس العدرية Nguyen *et al.*, 2009). وقد أثبتت دراسة قام بها Zhang وجماعته (2008) أن هناك ارتباطاً وثيقاً بين الإصابة بمرض الأكياس العدرية والسرطان.

2-13: علاقة داء المقوسات الكوندية بالسرطان

Relationship between toxoplasmosis & cancer

أوضحت الدراسات السابقة وجود علاقة بين مسببات الأمراض المعدية ومنها الأمراض الطفيلية ببعض أمراض السرطان وأشارت تلك الدراسات إلى إمكانية الطفيلي على استحثاث نشوء الأورام

استعراض المراجع.....Literatures Review

السرطانية (Kharana *et al.*,2005) فحال دخول الطفيلي إلى جسم المضيف فان بعض هذه الأطوار السريعة التكاثر تتحول إلى الطور البطيء ويتکيس ولذلك يطلق عليه بالمتکيس & Weiss). (kim,2000) وخلال الإصابة المزمنة بهذا الطفيلي فإن الخلايا المضيفة له تكون بيئة ملائمة لنموه وتکاثره وبقاءه وخلال ذلك فان الطفيلي يفرز مواد بروتينية والتي تم تشخيص وجودها في نواة الخلايا المضيفة مما يقترح أن الطفيلي يعمل على تنظيم وتحوير الایعاز والتعبير الجيني للخلية المضيفة بما يناسبه (Carruthers & Lalibertye,2008) وقد أشارت دراسة سابقة إلى امكانية الطفيلي في التسبب في حدوث السرطان في الحيوانات المختبرية (Weiss & kim,2000).

اظهرت دراسة أخرى إلى أن الإصابة بالطفيلي ازدادت بمقدار الضعف عند الاشخاص المصابين بسرطان الدماغ مقارنة مع الاشخاص الأصحاء (Thomas *et al.*,2012)، وفي دراسة في فرنسا بينت أن معدل الوفاة بالسرطان ارتبطت بعلاقة طردية مع الإصابة بداء المقوسات الكوندية (Vittecoq *et al.*,2012)، فضلا عن دراسات أخرى عن تحديد العلاقة بين داء المقوسات الكوندية وبين السرطان ومنها تلك الدراسة التي اجريت من قبل (Ghasemian *et al.*,2007)، والتي درس فيها مستوى الاجسام المضادة للطفيلي في مرضى السرطان في مدينة اصفهان في ايران فكانت نسبة وجود الاجسام المضادة للطفيلي نوع IgG بين مرضى السرطان 2-45% مقارنة ب 5.36% السيطرة (الاصحاء).

بين Ajzenberg, *et al.* (2009) أن التحليل الجيني لـ 88 عينة مأخوذة من أفراد مثبطين مناعياً بين أن عامل المضيف المثبط مناعياً يلعب دوراً مهماً كعامل مساعد في الإصابة بداء المقوسات الكوندية، إذ تزداد احتمالية إصابة المثبطين مناعياً بداء المقوسات وحساسيتهم للمرض والعلاج، وباستعمال الطرائق المصلية والجزئية لتحديد انتشار الطفيلي عند الأطفال المصابين بالسرطان وجد ان 8.2% من العينات كانت موجبة بالنسبة لـ IgM و 86% كانت موجبة بالنسبة لـ IgG فيما كانت الإصابة الموجبة 2% عند استعمال الطرائق الجزئية بالنسبة لـ IgG. (Fallah *et al.*,2008).

بين Ahmad Pour *et al* (2015) في استعراض لعدد من الدراسات حول علاقة داء المقوسات الكوندية بين المرضى المثبطين مناعياً في ايران أن نسبة الإصابة للمرضى الذين تم زراعة الأعضاء لهم كانت 1.55% فيما كانت بين الاشخاص المصابين بالأيدز (50.5%) أما في مرضى السرطان فكانت 45.6%. وفي دراسة لحالة شخص مصاب بسرطان الرئة تبين ارتفاع مستوى IgG و IgM لداء المقوسات في هذا الشخص (Nianhong, 2015).

بينت Aabasian *et al.*,(2016) وجود علاقة بين داء المقوسات الكوندية والإصابة بسرطان الثدي فضلا عن وجود علاقة قوية بين هرمون الاستروجين وداء المقوسات الكوندية عند النساء

المصابات بسرطان الثدي وقد اقترحت الدراسة اجراء فحص دوري لداء المقوسات عند المصابين بالسرطان لما لها الطيفي من تأثير كبير عند المرضى غير المؤهلين مناعيا.

14-2: سرطان الثدي Breast cancer

يعد سرطان الثدي مصدر قلق بين النساء عالمياً بسبب ارتفاع معدل الإصابة والوفيات. فاحتمالية البقاء على قيد الحياة مدة خمس سنوات في حال وجود النسائل أقل من (30%) حتى مع العلاج الكيميائي المساعد، ووفقاً للبيانات الصادرة عن الوكالة الدولية لأبحاث السرطان International Agency for Research on Cancer (LARC) عام 2021 من (185) دولة عن وجود (2.3) مليون حالة جديدة بنسبة (11.7%) وبلغ معدل الوفيات 6.9% (Bray *et al.*, 2018).

عندما يصاب الإنسان بسرطان الثدي تصبح خلايا أنسجة الثدي منقسمة ومتغيرة بشكل غير طبيعي في البداية، مما ينتج عنه كتلة ورمية Lump، ويقتصر النمو السرطاني على القناة أو الفصيص ضمن الثدي، دون أن يسبب أية أعراض، ويشكل احتمالاً ضئيلاً جداً للتحول إلى ورم خبيث ولكن مع مرور الوقت، تتطور هذه السرطانات الموضعية (Stage 0) ومن ثم تغزو أنسجة الثدي المحيطة لتشكل سرطاناً غازياً Invasive Breast Cancer، وقد تنتشر إلى الغدد اللمفاوية القريبة أو إلى الأعضاء الأخرى في الجسم لتشكل ورم خبيث بعيد (نائل بعيدة) Distant Metastasis ويعد السبب الرئيس لوفاة النساء اللاتي تتراوح اعمارهن ما بين (40-59) عاماً ويقدر معدل حدوثه بأكثر من (2.3) مليون حالة سنوياً على مستوى العالم (Hadin *et al.*, 2022).

14-1: الوصف النسجي للثدي Histological description of breast

يعد الثدي عند المرأة البالغة هو الغدة المنتجة للحليب يقع في مقدمة جدار الصدر، إذ يرتكز على العضلة الصدرية الكبيرة ويكون متتصقاً بمقدمة جدار الصدر على جانبي القص بوساطة أربطة يحتوي كل ثدي على (15-20) فص، وتكون الفصوص منتظمة على شكل دائري ويعطي الشحم الذي يعطي الفصوص للثدي حجمه وشكله. ويكون كل فص Lob من عدة فصوص Lobules وهي الغدد التي تفرز الحليب استجابة للهرمونات ليتدفق عبر انباب رفيعة تسمى القنوات Ducts إلى الحلمة Nipple.

تحتوي الفصوص على (10-100) من الاسناخ المنتجة للحليب تسمى الوحدات الفصوصية القنوية النهائية Terminal Ductal Lobular Units(TDLUS) والتي يبلغ حجمها تقرباً (0.12)

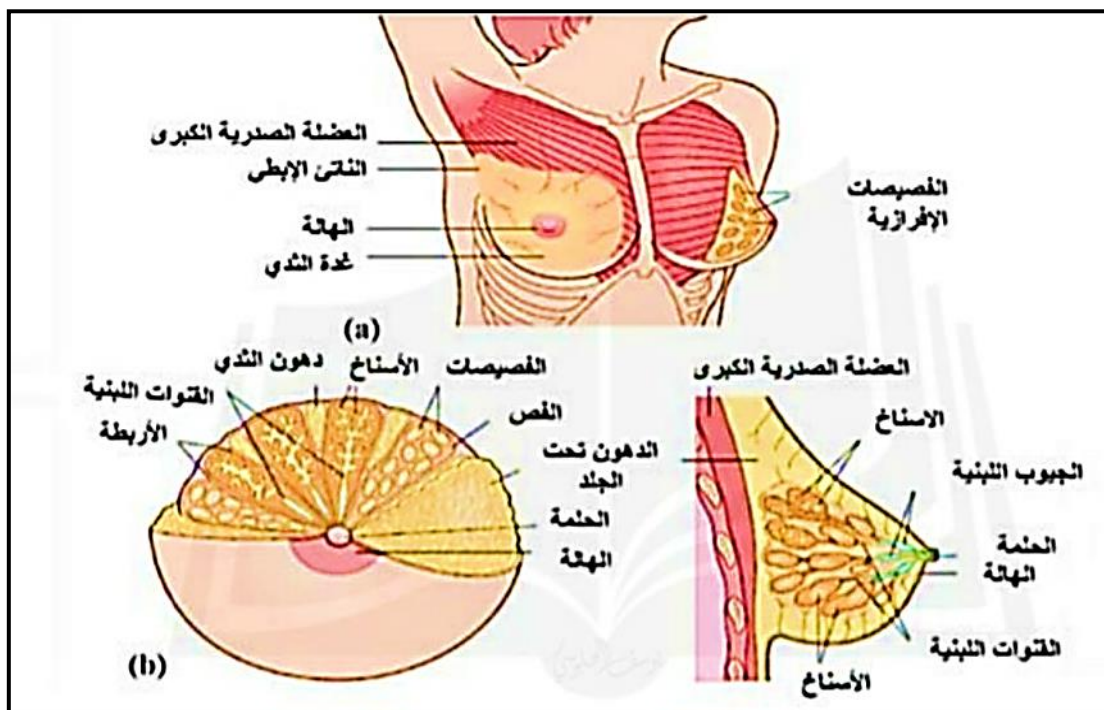
استعراض المراجع.....Literatures Review

ملم ، ويبلغ عدد القنوات اللبنية ما يقارب (30-15) قناة والتي تتدرج في قنوات أكبر تتقرب في النهاية في قناة رئيسة واحدة التي تتسع قليلاً لتشكل الجيوب اللبنية Lactiferous Sinus قبل أن تصيق ليمر عبر الحلمة ويفتح على سطح الحلمة (McKinney *et al*, 2020). تملاً الأنسجة الدهنية والليفية الفراغات بين الفصوص والقنوات، وتحتوي هذه الأنسجة على الأوعية اللمفاوية التي ترتبط على شكل كتل نسجية صغيرة ومستديرة وتشكل العقد اللمفاوية Lymph Node والتي تتركز في المناطق القريبة من الثدي تحت الذارع (الإبط) وفوق الترقوة Collarbone وفي منتصف القسم الخلفي من عظم الثدي Breastbone كذلك الأنسجة الغذية والقنوات تكون محاطة بأنسجة ضامة حاوية على الدهون والأربطة والأوعية الدموية والأوعية اللمفاوية والعقد اللمفاوية والأعصاب كما موضح في الشكل (4-2) (Taylor *et al*, 2022).

تعرف الغدة الثدية Mammary gland غدة عرقية محورة Modified sweat gland مسؤولة عن تغذية وليد الحيوانات الثدية ، وتتغير في تركيبها بشكل واضح بعد فترة بلوغ الأنثى، وكذلك تحدث تغيرات في حجمها تتوافق مع الدورة الشهرية Menstrual cycle وحالة الحمل Pregnancy ، كان لفهم تشريح الثدي وتنوعه العديد من التطبيقات السريرية تتراوح بين دعم الرضاعة الطبيعية والكشف والتشخيص، وإزالة الآفات الحميدة Benign والخبيثة Malignant في هذا السياق فان اغلب الأورام الخبيثة للثدي هي في الأصل الخلايا الظهارية المبطنة لجدران تلك القنوات. وهذا دليل لفهم وأدراك عميق لمعرفة تشريح الثدي (Ellis & Mahadevan, 2021)، كما أن الإصابة بأمراض الثدي للمرضعات اتسم بالارتفاع نتيجة لتقديرهن بالعمر لأنجابها لطفلها الأول، فضلاً عن أن آفات الثدي تبدو أقل شيوعاً أثناء الرضاعة كما أن وجود كتلة ما سواء كانت حميدة أم خبيثة قد تعيق تدفق الحليب اعتماداً على موقع وجود تلك الكتلة تؤدي إلى تجمع الحليب الذي يسبب انسداد القنوات الناقلة وكذلك الفصوص، مما يؤدي إلى التهاب الثدي عند عدم السيطرة عليه بنجاح لذا فإن المعرفة الأساسية لتشريح الثدي تمنحك تشخيصاً أفضل وكذلك العلاج للنساء المرضعات وغير المرضعات. لذا كانت الحاجة لفهم مراحل سرطان الثدي وامكانية العلاج داخل الأقنية (Simpson & Sers, 2016). تصاب القنوات المتواجدة في وسط الثدي للنساء غير المرضعات بعدة أمراض مثل توسيع أو عية الأقنية وأمراض التليف والأورام الغدية الحميدة والخبيثة داخل الأقنية (Ellis & Mahadevan, 2021). يتكون الثدي من الأنسجة الظهارية Epithelial Tissue وهي جزء من داخل سدى ليفية Fibrous Stroma للثدي. ويرتبط جدار كل قناة مع طبقتين من الخلايا الظهارية: -

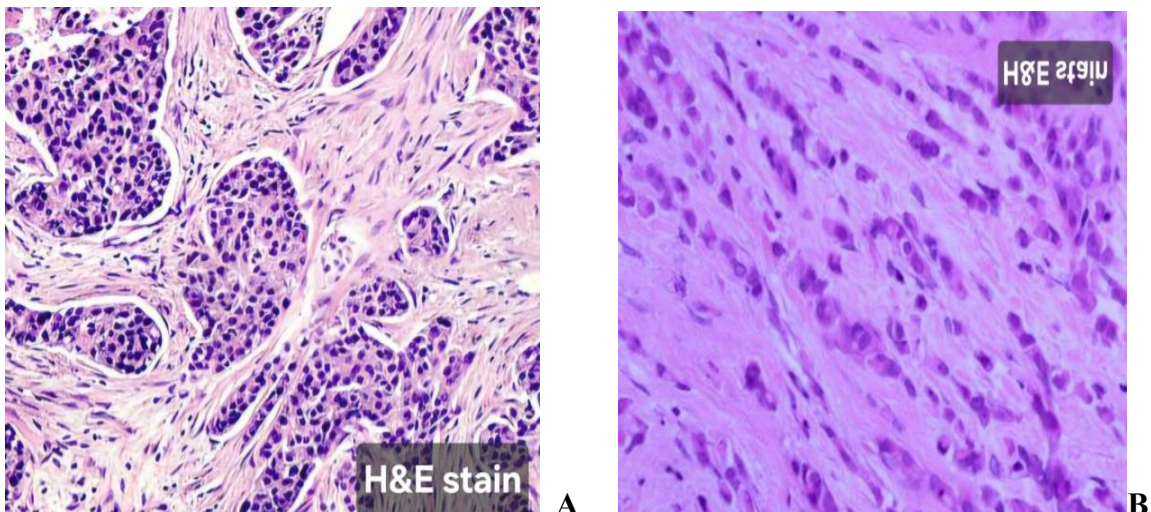
1- الطبقة الداخلية Inner Layer التي تغلف تجاويف الأقنية الذي يحتوي على الخلايا الظهارية المكعبة وبعضاً وبالأخص في القنوات النهائية لها القدرة على التمايز إلى خلايا فارزة للحليب Milk secretory Leucocytes أثناء الرضاعة.

2- الطبقة القاعدية (الطبقة الخارجية Outer Layer) وتتكون من خلايا عضلية ظهارية تحيط بإحكام بالطبقة القاعدية التي لها خصائص وصفات خلايا العضلات الملساء. وتقع الطبقة القاعدية على الغشاء القاعدي (Visvader, 2009).



صورة (4-2): توضح البنية التشريحية للثدي

(a) تشريح الاوعية الدموية والمفاوية في منطقة الثدي، (b) غدة الثدي، (على اليسار) البنية الداخلية للغدة الثديية، (على اليمين) يظهر تدفق الحليب (Ellis & Mahadevan, 2021)



شكل (5-2): انواع سرطان الثدي الاكثر شيوعاً، (A) نسيج سرطان الاقنية الغازى (Invasive ductile carcinoma) (Sikora et al., 2013) , (B) سرطان الفصيصي الغازى (Invasive lobular carcinoma) H&E stain x400 ,of breast

الفصل الثالث

المواد وطرق العمل

Materials & Methods

3 - المواد وطرائق العمل

Materials : 1-3

1-1-3: Instruments

جدول (1-3): الأجهزة المستعملة حسب المنشأ والشركة

المنشأ	الشركة	الأجهزة
China	Biobase	ثلاجة Refrigerator
China	Biobase	جهاز التدوير الحراري Polymerase chain reaction
China	Biobase	جهاز الترحيل الكهربائي Electrophoresis
China	Feica	جهاز التقطيع اليدوي Microtome
China	Biobase	جهاز الطرد المركزي صغير الحجم Microcentrifuge
China	Biobase	جهاز الطرد المركزي Centerifuge
Taiwan	Actgene	جهاز Nano Drop Spectrophotometer
China	Biobase	الحاضنة Incubator
China	Biobase	الفرن Oven
China	Biobase	مازج Vortex
China	Biobase	مجمدة Deep frezeer
China	Biobase	الميزان الحساس Sensitive balance

2-1-3: Equipments

جدول (2-3) الأدوات المستعملة حسب الشركة والمنشأ

المنشأ	الشركة	الأدوات
Korea	Favorgen	Minicoulmn tube
Korea	Favorgen	الأنابيب الجامعية Collection tube
Korea	Favorgen	أنابيب الطرد المركزي الدقيقة Microcenterfuge tube
&Engl	Hoverlabs	الحامل Rack
Malaysia	Maxar	كوف Gloves
Korea	Favorgen	ماسقات مختلفة الأحجام Micropipetts
Korea	Favorgen	مدقة لطحن النسيج Micropestles
&Engl	Hoverlabs	وعاء زجاجي Beakers

3-1-3: المواد الكيميائية والمحاليل Chemical Materials & solution

جدول (3-3) المواد الكيميائية والمحاليل المستعملة حسب الشركة والمنشأ

المنشأ	الشركة	المواد الكيميائية
&Engl	BDH	Xyline زايلول
&Engl	BDH	Absolute Ethanol كحول الايثانول المطلق
U.S.A	Promega	Agarose اغاروز
Korea	Pioneer	DNA ladder سلم قياس
Canada	Bio basic	Ethidium bromide صبغة بروميد الايثيديوم
U.S.A	Promega	Master mix ماستر مكس
Korea	Pioneer	Free DNAase water ماء مزال الأيون
Canada	Bio basic	TBE buffer محلول منظم بفر
Korea	Pioneer	Sau Al enzyme الأنزيم القاطع
Korea	Pioneer	Hhal enzyme الأنزيم القاطع
Korea	Pioneer	Primers بوادي

4-1-3: العدد المستعملة في هذه الدراسة

جدول (4-3) العدد المستعملة في استخلاص الحمض النووي

المنشأ	الشركة	العدد المختبرية	ت
Korea	Addbio.Bio-Tech	عدة استخلاص DNA Genomic DNA Extraction kit	1

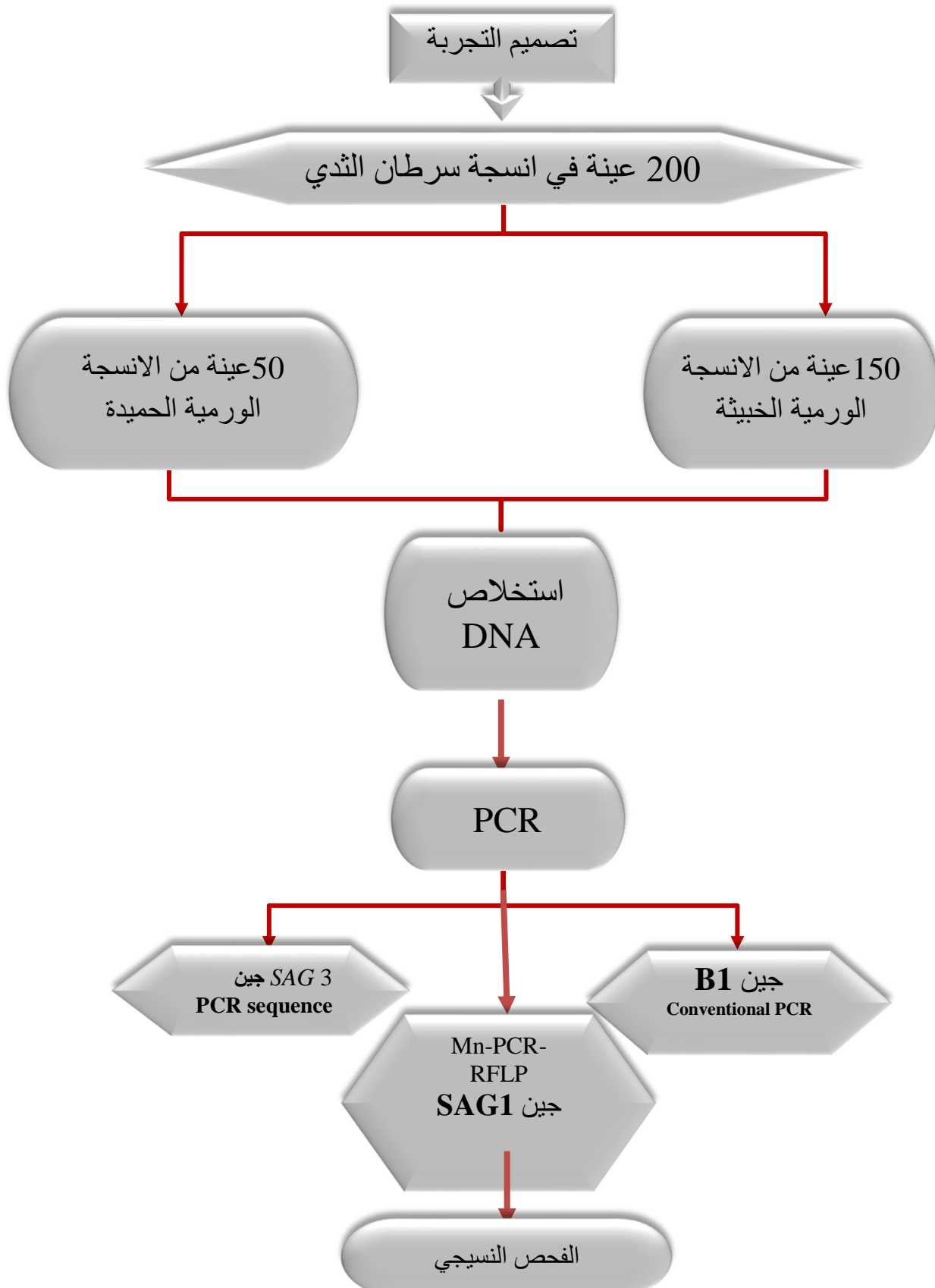
2-3: طرائق العمل Laboratory Methods

1-2-3: جمع العينات Samples Collection

تم جمع 150 عينة من أنسجة سرطان الثدي الورمية الخبيثة والمطمورة بشمع البارافين Paraffin Embeded Tissue والمشخصة من قبل الطبيب المختص و 50 عينة من الأنسجة الورمية الحميدة، وجميع هذه العينات للنساء تراوحت أعمارهن من 25-45 وتم جمع هذه العينات من مختبر التقطيع النسيجي في مدينة الامام الحسين (عليه السلام) الطبية ومختبر مستشفى الكفيل التخصصي ومختبر السجاد التخصصي للفحوصات النسجية والخلوية وتشخيص الأورام في كربلاء المقدسة.

شملت عينات الدراسة ثلاثة مجامي:

- المجموعة الاولى: 66 امرأة مصابة بسرطان الثدي لم يخضعن للعلاج الكيميائي.
- المجموعة الثانية: 84 امرأة مصابة بسرطان الثدي من خضعن للعلاج الكيميائي.
- المجموعة الثالثة: 50 امرأة مصابة بالسرطان الورمي الحميد.



شكل (1-3) تصميم التجربة

2-2-3: طريقة التشخيص Diagnostic Methods

3-2-3: الاختبارات الجزيئية Molecular Test

1-3-2-3: تفاعل انزيم البلمرة المتسلسل (PCR) Conventional Polymerease Chain Reaction

تم اجراء تقنية PCR لـ DNA المستخلص من عينات النسيج المصابة بسرطان الثدي لكافة المجاميع قيد الدراسة وذلك بالاعتماد على تضخيم جين *SAG1* و *B1* و *SAG3* وكما يلي:

2-3-2: استخلاص الحمض النووي الريبوزي منقوص الاوكسجين من عينات نسيج سرطان الثدي تم تقطيع خمسة مقاطع بسمك 10 مايكرون من أنسجة أورام الثدي المطمورة بشمع البارافين وذلك لغرض عزل جينوم الـ DNA باستعمال Kit Tissues Protocol Genomic DNA Mini Kit Tissues Protocol Genomic DNA Mini كما موضح في جدول (5-3) والذي صمم خصيصاً لهذا الغرض استعملت العدة التجارية الكورية من انتاج الشركة Favorgen لاستخلاص الحمض النووي DNA من عينات نسيج سرطان الثدي الخبيث وعينات سرطان الثدي الحميد.

جدول (5-3) مكونات العدة المستعملة في استخلاص الحمض النووي الريبوزي DNA

مكونات العدة Kit Components	
الأنابيب الجامعة Collection tube-1	
محلول الشطف الدارى Elution Buffer-2	
المحلول الدارى FATG1 Buffer-3	
المحلول الدارى لتحلل النسيج FATG2 Buffer -4	
Micropestle -5	
الإنزيم البروتيني Proteinase K (Liquid) -6	
الأنابيب المرشحة Tube FATG Mini Column-7	
محلول الغسل الدارى رقم (1) W1 Buffer -8	
محلول الغسل الدارى Wash Buffer-9	

طريقة العمل:

اولاً: تحضير العينة وتفكيك النسيج Sample Preparation & Tissues Dissociation

- 1- تم نقل المقاطع النسيجية بعد أن شذبت من الشمع الفائض إلى أنابيب ابندورف سعة 1.5 مل.
- 2- تمت إضافة 1 مل من الزايلين إلى العينة ثم مزج الخليط بواسطة المازج وحضنت لمدة نصف ساعة بدرجة حرارة الغرفة ثم توضع في جهاز الطرد المركزي بسرعة 14000 دورة في الدقيقة الواحدة لمدة خمسة دقائق.
- 3- نسحب السائل الرائق بالمايكروبلاست.
- 4- تمت إضافة 1 مل من كحول الايثانول المطلق لغسل العينة مع المزج المستمر.
- 5- تم وضع الانابيب في جهاز الطرد المركزي بسرعة 14000 دورة في الدقيقة الواحدة ولمدة خمسة دقائق ويهمل الرائق.
- 6- تم تكرار خطوة 4 و5.
- 7- تركت اغطية أنابيب ابندورف مفتوحة وحضنت بدرجة 37م ولمدة 15 دقيقة لإزالة بقايا كحول الايثانول وتبخيره.
- 8- تم سحق النسيج بواسطة المدققة.
- 9- تمت إضافة 200 ميكروليتر من داري FATG1 إلى العينة واستمر المزج بواسطة المدققة.

ثانياً: التحلل Lysis

- 1- تمت إضافة 20 ميكروليتر من Proteinase k إلى العينة ومزجت بواسطة المازج لعدة ثوان.
- 2- تم حضن العينات بدرجة 60م لمدة 60 دقيقة مع التقليب كل 10 دقائق لتحليل العينة.
- 3- تمت إضافة 200 ميكروليتر من داري FATG2 ومزجت العينة جيداً بواسطة المازج لمدة 5 ثوان ثم حضنت بدرجة 70م ولمدة 10 دقائق ويتم رج العينات كل 5 دقائق لغرض تحلل النسيج جيداً.

يتم أعادة وضع العينات في جهاز الطرد المركزي بسرعة 14000 دورة في الدقيقة الواحدة لمدة دققيتين في حالة وجود مواد غير ذائبة بعد الحضن النبذ، ثم ينقل الرائق إلى أنبوبة نبذ مركزي جديدة سعة 1.5 مل.

ثالثاً: ارتباط الـ DNA

- 1- تمت إضافة 200 ميكروليتر من كحول الايثانول المطلق إلى العينة ومزج جيداً بواسطة المازج لمدة 10 ثوان ثم أخذ الرائق فقط.
- 2- تم نقل الرائق إلى عامود أنبوب الترشيح بعد ان وضع في أنبوبة جامعة Collection سعة 1.5 مل ونبذت الانابيب بجهاز الطرد المركزي بسرعة 14000 دورة ولمدة دققيتين.

3- تم اهمال الراشح في الانبوبة الجامعة ونقل انبوب الترشيح إلى انبوبة جامعة جديدة.

رابعاً: الغسل Washing

1- تمت إضافة 400 ملليلتر من داري WI لكل عامود GD ووضع في جهاز الطرد المركزي بسرعة 14000 دورة في الدقيقة الواحدة ولمدة دقيقة واحدة ثم سكب الراشح الموجود في الانابيب الجامعة وأعيد عامود GD إلى الأنبوبة الجامعة.

2- تمت إضافة 600 ملليلتر من داري الغسل Wash Buffer الممزوج مع الايثانول إلى انبوب الترشح .

3- تم وضع الانابيب بسرعة 14000 دورة لمدة دقيقة واحدة وأهمل الراشح داخل الأنبوبة الجامعة وتوضع مرة أخرى بنفس السرعة ولمدة 3 دقائق لتجفيف مادة انبوب الترشح.

خامساً: - الاسترداد Elution

1- تم نقل انبوب الترشح المجفف إلى أنبوبة جامعة جديدة واضيف اليه 100 ملليلتر من داري شطف الـ DNA.

2- ترك انبوب الترشح لمدة 5 دقائق كي يتمتص داري الشطف ثم وضعت الانابيب بجهاز الطرد المركزي بسرعة 14000 دورة ولمدة دقيقتان، بعد ذلك أخذ راسب الـ DNA وبعد ذلك يتم حفظه بدرجة حرارة 20- درجة مئوية.

4-3-2-3: قياس تركيز الـ DNA Determinate of DNA Concentration

تم الكشف عن الحمض النووي للـ DNA المستخلص من عينات النسيج بالكامل باستعمال جهاز Nano Drop Spectrophotometer من إنتاج الشركة التايوانية ACTGENE يستعمل لكشف عن الاحماس النوويه (RNA وDNA)، بواسطة قياس تركيز الحمض النووي بالنانو غرام لكل ملليلتر من خلال قراءة شدة الامتصاصية وعلى الطول الموجي 260/280 نانوميتر، فضلاً عن قياس نقاوة الحمض النووي إذ يعد الحمض النووي نقياً عندما تكون شدة الامتصاصية بمعدل (± 1.8) (Melville, 2004)، علماً أن معدل تركيز الـ DNA المستخلص من عينات الدراسة هو 180 نانو غرام / ملليلتر.

5-3-2-3: تحديد النمط الجيني لطفيلي داء المقوسات Determination of Toxoplasma genotype

تم تحديد النمط الوراثي لعينات الحمض النووي المستخلصة من أنسجة سرطان الثدي الخبيثة بتقنية Restriction fragment length polymorphism(Mn-PCR-RFLP) لـ 17 عينة موجبة لداء المقوسات الكوندية اذا تم استعمال جين SAG1 حسب البادئات المستعملة في جدول (3-6) إذ تم وفقاً

المواد وطرق العمل.....Materials & Methods.....

للمعلومات التي قدمتها شركة التصنيع التي استخدمت "مجموعة استخراج الحمض النووي Add Prep، كوريا الجنوبية" (Addpio Genomic DNA®)، كما هو موضح سابقًا وحسب برنامج التدوير الحراري الذي تمت الاشارة اليه في جدول (9-3)، تم استعمال هذه البادئات في تحليل تسلسل الحمض النووي. تم تنفيذ هذا النهج باستعمال أنزيمات قطع خاصة وهي Hhal enzyme, Sau3Al enzyme وفقاً للطرق التي حددها Hosseini *et al.*, (2021).

6-3-2-3: طريقة تسلسل الحمض النووي Method sequencing DNA

تم إخضاع عزلات *SAG3* *T. gondii*، بالإضافة إلى عزلات *SAG3* القياسية التي أبلغ عنها NCBI، لتسلسل الحمض النووي لغرض تحديد التباين الجيني، تم شحن منتجات جين *SAG3* الموجبة لتفاعل البوليمراز المتسلسل في كيس ثلاثي إلى شركة Macrogen في كوريا لتسلسل الحمض النووي على جهاز تسلسل الحمض النووي AB من خلال DHL. تم استعمال تحليل علم الوراثة التطوري الجزيئي الإصدار 6.0 لحساب المسافات التطورية، تم حساب المسافات التطورية باستعمال نهج أقصى احتمال مركب باستعمال طريقة الشجرة التطورية (UPGMA) وتحليل محاذة التسلسل المتعدد لتحليل محاذة W غير المكتمل القائم على جين *SAG3*، باستعمال تقنية أقصى احتمال مركب بوساطة طريقة الشجرة التطورية (6.0) UPGMA Mega.

7-3-2-3: تحضير تفاعل انزيم البلمرة المتسلسل Preparation of PCR Reaction

تم تحضير تفاعل انزيم البلمرة المتسلسل باستعمال عدة تجارية PCR premix 20 μ Reaction وتحسب تعليمات الشركة جدول (5-3)

جدول (6-3): مكونات Master Mix لتفاعل انزيم البلمرة المتسلسل

المكونات Components	حجم التفاعل (μL) Reaction Size(μL)
Taq DNA Polymerase	1U
الخليط من القواعد النيتروجينية (d NTP) (d ATP, CTP,d GTB,d TTP)	400 μL
محلول منظم بفر Buffer	10 μL
صبغة Loading dye	30 μL
كلوريد المغنيسيوم MgCl2	3 μL

8-3-2-3: البادئات المستعملة في تفاعل انزيم البلمرة المتسلسل The primer used in PCR Reaction

استعملت البوادي النوعية لجين *B1* بالاعتماد على (Naully & Gomes *et al.*, 2019) وجين *SAG1* بالاعتماد على (Continin *et al.*, 2020), وجين *SAG3* بالاعتماد على (Sudan *et al.*, 2012) و(Alkardhi *et al.*, 2002) والمجهزة من الشركة الكورية Bioneer وحسب الجدول (3-6).

جدول (7-3) تسلسل البوادي المستعملة في الدراسة الجزيئية.

تسلسل البادئات (5'-3')			حجم ناتج PCR
<i>B1</i> جين	Forward primer	GGAACATGCATCCGTTCATGAG	194bp
	Reverse primer	TCTTTAAAGCGTTCGTGGTC	
جين <i>SAG1</i>	Forward primer	TTGCCCGCGCCCACACTG ATG	241bp
	Reverse primer	CGCGACAC AAGCTGCGATA	
جين <i>SAG3</i>	Forward primer	ATGCAGCTGTGGCGGCGCAG	1158bp
	Reverse primer	TTAGGCAGCCACATGCACAA	

8-3-2-3: تحضير تفاعل انزيم البلمرة المتسلسل PCR Reaction Mixture

تم تحضير هذا المزيج وفقاً لتعليمات الشركة المصنعة جدول (7-3) وكما يلي:

جدول (8-3): مكونات تفاعل انزيم البلمرة المتسلسل

مزيج تفاعل PCR Reaction Mixture	الحجم (25 μL)
DNA Extraction مستخلص	2
بادئ امامي Forward	2
بادئ خلفي Reverse	2
ماء مقطر Free DNAase water	6.5
Mastermix	12.5
الحجم الكلي Total volum	25

- 1- تم وضع جميع المكونات المذكورة في الجدول السابق (7-3) بأنابيب خاصة.
- 2- تم إغلاق الانابيب وتم نقلها لجهاز الطرد المركزي الدقيق بأقصى سرعة لمدة نصف دقيقة.
- 3- تم نقل الانابيب إلى جهاز التدوير الحراري PCR.

10-3-2-3: برنامج تفاعل البلمرة المتسلسل - PCR Program PCR Thermo cycle

تم اجراء تفاعل انزيم البلمرة المتسلسل باستعمال جهاز التدوير الحراري لتفاعل - PCR من انتاج الشركة الصينية Biobase أذ ضخم الجين المستهدف *SAG1* و *B1* و *SAG3* وبحجم 194bp و 241bp و 1158bp على التوالي كما موضح في الجداول (3-8) و (3-9) و (3-10).

جدول (3-9): البرنامج المستعمل لجين *B1* في جهاز - PCR

الخطوات Step	درجة الحرارة Temperature (C °)	الوقت Time	عدد الدورات Number of cycles
مرحلة تنشيط الانزيم والتهيئة مرحلة تفكك Initial Denaturation DNA	95	3min	1
مرحلة التفكك Denaturation	95	3s	35
مرحلة الالتصاق Annealing	60	30min	35
مرحلة الامتداد Extension	72	1min	35
ضمان اكمال مرحلة الامتداد والتصاق الشريطين مع بعضهما و اكمال عدد الدورات لنسخ Final extention	72	5min	1

جدول (3-10): البرنامج المستعمل لجين *SAG1* في جهاز - PCR

الخطوات Step	درجة الحرارة Temperature (C °)	الوقت Time	عدد الدورات Number of cycles
مرحلة تنشيط الانزيم والتهيئة مرحلة تفكك Initial Denaturation DNA	95	3min	1
مرحلة التفكك Denaturation	95	3s	35
مرحلة الالتصاق Annealing	63	30min	35
مرحلة الامتداد Extension	72	1	35
ضمان اكمال مرحلة الامتداد والتصاق الشريطين مع بعضهما و اكمال عدد الدورات لنسخ Final extention	72	5	1

جدول (11-3): البرنامج المستعمل لجين SAG3 في جهاز PCR

الخطوات Step	درجة الحرارة Temperature (C °)	الوقت Time	عدد الدورات Number of cycles
مرحلة تنشيط الانزيم والتهيئة مرحلة تفكك Initial Denaturation DNA	95	5min	1
مرحلة التفكك Denaturation	95	35s	35
مرحلة الالتصاق Annealing	60	30min	35
مرحلة الامتداد Extension	72	55s	35
ضمان اكمال مرحلة الامتداد والتصاق الشريطين مع بعضهما واكمال عدد الدورات للنسخ Final extention	72	5min	1

11-3-2-3: الترحيل الكهربائي لنواتج تفاعل انزيم البلمرة المتسلسل بهلام الاكاروز**Electrophoresis of PCR Product by Agarose Gel**

تم اجراء الترحيل الكهربائي باستعمال هلام الاكاروز وذلك لمعرفة نتائج تفاعل انزيم البلمرة المتسلسل وكما في الخطوات التالية:

- 1- تم تذويب 1\غرام من مسحوق الاكاروز في 10 مل من محلول الدارئ TBE مع 100 مل من الماء المقطر .
- 2- تم تسخين محلول بالفرن الكهربائي Microwave إلى أن يتم ذوبان كل مسحوق الاكاروز ويبدو المزيج صافي.
- 3- تحضر قالب الترحيل Tray ووضع المشط Comb الخاص به، ثم يتم ترك الهلام إلى أن يبرد قليلاً وعندما يصل إلى درجة 40 ماضي 2.5 ملليتر من صبغة بروميد الإثيديوم التألفية Ethidium Bromide ذات اللون البرتقالي.
- 4- ثم يتم صب الهلام في قالب الترحيل بهدوء لمنع تكوين الفقاعات الهوائية التي تعيق وصول التيار الكهربائي.
- 5- ثم يتم ترك الهلام لمدة 20 دقيقة ليتصلب في درجة حرارة الغرفة، ثم يتم رفع المشط بحذر تجنباً لأي تمزق في حفر الهلام بعد تصلبه.
- 6- ثم يتم حمل الصفيحة التي تحتوي على الهلام ووضعها في جهاز الترحيل والمتمثل بحوض يستخدم للتقطيع الكهربائي.

- 7- تم وضع 5 مللي ليتر من عينات نواتج تفاعل انزيم البلمرة المتسلسل PCR في حفر الجل.
- 8- وضعت 5 مللي ليتر من سلم قياس (Ladder DNA) 100-1500bp في الحفرة الأولى.
- 9- ثم بعد اكمال وضع العينات وسلم القياس غمر هلام الاكاروز بمحلول الدارئ TBE Buffer الذي تركيزه 10 مل من محلول الدارئ مع 100 مل من الماء المقطر.
- 10- تم غلق غطاء جهاز الترхيل، وتوصيل الأقطاب السالبة والموجبة كل حسب مكانه في الجهاز.
- 11- تم تمرير تيار كهربائي بفرق جهد 60 فولت لمدة نصف ساعة.
- 12- ثم بعد انتهاء مدة الترخيل يتم فصل الجهاز عن التيار الكهربائي ويتم رفع القالب ونقله إلى جهاز EZ-capture-MG ليتم الفحص باستعمال مصدر الأشعة فوق البنفسجية U.V light source لتحديد الناتج مع وحدة القياس إذ تعدد النتيجة موجبة بلحظة حزم للحمض النووي即 DNA جين B1 وبحجم 194bp وجين SAG1 بحجم 241 bp وجين SAG3 وبحجم 1158bp ومقارنة النتائج مع سلم القياس Ladder وتم تصوير العينات باستعمال كاميرا رقمية ملحقة بجهاز MG EZ-capture .

3-3: الدراسة النسجية Histological Study

تم جمع عينات الأنسجة من المريضات المصابة بسرطان الثدي من مختبر التقطيع النسيجي في مدينة الامام الحسين (عليه السلام) الطبية ومختبر السجاد التخصصي في محافظة كربلاء المقدسة وقد أجري عليها الفحص النسجي، وتم تحضير المقاطع النسجية وأجريت عليها سلسلة من العمليات المتتالية وحسب طريقة (Bancroft & Gamble, 2008) وكالآتي :

- 1- التثبيت Fixation : ثبّتت العينات في محلول الفورمالين 10% ولمدة 48 ساعة .
- 2- الغسل Washing : غسلت العينات بالماء الجاري لعدة مرات للتخلص من الفورمالين .
- 3- سحب الماء (الانكاز) Dehydration : مررت العينات بسلسلة تصاعدية من تراكيز الكحول الأثيلي (70%，80%，90%，100%) ولمدة ساعتين لكل تركيز باستعمال جهاز processor tissues
- 4- الترويق Clearing : وضعت العينات في محلول الزايلين Xylene النقى أعيدت مرتين ولمدة (20 دقيقة لكل مره لجعل النماذج أكثر شفافية .
- 5- التشريب Infiltration : شربت العينات بوضعها في شمع البرافين المنصهر بدرجة حرارة (58-60 م) لمدة ساعتين لكل نموذج أعيدت ثلاثة مرات لزيادة ارتشاح الشمع إلى داخل النسيج .
- 6- الطمر Embedding : طمرت العينات في شمع البرافين الذائب بدرجة حرارة (58-60 م) في داخل قوالب خاصة مربعة الشكل مع مراعاة توسط المقطع النسجي في وسط قالب الشمع وترك القوالب في درجة حرارة الغرفة حتى يتصلب الشمع وبعدها بردت وحفظت في الثلاجة وأصبحت جاهزة للتقطيع .

7 - التقطيع Sectioning : قطعت النماذج المطمورة باستعمال جهاز المشراح اليدوي الدوار Rotary Microtome بسمك (5) مايكرومتر على شكل مقاطع شريطية ووضعت هذه المقاطع في حمام مائي بدرجة حرارة (45-50) م ، ونقلت بعد ذلك بوساطة شرائح زجاجية نظيفة مطالية بمادة البوهرين ماير ووضعت على صفيحة ساخنة Hot Plate بدرجة حرارة (37) م (لمندة 24 ساعة).

8- التصييف Staining مررت العينات بترانكيز تنازيلية من الكحول الايثيلي (100% 90% 95%) 80% بواقع دقيقتين لكل تركيز وبعد ذلك نقلت الشرائح الى الماء المقطر لمدة دقيقتين ثم مررت بعد ذلك بسلسلة تصاعدية التركيز من الكحول الايثيلي لمدة دقيقتين لكل تركيز ثم نقلت الشرائح الى الزايلين مرتين للترويق ، بعدها صبغت المقاطع بوضعها بصبغة Haematoxylin لمدة (5) دقائق. ثم بعد ذلك بصبغة Eosin لمدة (30 ثانية) ، ثم وضعت الشرائح في الزايلين ، في تحمل المقاطع Disterin Plasticizer استعملت مادة التحمل Mounting Xylene (DPX) وذلك بوضع قطرة منها على كل شريحة لغرض تثبيت غطاء الشريحة ثم وضعت على صفيحة ساخنة لتجف.

9- فحص الشرائح والتصوير Examination of Histological Slides & photography فحصت الشرائح الزجاجية بوساطة المجهر الضوئي تحت قوة التكبير (100x) ثم صورت الشرائح باستعمال كاميرا تصوير فوتوغرافي موصولة بالمجهر. وتم فحص الشرائح النسجية وتشخيص المرض.

4-3: التحليل الاحصائي

يتم التعبير عن المتغيرات الفئوية كعدد ونسبة مؤوية (%) ومقارنتها باستعمال تحليل مربع كاي أو اختبار فيشر الدقيق، حيثما كان ذلك مناسباً، يتم التعبير عن المتغيرات المستمرة كمتوسط ± الانحراف المعياري (SD) ومقارنتها باستعمال اختبار t لمجاميع الدراسة الحالية. تم تقدير عوامل الخطر المتعلقة بسرطان الثدي باستعمال نموذج الانحدار اللوجستي وتم التعبير عنها كنسبة الأرجحية (OR) مع فاصل الثقة المقابل بنسبة 95% (CI). تم إجراء جميع التحليلات باستعمال برنامج spss الإصدار 28. تم اعتبار الاختلافات ذات القيم $p < 0.05$ ذات دلالة إحصائية.

الفصل الرابع
النتائج والمناقشة

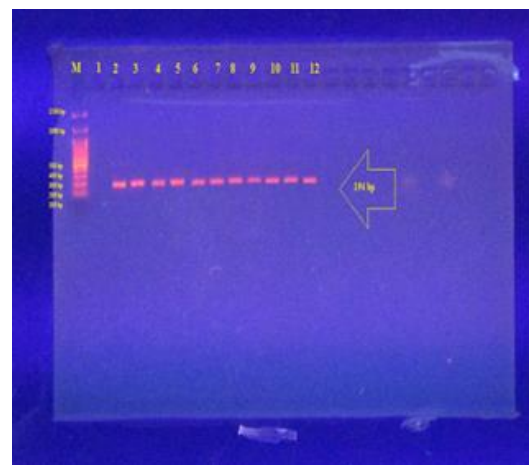
Results & Discussion

4- النتائج والمناقشة Results &Discussion**1-4: الدراسة الجزيئية لعينات أنسجة سرطان الثدي**

تم إجراء الدراسة الحالية لـ 150 عينة من أنسجة سرطان الثدي الورمية الخبيثة و 50 عينة من أنسجة سرطان الثدي الورمية الحميدة المطمورة بشمع البارافين Paraffin Embeded Tissue والمخصصة من قبل الطبيب المختص، شملت عينات الدراسة ثلاثة مجاميع ، المجموعة الأولى 66 امرأة مصابة بسرطان الثدي لم يخضعن للعلاج الكيميائي ، المجموعة الثانية 84 امرأة مصابة بسرطان الثدي ممن خضعن للعلاج الكيميائي، والمجموعة الثالثة 50 امرأة مصابة بسرطان الثدي الحميد، أذ تراوحت أعمار المريضات من 25-54. تم اجراء تقنية الـ PCR على الحمض النووي الريابيوزي منقوص الأوكسجين DNA في عينات النسيج المصابة بسرطان الثدي لكافة المجاميع قيد الدراسة وذلك بالاعتماد على تضخيم جينات *B1*, *SAG1* و *SAG3* وبينت النتائج لـ 17 عينة موجبة لداء المقوسات الكوندية للنساء المصابة بسرطان الثدي الخبيث و 2 من العينات موجبتين للنساء المصابة بسرطان الثدي الحميد بفحص تقنية تفاعل البلمرة المتسلسل .



(b)

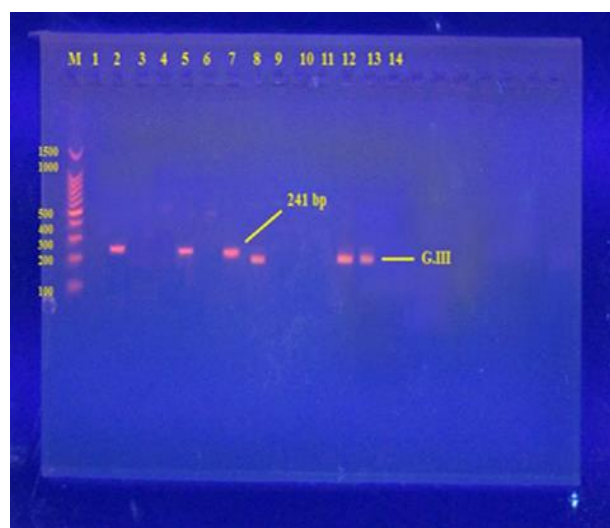


(a)

شكل (1-4) (a) الترhill الكهربائي لتفاعل انزيم البلمرة المتسلسل (PCR product) لطفيلي المقوسات الكوندية لجين *Toxoplasma gondii B1 gene* *B1* (على هلام الاكاروز بفرق جهد v 60 لمنا نصف ساعة وبحزمة-100bp-1500bp) وباستعمال صبغة بروميد الايثيديوم التالقية Ethidium Bromide ذات اللون البرتقالي أذ تظهر العينات حزمة بحجم 194bp زوج قاعدة نتروجينة, (a) انسجة النساء المصابة بسرطان الثدي الخبيث,(b) انسجة النساء المصابة بسرطان الثدي الحميد.

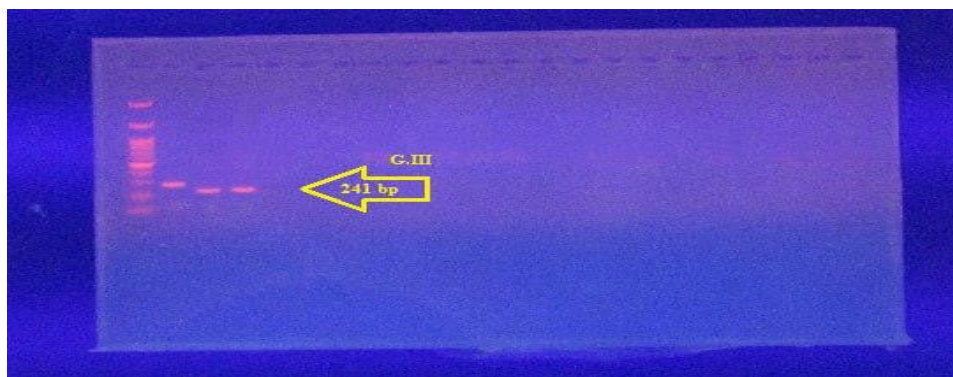


b)

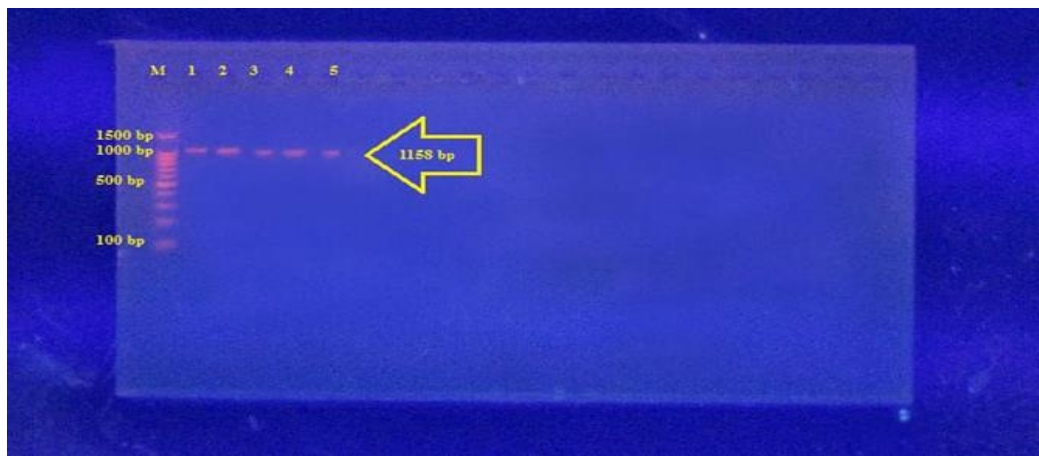


(a)

شكل (4-2): الترhill الكهربائي لتفاعل انزيم البلمرة المتسلسل (PCR product) لجين طفيلي المقوسات الكوندية (gene *Toxoplasma gondii SAG1*) على هلام الاكاروز بفرق جهد 60v لمدة نصف ساعة وبحزمة (100bp-1500bp) وباستعمال صبغة بروميد الايثديوم التألفية Ethidium Bromide ذات اللون البرتقالي اذ تظهر العينات في شكل(a) حزمة HhaI enzyme for G.III 241 bp، زوج قاعدة نتروجينة وفي شكل (b) بحزمة Sau3AI enzyme for G.III 241 bp بحجم G.II product 221bp اذ تظهر المسارات دنا معزول لأنسجة النساء المصابات بسرطان الثدي الخبيث.



شكل (3-4) الترhill الكهربائي لتفاعل انزيم البلمرة المتسلسل (PCR product) لجين طفيلي المقوسات الكوندية (*Toxoplasma gondii gene SAG1*) على هلام الاكاروز بفرق جهد 60v لمدة نصف ساعة وبحزمة (100bp-1500bp) وباستعمال صبغة بروميد الايثديوم التألفية Ethidium Bromide ذات اللون البرتقالي حزمة بحجم G.III 241 bp لجين *SAG1* لجين *Sau3AI* enzyme for G.III 241 لأنسجة النساء المصابات بسرطان الثدي الخبيث اذ توضح النمط الجيني من النوع الثالث لطفيلي المقوسات الكوندية.



شكل (4-4) الترحيل الكهربائي لتفاعل انزيم البلمرة المتسلسل (PCR product) لجين طفيلي المقوسات الكوندية (*Toxoplasma gondii* SAG3 gene) على هلام الاكاروز بفرق جهد 60v وبحزمة Ethidium (100bp-1500bp) لمدة نصف ساعة وباستعمال صبغة بروميد الايثيديوم التالقية Bromide ذات اللون البرتقالي اذ تظهر العينات حزمة بحجم 1158bp زوج قاعدة نتروجينية اذ تظهر المسارات دنا معزول من انسجة النساء المصابات بسرطان الثدي الخبيث .

1-1-4: مجاميع الدراسة

حسب نتائج التحليل الاحصائي تم الكشف عن 150 امرأة مصابة بسرطان الثدي الخبيث و 50 امرأة مصابة بالورم الحميد في هذه الدراسة وكان متوسط اعمار المريضات 56 ± 25 تم تسجيل 17 امرأة مصابة بالمقوسات الكوندية في النساء المصابات بسرطان الثدي الخبيث و 2 من النساء المصابات بسرطان الثدي الحميد وحسب جدول (1-4).

جدول (4-1): مجاميع الدراسة المستعملة في الفحص الجزيئي لطفيلي المقوسات الكوندية

RR (95%CI)	OR (95%CI)	X^2 p-value	Total		مجاميع الدراسة				اختبار داء المقوسات Toxoplasma test	
			% نسبة	N العينات	النساء المصابات بالورم الحميد العدد الكلي = 50	النساء المصابات بالورم الخبيث العدد الكلي = 150	% نسبة	N العينات		
2.83 (0.68- 11.84)	3.07 (0.68- 3.77)	2.346 0.126 Ns	9.5%	19	4.0%	2	11.3%	17	العينات الموجبة للفحص داء المقوسات Toxo . +Ve	
Ref.			90.5%	181	96.0%	48	88.7%	133	العينات السالبة للفحص داء المقوسات Toxo.-Ve	

وكانَت هذه النتيجة متقاربة مع نتائج الكثير من الدراسات التي استعملت فيها تقنية تفاعل انزيم البلمرة المتسلسل للتحري على الحمض النووي DNA للطفيلي في الأنسجة الورمية الخبيثة للثدي منها دراسة Kalantari *et al.*, (2017) والتي أظهرت نتائجها وجود الحمض النووي في عينتين فقط من عينات أنسجة سرطان الثدي الورمية الخبيثة وكذلك في دراسة أجريت في محافظة النجف الأشرف أذ بينت نتائج هذه الدراسة أن عدد العينات الموجبة للاصابة بداء المقوسات الكوندية كانت 3 عينات من بين 47 عينة مأخوذة من أنسجة الثدي الورمية (الكوفي, 2020), بينما تم العثور على الحمض النووي للطفيلي في عينة واحدة فقط في الدراسة التي أجرتها Arefkhah *et al.*, (2001) وفضلاً عما تقدم فقد وجد Herbert *et al.*, (2019) الحمض النووي للطفيلي في حالتين مع سرطان الغدد الملفاوية داخل الخلايا البائية B-cell بالاضافة الى هذه الدراسات تقارب نتائج دراستنا الحالية مع دراسة اجريت في محافظة الديوانية أذ تم التحقق من أصابة 16 عينة من مريضات سرطان الثدي مصابات بداء المقوسات الكوندية بوساطة فحص تفاعل انزيم البلمرة المتسلسل PCR (Abd al-ameer, 2021).

وعليه فعلى الرغم من أن عدد العينات النسيجية التي عثر فيها على DNA الطفيلي قليلة سواء في الدراسة الحالية أم الدراسات السابقة، إلا أن الدور المحتمل لطفيلي المقوسات في إحداث السرطان أمر وارد وقابل للنقاش، وربما يعود السبب في كون عدد العينات الموجبة قليل إلى إن الكشف عن DNA الطفيلي في الأنسجة البشرية الصلبة لا سيما في كتل الأنسجة نادر جدا أو ربما لعدم وجود تقرير عن تضخيم Robert-Gangneux *et al.*, 2015 يكون هذا سبب انخفاض مستوى حساسية تضخيم PCR لـ DNA الطفيلي بغض النظر عن اعتبارات الحالة السريرية (Bastien, 2000).

بوساطة تقنية PCR يعتمد على وقت اخذ العينات بعد الإصابة الطبيعية العابرة للطفيليات (Robert) (Gangneux & Drade, 2012).

2-1-4: نسبة الإصابة بداء المقوسات وفقاً لفئات العمرية

أظهرت دراستنا الحالية أكثر الفئات العمرية المصابة بالمقوسات الكوندية $54 >$ أذتم الكشف عنها بوساطة تفاعل سلسلة البلمرة بوساطة جينات $B1$ و $SAG3$ و $SAG1$ و شملت هذه العينات انسجة الثدي المطمورة بشمع البارافين المصابة بالسرطان، وتم فحص 50 عينة من انسجة الثدي الحميدة كمجموعه سيطرة واظهرت النتائج عينتين موجبة بالإصابة بالمقوسات الكوندية، وكانت هذه النتائج مشابهة لدراسة أجريت في كركوك وتوصلت الدراسة إلى أن أعلى معدل للإصابة بداء المقوسات سجل بين النساء المصابات بسرطان الثدي ضمن الفئة العمرية 59-50 سنة بينما كان أقل معدل في الفئة العمرية 29-20 سنة ويزداد المعدل بشكل ملحوظ مع زيادة عمر المريضات،(Mahmood et al.,2019)، وكذلك اتفقت الدراسة الحالية مع دراسة أجريت في البصرة من قبل جمعة (2022).

إذ كانت أكثر الفئات المصابة تتراوح أعمارهم ما بين 56-76 ويعزى سبب ذلك إلى ضعف الجهاز المناعي والإصابة بالأمراض المزمنة وطبيعة المواد الغذائية من الأسباب المحتملة التي تزيد من خطر الإصابة بداء المقوسات الكوندية، في المقابل لم تتفق الدراسة الحالية مع كل من AL-Tameemi et al.(2018) في محافظة البصرة التي أشارت في دراستها أن أكثر الفئات العمرية المصابة كانت بنسبة أعلى في الفئات العمرية (18-24) سنة وأيضا دراسة أجريت في مصر التي أظهرت نتائجها أعلى نسبة إصابة بداء المقوسات كانت للمرضى التي تتراوح أعمارهم بين سنة 18-24 وكما موضح في الجدول (2-4).

جدول (4-2): علاقة المقوسات الكوندية مع الفئات العمرية في المريضات

p-value	النساء المصابات بالورم الحميد العدد الكلي = 50	النساء المصابات بالورم الخبيث العدد الكلي = 150	مجاميع الدراسة
0.003*	44.16 ± 13.80	No.	# Mean \pm SD
$X^2 = 22.861 < 0.001^*$	30.0%	15	سنّة 25-34
	20.0%	10	سنّة 35-44
	26.0%	13	سنّة 45-54
	24.0%	12	سنّة 54 >

4-3-1: نوع النمط الوراثي للمقوسات الكوندية في مريضات سرطان الثدي

يحتوي طيفي المقوسات على ثلاثة فئات وراثية رئيسية هي I و II و III، مع سلالات معد تركيبيها وغير نمطية تم استعمال النمط الجيني الجزيئي القائم على تفاعل البلمرة المتسلسل في عينات الأنسجة.

استعمل في الدراسة الحالية علامة SAGI لتحديد النمط الجيني للعرزلات. كان النمط الجيني III و II أكثر انتشاراً لدى النساء المصابات بسرطان الثدي ، كانت هذه النتائج مقاربة لدراسة أجريت في محافظة الديوانية أذ كان ظهور النمط الجيني الثاني والثالث أكثر شيوعاً بين مريضات سرطان الثدي المصابات بداء المقوسات الكوندية (Abd al-ameer, 2021)، أما النوع الأول من الأنماط الجينية لطيفي المقوسات الكوندية فقد أشارت إليه أكثر الدراسات تم أيجاده مشيمة النساء المجهضات كما تم ذكره من قبل (A`aiz 2000) في محافظة الديوانية اذ وجد النمط الجيني الاول في ست عينات من مشيمة النساء المجهضات، وكذلك دراسة أجراها (Rufash 2018) تم فيها اكتشاف 56% من النمط الجيني الاول و 43% من النمط الجيني الثالث في النساء المصابات بداء المقوسات الكوندية ، كذلك تقارب نتائج الدراسة الحالية مع دراسة أجريت في إيران ويعزى سبب ذلك إلى استعمال الـ PCR-RFLP- في الدراسة الحالية وهو أكثر حساسية ودقة من تفاعل سلسلة البلمرة التقليدي (Hosseini et al., 2021)، كذلك من اسباب ظهور النمط الوراثي الثاني حسب نتيجة (Howe et al. 1997) أن سلالات النوع الثاني ترتبط غالباً بداء المقوسات البشري، وتتفاوت الدراسة الحالية مع (Khan et al., 2005) في الولايات المتحدة، الذين وجدوا النمط الجيني الاول حصرياً في المرضى الذين يعانون من ضعف المناعة . حسب جدول (4_3).

جدول (4-3): النمط الوراثي للمقوسات الكوندية في مريضات سرطان الثدي

RR (95%CI)	OR (95%CI)	X^2 p-value	Total		مجموع الدراسة				النمط الوراثي	
			% %	N	النساء المصابات بالورم الحميد	النساء المصابات بتورم الخبيث	N			
1.15 (0.95- 1.41)	8.07 0.005*	4.77 0.03*	21.1%	4	0.0%	0	23.5%	4	Type II	
Ref.			78.9%	15	100.0%	2	76.5%	13	Type III	

في أوروبا والولايات المتحدة، تسود السلالات المستنسخة النموذجية (الأنواع الأول والثاني والثالث)، بينما في البرازيل يختلف النمط الجيني لـ *T.gondii* بشكل كبير، مع زيادة عدد السلالات غير النمطية. تسبب السلالات غير النمطية داء المقوسات الشديد في المرضى ذوى المناعة الطبيعية وحديثي الولادة المصابين بداء المقوسات الخلقي .(Robert-Gangneux & Belaz 2016)

4-1-4: نسبة تأثير العلاج الكيمياوي على المصابات بداء المقوسات الكوندية

بيّنت الدراسة الحالية تأثير العلاج الكيمياوي على الإصابة بالمقوسات الكوندية ولوحظ وجود فرق بين اعداد المصابات اللواتي تلقين العلاج وبين المصابات اللواتي لم يتلقين العلاج وكانت هذه النتائج مشابهة لدراسة أجريت في مصر لقياس نسبة انتشار المقوسات الكوندية بين مرضى السرطان (Malek *et al.*, 2018) , يعزى هذا إلى زيادة عدد مراحل العلاج الكيميائي (باستعمال الأدوية المثبتة للمناعة) ، والتي تضعف الجهاز المناعي للمرضى وتخفض دفاعاتهم ضد مسببات الأمراض. ترتبط الأمراض الخبيثة بخلل في المناعة الخلوية يُعرف باسم فرضية استفاد الخلايا التائية، والتي يتم تعزيزها باستعمال الأدوية المثبتة للمناعة. ويؤدي هذا إلى تطور اصابة داء المقوسات وعدم قدرة الجهاز المناعي على التحكم في عدوى مسببات الأمراض داخل الخلايا والأورام (Wassef & Abdel-malek.2019)، حسب الجدول (4-4).

جدول (4-4): تأثير العلاج الكيمياوي على المصابات بداء المقوسات الكوندية

OR (95%CI)	X^2 p-value	المجموع الكلي Total		اختبار داء المقوسات Toxoplasma test				تأثير العلاج	
				العينات السالبة لفحص داء المقوسات Toxo . -Ve		العينات الموجبة لفحص داء المقوسات Toxo . + Ve			
		%	N	%	N	%	N		
3.30 (1.02- 10.64)	4.358 0.037*	52.7%	79	49.6%	66	76.5%	13	مع العلاج	
Ref.		47.3%	71	50.4%	67	23.5%	4	بدون علاج	
		100.0%	150	100.0%	133	100.0%	17	Total	

وقد أبرزت الزيادة في حالات اضطرابات الجهاز المناعي واستعمال الأدوية المثبتة للمناعة أهمية داء المقوسات باعتباره عدوى انتهازية قد تؤدي حتى إلى الموت (Tait *et al.*, 2009)، وعلى الرغم من هذا الدور المحوري لداء المقوسات، إلا أنه لم يحظ بالاهتمام الذي يستحقه. وفي الوقت الحاضر، لا يزال داء المقوسات يشكل تهديداً خطيراً للصحة العامة.

4-1-5: علاقة داء المقوسات الكوندية مع نوع سرطان الثدي

أوضحت الدراسة الحالية أعلى نسبة إصابة بطفيلي داء المقوسات الكوندية كما موضح في الجدول أذ بيّنت النتائج أن جميع أنواع سرطان الثدي معرضة للإصابة بداء المقوسات الكوندية ولا يوجد نوع محدد للإصابة وظهرت النتائج أكثر نوع تصاب به النساء، هو سرطان الاقنية الغازى (IDC) Invasive Ductal Carcinoma كما موضح في جدول (4-5). وذلك لأنه أكثر الأنواع شيوعاً في العراق ويمثل 77.2% من إجمالي الحالات التي تم تشخيصها، ويكون النمو الخبيث للخلايا الورمية قد اخترقت جدار القناة ودخلت للسدى (Makki, 2015)، أما

النتائج والمناقشةResults &Discussion

مجهرياً فيظهر الورم على شكل حبال أو صفيحة كبيرة من الخلايا النسجية التي تخلل بشكل شاذ وغير منظم بين حزم الكولاجين الكثيفة (American cancer society,2010). كما موضح في جدول (5-4).

جدول(5-4) علاقة داء المقوسات الكوندية مع نوع سرطان الثدي

OR (95%CI)	X^2 p-value	المجموع الكلي Total		اختبار داء المقوسات Toxoplasma test				نوع السرطان
				العينات السالبة لفحص داء Toxo . -Ve		العينات الموجبة لفحص داء المقوسات Toxo . + Ve		
		%	N	%	N	%	N	
0.89 (0.103- 7.70)	0.011 0.915	94.7%	142	94.7%	126	94.1%	16	سرطان الاقنية الغازى
Ref.		5.3%	8	5.3%	7	5.9%	1	سرطان الفصيسي الغازى
		100.0%	150	100.0%	133	100.0%	17	Total

6-1-4: علاقة المقوسات الكوندية مع درجة سرطان الثدي

أشارت الدراسة الحالية إلى درجات سرطان الثدي في مريضات المقوسات الكوندية وبينت النتائج الاحصائية اي درجة سرطان هي معرضة للإصابة بداء المقوسات الكوندية كما موضح في جدول (6-4).

جدول (6-4): علاقة المقوسات الكوندية مع درجة سرطان الثدي

OR (95%CI)	X^2 p-value	المجموع الكلي Total		اختبار داء المقوسات Toxoplasma test				درجة السرطان
				العينات السالبة لفحص داء Toxo . -Ve		العينات الموجبة لفحص داء المقوسات Toxo . + Ve		
		%	N	%	N	%	N	
0.89 (0.103- 7.70)	0.011 0.915	6.0%	9	6.8%	9	0.0%	0	الدرجة الاولى
Ref.		54.7%	82	54.9%	73	52.9%	9	الدرجة الثانية
		39.3%	59	38.3%	51	47.1%	8	الدرجة الثالثة
		100.0%	150	100.0%	133	100.0%	17	Total

أظهرت نتائج الدراسة الحالية عدم وجود فروقات معنوية بين النساء المصابات بسرطان الثدي الحميد ومربيضات سرطان الثدي الخبيث بنسبة الإصابة بداء المقوسات ولمعرفة العلاقة بين السرطان وطفيلي المقوسات يجب معرفة فيما إذا كانت الإصابة حادة أو مزمنة في الشخص المصاب بسرطان الثدي، أن الإصابة بالطفيلي تساهم في تطوير بعض أنواع السرطان، أن مرضى السرطان هم مرضى مثبطين مناعياً لذلك يعتقد بأن السرطان يمهد الطريق للإصابة بداء المقوسات (Yuan *et al.*, 2007). ويمكن أن يكون العكس صحيح إذ كشفت بعض البحوث ارتباطات بين سرطان الدماغ والإصابة بطفيلي المقوسات الكوندية في الإنسان إذ أنه من المتوقع أن طفيلي المقوسات يزيد من خطر الإصابة بسرطان الدماغ كونه يعيش لأوقات طويلة بشكل متكيّس (encyst) في الدماغ مسبباً التهاب وتثبيط الموت الخلوي المبرمج للخلايا إذ بينت الدراسة التي أجرتها Thomas وأخرون أن الإصابة بطفيلي المقوسات تزيد من احتمالية الإصابة بسرطان الدماغ بنسبة 1.8 مرة وأشار Thomas *et al.*, (2012) أن طفيلي المقوسات مسبب مرضي محتمل للسرطان في الإنسان oncogenic pathogen. بينت دراسة Thirugnanam *et al.*, (2013) أن طفيلي المقوسات له القدرة على تحويل أو تعديل (modulate) الأحماض النووية microRNAs للمضيق وبالتالي يعزز تطور سرطان الدماغ إذ تثبت الفرضية أن الحمض النووي الريبيوزي المعدل modified micro RNA يلعب دوراً في بدء وتطوير السرطنة في الدماغ (carcinogenesis Brain)، من المحتمل أن نتائج الإصابة تعتمد على السلالة الطفيليّة ، نوع الخلية المضيفة طريقة الإصابة وتعبير الحمض النووي الريبيوزي وأنماط الخلية المضيفة وبروتينات الطفيلي، وفي المقابل، فإن للمقوسة الكوندية القدرة على تحويل مسارات الاشارات لخلايا المضيق والعمليات الخلوية بوساطة التدخل في ملامح التعبير الجيني للخلايا المصابة Laliberte *et al.*, (2008) التي تستجيب بدورها عن طريق الشروع بإنشاء استجابة مبرمجة لقتل الخلايا والتي تقلل حيوية وانتشار الطفيليات وجعلها عرضة للهجوم من قبل الجهاز المناعي، ومع ذلك، فقد بينت بعض الدراسات أن المقوسات الكوندية قد أنشأت العديد من الاستراتيجيات التحفيذ في برامج القتل الخلوية الخارجية والداخلية لخلايا المصابة (Sinai *et al.*, 2004).

يمكن القول بأن كلاً الطريقين أعلاه ممكن مما يعني أن مرض السرطان يزيد من احتمالية الإصابة بداء المقوسات وداء المقوسات يعمل على تطور مرض السرطان لأن كلاً المرضين مرتبطين بضعف المناعة وأيضاً مرتبان بوجود خلل في المناعة الخلوية، لذلك يتطلب الأمر مراقبة المرضى المصابين بالسرطان لمنع حدوث عدوى جديدة أو تنشيط عدوى سابقة لتقليل العبء الحاصل على الجهاز المناعي عند مواجهة كلاً المرضين (الجمعة, 2022).

تعد الاختبارات المصلية واحدة من تقنيات التشخيص الرئيسية لداء المقوسات على الرغم من ذلك قد تفشل في كشف الإصابة بالطفيلي. وقد تفشل أيضاً في الكشف عن الطفيلي في المرضى المثبطين مناعياً

(immunocompromised patients) إذا كان مستوى الأجسام المضادة IgG أو IgM المضادة للطفيلي منخفضة في هذا النوع من المرضى (Fallahi *et al.*, 2019)، لذلك يستعمل تفاعل البلمرة المتسلسل (PCR) لحساسيته العالية في تشخيص داء المقوسات في عينات النسيج. يعد الجين *B1* من الجينات الأكثر شيوعا المستعملة في تشخيص داء المقوسات الذي يحتوي على 35 نسخة في الجينوم ويتم التعبير عنه في كلا الطورين، الطور الخضري السريع bradyzoite والطور الخضري البطيء tachyzoite (Jones *et al.*, 2010). وفقاً لدراسة حديثة، تم ربط اصابة المقوسات الكوندية بأنواع مختلفة من السرطان Al-sharefi *et al.*, (2023) ووفقاً لإحدى الدراسات، فإن 20.46% من النساء المصابات بسرطان الثدي أظهرت نتائج اختبار الأجسام المضادة للطفيلي إيجابية، وكان لدى 93.7% من هؤلاء النساء مستويات الأجسام المضادة أعلى 400 (Black & Boothroyd, 2000). وجدت دراسة حديثة معدل انتشار مصل أعلى لداء المقوسات لدى مريضات سرطان الثدي (Haghbin *et al.*, 2023).

أشار (Ghoenim *et al.*, 2009) إلى أنه قد يكون انخفاض معدل الإصابة باستعمال تفاعل السلسلة PCR مقارنة بنتائج ELISA ناتجاً عن عدم وجود الطفيلي في الدم وقت التجميع للعينات، وقد تم تحديد الطفيلي بالفعل داخل الجسم ككيس نسيجي tissue cyst، بسبب صعوبة التشخيص السريري لداء المقوسات النشط وانخفاض مستويات الأمصال لهذا النوع من المرضى يفضل دمج طريقة التشخيص المصلية مع التشخيص الجزيئي مثل تضخيم الجين *B1* في مرضي السرطان (Mechain *et al.*, 2000).

يمكن لطفيلي المقوسات الكوندية إصابة أعضاء الجسم المختلفة وانسجته وقد يسبب تحوير الخلايا المضيفة وقد يتتطور إلى سرطان.

4-2: نتائج تحليل تتبع القواعد النيتروجينية للنمط الوراثي الثاني

أوضحت نتائج التحليل الوراثي لعزلة النمط الوراثي الثاني II LC848443 كما موضح في شكل (7-4) في هذه الدراسة، تم التركيز على التحليل التطوري لطفيلي المقوسات الكوندية، وتحديداً فحص سلالة النمط الجيني II من المنطقة المحلية (LC848444) ومقارنتها بسلالات عالمية مختلفة، طفيلي المقوسات الكوندية هو مسبب مرضي مهم له آثار على الصحة العامة، مما يجعل فهم تنوعه الجيني أمراً بالغ الأهمية.

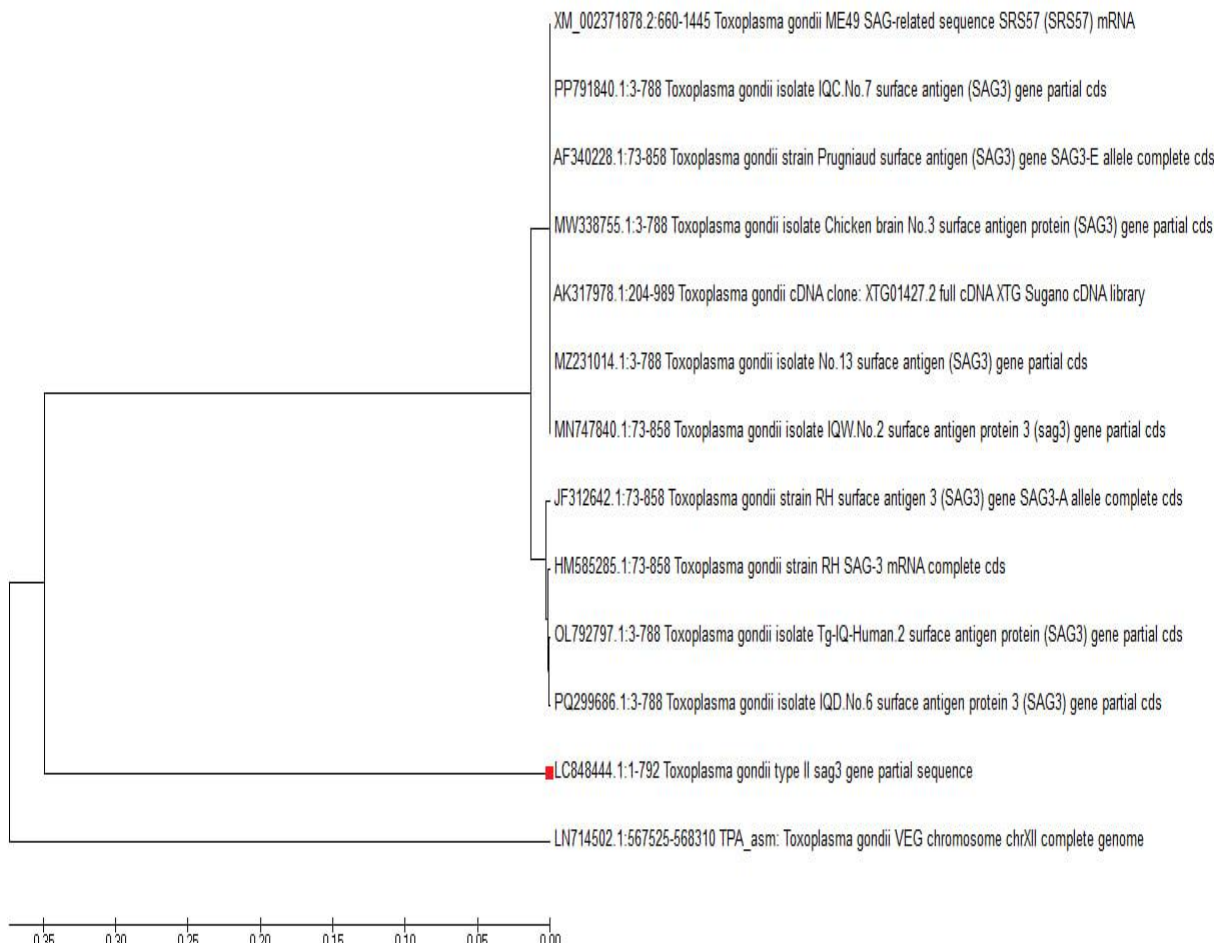
لإجراء التحليل، تم جمع السلالة المحلية واستخراج مادتها الجينية، تم استعمال برنامج MEGA لفحص التسلسل، تم القيام بمحاذاة التسلسلات مع تلك الخاصة بالسلالات العالمية، باستعمال الخوارزميات المناسبة مثل Clustal W للحصول على نتائج محاذاة مثالية، تم إنشاء الشجرة التطورية بناءً على نماذج تطورية متعددة، وتم حساب قيم التمهيد لتقييم موثوقية النتائج التي توصلنا إليها.

كشفت الشجرة التطورية الناتجة عن رؤى مثيرة للاهتمام حول العلاقات الجينية بين السلالة المحلية والسلالات العالمية والجدير بالذكر أن LC848444 تم وضعه بطريقة تسلط الضوء على أوجه التشابه والاختلاف في المسافة الجينية عند مقارنتها بسلالات مختلفة من مناطق جغرافية مختلفة. قد يشير هذا التموضع إلى سلالة مشتركة أو مسارات انتقال حديثة تستحق مزيداً من التحقيق.

في هذا التحليل التطوري لطيفي المقوسات الكوندية ، تم فحص العلاقات الجينية Aligment بين السلالة المحلية (LC848444) والسلالات العالمية المختلفة، توضح شجرة النشوء والتطور الناتجة مجموعة أحادية النمط Monogenic من السلالات، مما يشير إلى أنها تشتراك في سلف مشترك يشير موقع LC848444 إلى أنها تشكل عقدة مميزة داخل هذه الشجرة، مما يسلط الضوء على خصائصها الجينية الفريدة بينما يعكس أيضاً سلالتها التطورية.

يعمل جذر الشجرة Phylogenetic Root كنقطة مرجعية للسلالة الأصلية التي انفصلت عنها جميع السلالات المدروسة والجدير بالذكر أن وجود تعدد التقسيمات في مناطق معينة من الشجرة يشير إلى نقاط انقسمت فيها سلالات متعددة في وقت واحد، مما يشير إلى تاريخ تطوري معقد بين هذه السلالات إذ افترقت العترة المحلية مع باقي العثر العالمية Terminal Taxa .

يؤكد نمط التفرع هذا على التنوع الجيني داخل طيفي المقوسات الكوندية، مما يوضح كيف تطورت سلالات مختلفة بالتوازي أو انفصلت عن سلف مشترك Distinguished strain ، وبشكل عام يوفر الإطار التطوري الذي تم إنشاؤه رؤى قيمة حول العلاقات التطورية والاختلافات الجينية الموجودة بين سلالات طيفي المقوسات الكوندية، مما يؤكد أهمية فهم هذه الديناميكيات في سياق الصحة العامة وانتقال الأمراض (Li et al 2014).



شكل (5-4): درجات التشابه والاختلاف للعزلة LC848443 لهذه الجينات مع بيانات بنك الجينات NCBI للنوع الوراثي الثاني لطيفي المقوسات الكوندية

عند فحص الشجرة الوراثية، نجد ارتباطاً وثيقاً ملحوظاً بين السلالة المحلية (LC848444) والسلالة العالمية (LN 14502.1) من إيران ، إذ تشتراك كلتا السلالتين في جذر وعقدة مشتركة يشير هذا القرب في الشجرة إلى أنهما ربما انحرفتا عن سلف مشترك حديث، مما يشير إلى علاقة تطورية محتملة.

يؤكد وضع LC848444 أعلى من LN 14502.1 في الشجرة الوراثية على أوجه التشابه الجيني بين هاتين السلالتين، والتي قد تعكس عوامل بيئية أو عوامل مضيفة مشتركة تؤثر على تطورهما. تسلط هذه العلاقة الوثيقة الضوء على أهمية السلالات المحلية في فهم الديناميكيات الأوسع لمجموعات طيفي المقوسات الكوندية على مستوى العالم.

تبعد السلالة المحلية (LC848444) من ناحية أخرى مختلفة عن المجموعة العالمية المتبقية، والتي تضم 11 سلالة عالمية وهي (XM_002371878.2:660-1445 *Toxoplasma gondii* ME49 SAG-) related sequence SRS57 (SRS57) mRNA PP791840.1:3-788 *Toxoplasma gondii*

isolate IQC No.7 surface antigen (SAG3) gene partial cds, AF340228.1:73-858 *Toxoplasma gondii* strain Prugniaud surface antigen (SAG3) gene SAG3-E allele complete cds, MW338755.1:3-788 *Toxoplasma gondii* isolate Chicken brain No.3 surface antigen protein (SAG3) gene partial cds , AK317978.1:204-989 *Toxoplasma gondii* cDNA clone: XTG01427.2 full cDNA XTG Sugano cDNA library, MZ231014.1:3-788 *Toxoplasma gondii* isolate No. 13 surface antigen (SAG3) gene partial cds, MN747840.1:73-858 *Toxoplasma gondii* isolate IQW.No.2 surface antigen protein 3 (sag3) gene partial cds, JF312642.1:73-858 *Toxoplasma gondii* strain RH surface antigen 3 (SAG3) gene SAG3-A allele complete cds, HM585285.1:73-858 *Toxoplasma gondii* strain RH SAG-3 mRNA complete cds, OL792797.1:3-788 *Toxoplasma gondii* isolate Tg-IQ-Human 2 surface antigen protein (SAG3) gene partial cds, PQ299686.1:3-788 *Toxoplasma gondii* isolate IQD.No.6 surface antigen protein 3 (SAG3) gene partial cds . يشير هذا الفصل إلى تباعد وراثي كبير، مما يشير إلى أن السلالة المحلية ربما تطورت بشكل مستقل عن هذه السلالات العالمية.

يسلط غياب الروابط الوثيقة بين LC848444 والسلالات الأخرى الضوء على الخصائص الفريدة للعزلة المحلية، والتي قد تعكس تكيفات مع ظروف بيئية أو مضيفة محددة. يعد هذا التمايز أمراً بالغ الأهمية لفهم المشهد الجيني الأوسع لطيفي المقوسات الكوندية ويفكك على أهمية دراسة السلالات المحلية فيما يتعلق بالسلالات العالمية (Darde,2004).

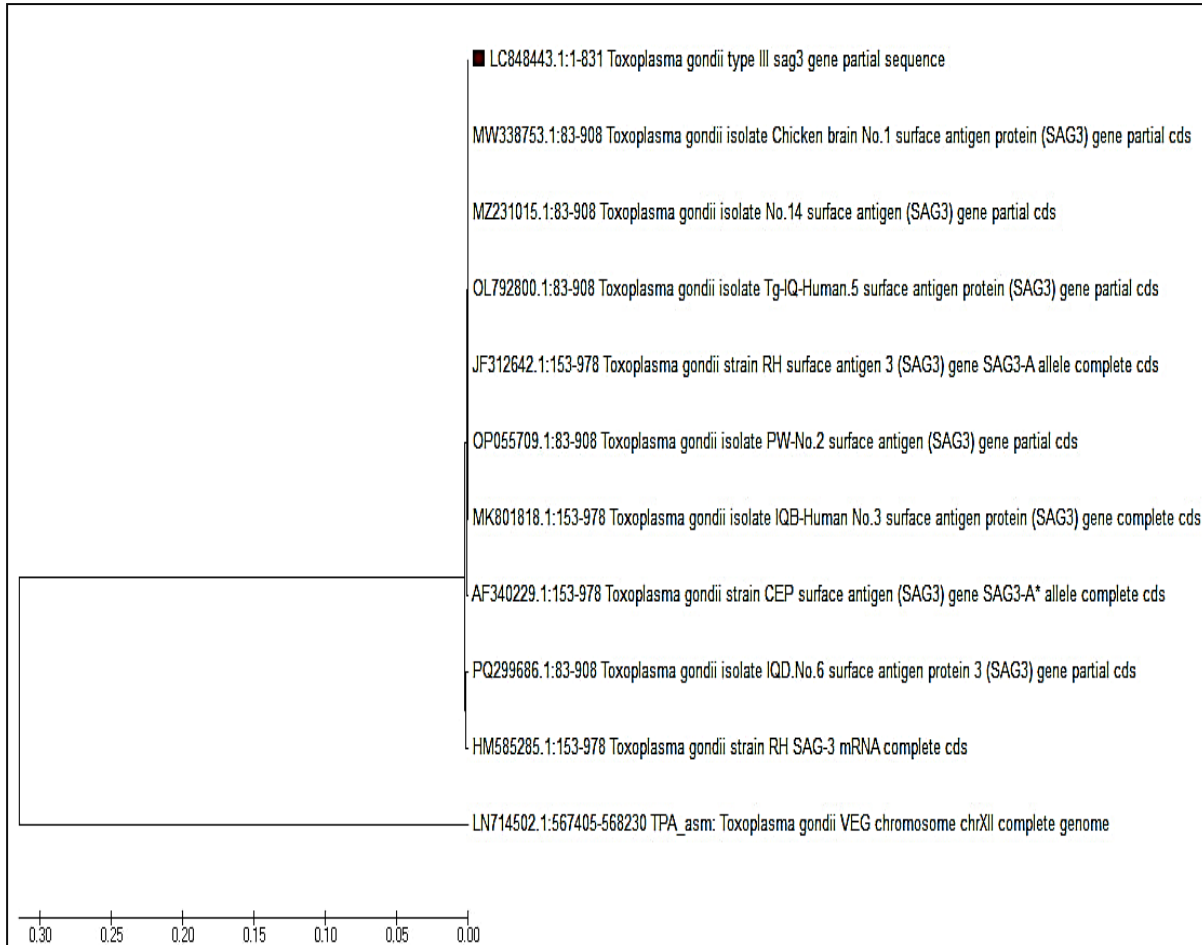
3-4: نتائج تحليل تتبع القواعد النيتروجينية للنمط الوراثي الثالث

أوضحت نتائج التحليل الوراثي لعزلة النمط الوراثي الثالث LC848444 III ، كما موضح في الشكل 8-4 ، عند فحص الشجرة التطورية باستعمال السلالة المحلية LC848443.1 (النمط الجيني الثالث لطيفي المقوسات الكوندية) ، يبدو أن هذه السلالة وثيقة الصلة بالعديد من السلالات العالمية التي تشترك في عقدة أو جذر مشترك ،تشمل السلالات التي من المرجح أن يتم تحديدها كسلالات شقيقة لـ LC848443.1 ما يلي OL7792800.1 ، MZ231015.1 Strain Pringle ، MW338753.1 Chicken brain isolate) AF340229.1 Strain ,OP055709.1 PW strain , JF312642.1 Strain RH ,Strain RH .(MK801818.1 IQB-Human strain , CEP

تُظهر هذه السلالات علاقة تطورية وثيقة مع LC848443.1، مما يشير إلى أنها ربما انحرفت عن سلف مشترك حديث قد يشير هذا الارتباط إلى عوامل بيئية أو بيولوجية مشتركة تؤثر على تطورها.

يمكن أن يوفر فهم هذه العلاقات رؤى حول التنوع الجيني لطفيلي المقوسات الكوندية ويعزز المعرفة بانقاله وضراوته عبر سلالات مختلفة، في حين يبدو أن السلالة المحلية LC848443.1 وثيقة الصلة بالعديد من السلالات العالمية، إلا أن الاختلافات الطفيفة على مستوى النوكليوتيدات - مثل نوكليوتيد واحد أو اثنين - لا تزال موجودة مع سلالات مثل PQ299686.1 (سلالة IQD) و HM585285.1 (سلالة RH). يمكن أن تكون هذه الاختلافات الطفيفة مهمة في فهم التنوع الجيني والمسارات التطورية لطفيلي المقوسات الكوندية حتى الاختلافات النوكليوتيدية الصغيرة يمكن أن تؤثر على عوامل مثل الضراوة وخصوصية المضيف وديناميكيات الانتقال، ويؤكد وجود هذه الاختلافات الطفيفة على تعقيد العلاقات التطورية داخل هذا الطفيلي، مما يسلط الضوء على أهمية الدراسات الجينومية لفهم مفصل لخصائص السلالة وتأثيراتها على الصحة العامة .(Sudan *et al*., 2015)

تُظهر السلالة العراقية المحلية (LC848443.1) من ناحية أخرى تباعداً كبيراً عن السلالة الإيرانية العالمية (LN714502)، كما يتضح من موقعها في عقد مختلفة في الشجرة التطورية. يشير هذا الانفصال الواضح إلى أن السلالة العراقية تطورت بشكل مستقل عن السلالة الإيرانية، مما يعكس خصائص وراثية مميزة وربما تكيفات بيئية أو مضيفة مختلفة، يسلط هذا التباعد الضوء على تعقيد مجموعات طفيلي المقوسات الكوندية ويؤكد على أهمية دراسة السلالات المحلية لفهم سماتها الفريدة وأهميتها الوبائية، يمكن أن توفر الاختلافات بين هذه السلالات رؤى قيمة حول ديناميكيات الانتقال وعوامل الضراوة المحتملة المرتبطة بالمتغيرات المحلية والإقليمية لطفيلي .(Sudan *et al*., 2012)

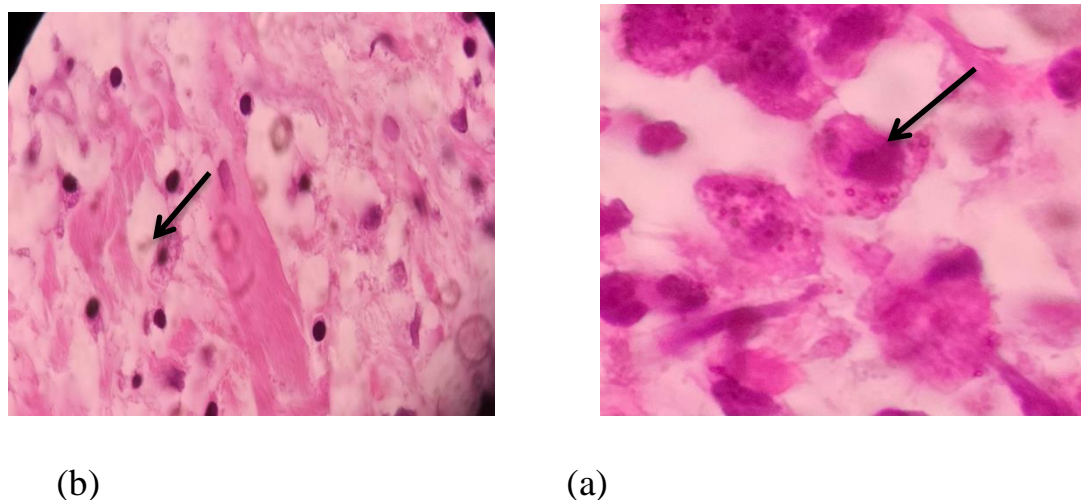


شكل (4-6) درجات التشابه والاختلاف للعزلة LC848444 لهذه الجينات مع بيانات بنك الجينات NCBI للنظام الوراثي الثالث لطفيلى المقوسات الكوندية

4-4: الفحص النسيجي لطفيلى المقوسات الكوندية في انسجة سرطان الثدي

لم يتم ملاحظة أي تغيرات نسجية في المقاطع المفحوصة كما موضح في صورة (4-4)، ولكن أشارت دراسة أجريت في واسط بوساطة Saeed & Majali,(2023) إذ بينت هذه الدراسة الفحص النسيجي والتغيرات النسجية في سرطان الرحم والبروستاتا المصابة بداء المقوسات الكوندية، ووضحت الدراسة أن الإصابة بداء المقوسات الكوندية وجوده داخل الخلايا له دور في تطور أنواع مختلفة من التغيرات النسجية

المرضية والتي تتحول في المستقبل إلى سرطانات محتملة في الأعضاء المتضررة من الجسم.



شكل (7-4) (a) مقطع نسيجي لسرطان الثدي مصاب بطفيلي المقوسات الكوندية (→) داخل الخلايا البلعومية Macrophage cells، (b) مقطع نسيجي لسرطان ثدي غير مصاب بطفيلي المقوسات الكوندية .(1000x H&E).

تشير بعض الدراسات إلى أن النظام الهرموني في الأنسجة المصابة بطفيلي المقوسات الكوندية يلعب دوراً كبيراً في استقرار الطفيلي من خلال التأثير على النشاط النسيجي للطفيل وقدرته على التكاثر الطفيلي، بواسطة العيش في أنسجة المضيف، لاستعمال هذه الخلايا لصالحه. من خلال تأثيرها على جهاز المناعة في نظام الأشخاص المصابين بداء المقوسات، فإن الطفيلي لديه أيضاً القدرة على استغلال هذه التغييرات للهروب من جهاز المناعة، وذلك بواسطة ارتباط هذه الهرمونات بمستقبلات خاصة لدى الطفيلي، مما يؤدي إلى منع تأثير الأجسام المضادة التي يفرزها المضيف ضد الطفيلي (Aabasian *et al.*, 2016)، قد تكون الاستجابة المناعية لداء المقوسات الكوندية مسؤولةً في التغيرات النسجية والعصبية (Rivest, 2009). تم الكشف عن التوزيع غير المنتظم للنخر داخل الأنسجة المصابة بواسطة طفيلي المقوسات الكوندية (Evans *et al.*, 2014)، وهناك تأكيد حقيقي لوجود الطفيلي في الخلايا العصبية (Cabral *et al.*, 2016).

تسبب الإصابة بطفيلي المقوسات الكوندية في أنسجة البروستاتا في تلف الأنسجة لإنتاجه للعديد من الحركيات الخلوية والمواد الكيميائية الالتهابية التي تعزز تكوين الالتهاب في الدم المحيط بالأوعية الدموية والخلايا المناعية والأنسجة الليفية مما يؤدي إلى تضخم وتكاثر الأنسجة، والنخر الناتج في الأنسجة هو نتيجة غزو مرحلة التكاثر السريع للطفيلي إلى خلايا الجسم، أذ يتم إضافتها إلى الداخل، مما يؤدي إلى تكوين فراغات كبيرة في الأنسجة نتيجة تكوينها الخراجات من الطفيلي، طفيلي الأنسجة يؤدي تلف هذه الأنسجة إلى موت الخلايا بواسطة الإفرازات والسموم المنتجة عن طريق طفيلي المقوسات الكوندية مما يؤدي إلى التشوهات أو اضطرابات في الخلايا التي تشكل الرابع الأول من النسيج (Mushattat *et al.*, 2020). تم

العثور على طفيلي المقوسات في طور التكاثر السريع في أنسجة الرحم أيضًا، ويعتقد أنه قدرة الطفيلي على الهجرة عبر عضلات بطانة الرحم وغزو أنسجتها هو ما يسبب تجمع الأوعية الدموية لتصبح مزدحمة، إلى جانب وجود القدرة على إطلاق بعض المواد البروتينية التي تحفر الصفائح الدموية وكذلك الخلايا البطانية من خلال إفراز بعض الحركيات الكيميائية، وتتوزع في جميع أنحاء الدم، هذا يزيد الأوعية الدموية ويساعد في تجمع والتصاق الصفائح الدموية ومكونات الدم على الجدران ونفاذية الأوعية الدموية، والتي تسمح لطور التكاثر السريع بالدخول إلى الأنسجة والاستقرار في العضو .(Bayat *et al.*,2013)

الفصل الخامس

الاستنتاجات والتوصيات

Conclusions &

Recommendations

5- الاستنتاجات والتوصيات Conclusions & Recommendations

1-5 الاستنتاجات Conclusions

- 1- بلغت نسبة الإصابة بداء المقوسات الكوندية 11.3% لدى النساء المصابات بسرطان الثدي.
- 2- أعلى نسب للإصابة بداء المقوسات كانت في الفئة العمرية >56.
- 3- الأنماط الوراثية الأكثر ظهوراً لطفيلي داء المقوسات هو النمط الثاني والثالث في المصابات بسرطان الثدي.
- 4- وجود علاقة طردية بين العلاج الكيميائي ونسبة الإصابة بطفيلي المقوسات الكوندية.
- 5- تم تسجيل العزلة المحلية ذات الرقم التسلسلي LC848443 للنمط الجيني الثاني لطفيلي المقوسات الكوندية والعزلة المحلية للنمط الجيني الثالث ذات الرقم التسلسلي NCBI LC848444 في بيانات بنك الجينات.

2-5 التوصيات Recommendations

- 1- استعمال اختبار (IgG IgM) ELISA لمعرفة فيما إذا كانت الإصابة للمريضات حادة أو مزمنة بداء المقوسات لحساسيتها و خصوصيتها العالية وكذلك لسهولة وسرعة الاستعمال.
- 2- البدء ببرامج التثقيف الصحي حول طرق انتقال الإصابة والوقاية منها.
- 3- اجراء دراسات معمقة على سرطانات أرى مثل سرطان الدم، الدماغ، الرحم، البروستات وغيرها من أنواع السرطانات والتي لم يسمح الوقت بدراستها وإيجاد علاقة الإصابة بطفيلي المقوسات الكوندية بتلك السرطانات.
- 4- دراسة الآليات الكيميائية والحيوية والمناعية التي تلعب دورا في حدوث الإصابة بالطفيلي ودورها في حدوث تكاثر الخلايا السرطانية.
- 5- توعية المريضات المصابة بسرطان الثدي بخطورة المرض في حالة حصول ضعف مناعي شديد.
- 6- لكون طفيلي المقوسات الكوندية انتهازي فيجب أن يقترن فحص الطفيلي مع كل حالة سرطانية.

المصادر

References

المصادر

المصادر العربية

شمس الضحى عيسى جعفر جمعة. (2022). دراسة مصلية وجزيئية لطيفي المقوسات الكوندية في المرضى ضعيفي المناعة والمصابين بالسرطان في محافظة البصرة. رسالة ماجستير - كلية التربية للعلوم الصرفة - جامعة البصرة العراق.

عليه كريم كنش الكوفي. (2020). العلاقة بين مرض المقوسات وسرطان الثدي والكشف عن بعض المؤشرات المناعية والهرمونية عند النساء في محافظة النجف الأشرف. رسالة ماجستير _ كلية التربية للبنات _ جامعة الكوفة العراق.

المصادر الأجنبية

A'aiz, N. N. (2000). Genotyping analysis to determine the lineages types of *Toxoplasma gondii* with study of autoantibodies production. Ph. D. Thesis. college of science, Kuffa university, 200 pp.

Aabasian, L., Shirbazou, S., Shamsi, M., Damghani, S., & Delpisheh, A. (2016). Hormonal changes in women with breast cancer infected with *Toxoplasma gondii*.

Addo, S. O., Asare, T. O., Arthur, C., Amoateng, K., Addo, K., & Larbi, J. A. (2023). *Toxoplasma gondii* among pregnant women attending antenatal care in a district hospital in Ghana. *Public Health Challenges*, 2(2), e82.

Ahmad Pour, E, Daryani, A, Sharifi, M.; Sarui, S.; Aarabi, Mizan; A Rahimi, T & shokri, A. (2015). Toxoplasmosis in Immunocompromised patients in Iran a systematic review & meta-analysis. *J.I. Develop Count*,8(12):1503-150.

Ajzenberg, D. (2011). Unresolved questions about the most successful known parasite (Expert Reviews). *Expert Review of Anti-infective Therapy*.171-169:(2) 9.

Ajzenberg, D., Banuls, A. L., Su, C., Dumetre, A., Demar, M., Carme, B., & Dardé, M. L. (2004). Genetic diversity, clonality & sexuality in *Toxoplasma gondii*. *International journal for parasitology*, 34(10), 1185-1196.

Ajzenberg, D., Yera, H., Marty, P., Paris, L., Dalle, F., Menotti, J., ... & Villena, I. (2009). Genotype of 88 *Toxoplasma gondii* isolates associated with toxoplasmosis in immunocompromised patients & correlation with clinical findings. *The Journal of infectious diseases*, 199(8), 1155-1167.

AL-Gabbar, S. A. (2016). Seroprevalence Determination of Toxoplasmosis among Cancer Patients M.Sc. Thesis University of Diyala, College- of Education of Pure Science.135p.

Ali, H. Z., & Al-Warid, H. S. (2021). Changes in Serum Levels of Lipid Profile Parameters & Proteins in *Toxoplasma gondii* Seropositive Patients. *Iraqi Journal of Science*, 801-810.

Alkardhi, I. K., Masmoudi, H., Muhammed, H. A., & Sellami, H. (2023). Immunological & Genotyping Study of Toxoplasma Gondi & Its Relationship with Toll Like Receptor 4 “TLR4” Polymorphism in Aborted Women. *The Egyptian Journal of Hospital Medicine*, 90(2), 3338-3345.

Al-Sharefi, M. R., Mahdi, A. A., Alsaegh, A. A. R., Abed, H. A., Al-Ghazali, H. R., & Mahdi, R. A. (2023). Study about the association between toxoplasma & breast cancer in Najaf During 2020. *Cardiometry*, (26), 221-226.

Al-Tameemi, I. A., Abdullah, B. H., & Raisan, S. J. (2018). SEROPREVALENCE OF *TOXOPLASMA GONDII* AMONG CANCER PATIENTS IN BASRAH PROVINCE/IRAQ.

Al-Tamemmi, I. A., Abdullah, B. H., & Raisan, S. J. (2019). MOLECULAR DIAGNOSIS FOR SURFACE ANTIGENS GENES (SAG1, SAG2, & SAG3) OF TOXOPLASMOSIS IN BASRAH PROVINCE-IRAQ. *European Journal of Biomedical*, 6(1), 99-104.

Al-Toban, H. A., Al-Marsomy, H. D., Al-Tameemi, W. F., Al-Obaidi, A. B., Mohammed, M. A., Al-Saeed, R. M., & Al-Shemary, I. K. (2019). Molecular detection of *Toxoplasma gondii* in a sample of Iraqi patients with

acute leukemia & stem cell transplantation. *Iraqi Journal of Hematology*, 8(1), 38-44.

Alves, C. M. O. S., Silva, D. A. O., Azzolini, A. E. C. S., Marzocchi-Machado, C. M., Lucisano-Valim, Y. M., Roque-Barreira, M. C., & Mineo, J. R. (2013). Galectin-3 is essential for reactive oxygen species production by peritoneal neutrophils from mice infected with a virulent strain of *Toxoplasma gondii*. *Parasitology*, 140(2), 210-219.

Alwan, N.; (2010). Breast cancer: demographic characteristics & clinico pathological presentation of patients in Iraq/ Cancer du sein: Caracteristiques demographiques des patients et prezentation clinico pathologique en Iraq. East. *Mediterr Health J.*, 16(11): 1159.

Arefkhah, N., Hosseini, S. A., Karimzade, R., Moshfe, A., Hadinia, F., Larki, R. A., ... & Hadinia, A. (2019). Seroprevalence & risk factors of *Toxoplasma gondii* infection among cancer & hemodialysis patients in southwest Iran. *Clinical Epidemiology & Global Health*, 7(4), 596-599.

Attias, M., Teixeira, D. E., Benchimol, M., Vommaro, R. C., Crepaldi, P. H., & De Souza, W. (2020). The life-cycle of *Toxoplasma gondii* reviewed using animations. *Parasites & vectors*, 13, 1-13.

Bajwa, A. A., Islam, S., Rashid, I., Ashraf, K., Akbar, H., & Shehzad, W. (2014). Toxoplasmosis a global threat to all vertebrates: trends in diagnostic methods. *JAPS: Journal of Animal & Plant Sciences*, 24(3).

Bancroft, J. D., & Gamble, M. (Eds.). (2008). *Theory & practice of histological techniques*. Elsevier health sciences.

B&o, H., Lee, Y., Sakaguchi, N., Pradipta, A., Ma, J. S., Tanaka, S., ... & Yamamoto, M. (2018). Inducible nitric oxide synthase is a key host factor for *Toxoplasma* GRA15-dependent disruption of the gamma interferon-induced antiparasitic human response. *MBio*, 9(5), 10-1128.

- Bastien, P. (2002).** Molecular diagnosis of toxoplasmosis. Transactions of the Royal society of Tropical medicine & hygiene, 96(Supplement_1), S205-S215.
- Bayat, D. P., Zahra, E., & Saeedeh, S. (2013).** Toxoplasmosis: Experimental Vaginal Infection in NMRI Mice & Its Effect on Uterin, Placenta & Fetus Tissues. 15(7):595-9.
- Behzad-Behbahani, A., Klapper, P. E., Vallely, P. J., Cleator, G. M., & Khoo, S. H. (2004).** Detection of BK virus & JC virus DNA in urine samples from immunocompromised (HIV-infected) & immunocompetent (HIV-non-infected) patients using polymerase chain reaction & microplate hybridisation. Journal of clinical virology, 29(4), 224-229.
- Black, M. W., & Boothroyd, J. C. (2000).** Lytic cycle of *Toxoplasma gondii*. Microbiology & molecular biology reviews, 64(3), 607-623.
- Blader, I. J., Coleman, B. I., Chen, C. T., & Gubbels, M. J. (2015).** Lytic cycle of *Toxoplasma gondii*: 15 years later. Annual review of microbiology, 69, 463-485.
- Bray, F., Ferlay, J., Soerjomataram, I., Siegel, R. L., Torre, L. A., & Jemal, A. (2018).** Global cancer statistics 2018: GLOBOCAN estimates of incidence & mortality worldwide for 36 cancers in 185 countries. CA: a cancer journal for clinicians, 68(6), 394-424.
- Burg, J. L., Grover, C. M., Pouletty, P., & Boothroyd, J. (1989).** Direct & sensitive detection of a pathogenic protozoan, *Toxoplasma gondii*, by polymerase chain reaction. Journal of clinical microbiology, 27(8), 1787-1792.
- Cabral, C. M., Tuladhar, S., Dietrich, H. K., Nguyen, E., MacDonald, W. R., Trivedi, T., ... & Koshy, A. A. (2016).** Neurons are the primary target cell for the brain-tropic intracellular parasite *Toxoplasma gondii*. PLoS pathogens, 12(2), e1005447.

- Cardozo, O.; Sucre, M.M. & Godoy, L. (2018).** Toxoplasmosis ocular: Frecuencia y características clínicas en un consultorio de oftalmología pediátrica. *Pediatria* : Organo Oficial de la Sociedad Paraguaya de Pediatría, 45(3): 223-228
- Cenci-Goga, B. T., Rossitto, P. V., Sechi, P., McCrindle, C. M., & Cullor, J. S. (2011).** Toxoplasma in animals, food, & humans: an old parasite of new concern. *Foodborne Pathogens & Disease*, 8(7), 751-762.
- Charifa, A., Walther, Z., Salem, R. R., & Jain, D. (2019).** Undifferentiated carcinoma with osteoclast-like giant cells of the pancreas arising from an intraductal papillary mucinous neoplasm. *Human Pathology: Case Reports*, 15, 95-98.
- Contini, C., Cultrera, R., Seraceni, S., Segala, D., Romani, R., Fainardi, E., ... & Delia, S. (2002).** The role of stage-specific oligonucleotide primers in providing effective laboratory support for the molecular diagnosis of reactivated *Toxoplasma gondii* encephalitis in patients with AIDS. *Journal of medical microbiology*, 51(10), 879-890.
- Dardé, M. L. (2004).** Genetic analysis of the diversity in *Toxoplasma gondii*. *Annali dell'Istituto superiore di sanita*, 40(1), 57-63.
- Dardè, M. L.; Ajzenberg, D. & Smith, J. (2014).** Population Structure & epidemiology of Toxoplasma Gondii In: *Toxoplasma gondii: The Model Apicomplexan: Perspectives & Methods*, Edited By Louis M. Weiss & Kami Kim, Second edition,, Lonson, Elsevier Ltd., pp. 61--97.
- Del Brutto, O. H., Dolezal, M., Castillo, P. R., & García, H. H. (2000).** Neurocysticercosis & oncogenesis. *Archives of Medical Research*, 31(2), 151-155.
- Delgado, I. L., Zúquete, S., Santos, D., Basto, A. P., Leitão, A., & Nolasco, S. (2022).** The apicomplexan parasite *Toxoplasma gondii*. *Encyclopedia*, 2(1), 189-211 .
- Delhaes, L., Yera, H., Ache, S., Tsatsaris, V., & Houfflin-Debarge, V. (2013).** Contribution of molecular diagnosis to congenital toxoplasmosis. *Diagnostic Microbiology & Infectious Disease*, 76(2), 244-247.

Desmonts, G., Remington, J.S., (1980). Direct agglutination test for diagnosis of Toxoplasma infection: Method for increasing sensitivity & specificity. *J. Clin. Microbiol.* 11, 562–568.

Dou, Z., McGovern, O. L., Di Cristina, M., & Carruthers, V. B. (2014). *Toxoplasma gondii* ingests & digests host cytosolic proteins. *MBio*, 5(4), 10-1128.

Dubey, J. P. (2002). Tachyzoite-induced life cycle of *Toxoplasma gondii* in cats. *Journal of Parasitology*, 88(4), 713-717.

Dubey, J. P. (2004). Toxoplasmosis—a waterborne zoonosis. *Veterinary parasitology*, 126(1-2), 57-72.

Dubey, J. P. (2009). History of the discovery of the life cycle of *Toxoplasma gondii*. *International journal for parasitology*, 39(8), 877-882.

Dubey, J. P. (2022). Toxoplasmosis of animals & humans. CRC press. 3rd edn., 525 pp.

Dubey, J. P., Hemphill, A., Calero-Bernal, R., & Schares, G. (2017). *Neosporosis in animals*. CRC Press.

Dubey, J. P., Sundar, N., Gennari, S. M., Minervino, A. H. H., Farias, N. D. R., Ruas, J. L., ... & Su, C. (2007). Biologic & genetic comparison of *Toxoplasma gondii* isolates in free-range chickens from the northern Pará state & the southern state Rio Grande do Sul, Brazil revealed highly diverse & distinct parasite populations. *Veterinary parasitology*, 143(2), 182-188.

Dubey, J.P. (2010) .Toxoplasmosis of animals & humans, second edition. Boca Raton: CRC Press. 313 p.

Dubey, J.P.; Velmurugan, G.V.; Rajendran, C.; Yabsley, M.J.; Thomas, N. Beckmen, K.B.; Sinnett, D.; Ruid, D.; Hart, J.; Fair, P.A.; McFee, W.E.; Shearn Bochsler, V.; Kwok, O.C.H.; Ferreira,L.R.; Choudhary, S.; Faria, E.B.; Zhou, H.; Felix,T.A. & Su,C. (2011). Genetic characterization of *Toxoplasma gondii* in wildlife from North America revealed widespread &

high prevalence of the fourth clonal type. *International Journal for Parasitology*. (41):1139–1147.

Ducloux-Lebon, B., Brazier, F., Tamarit, C., Sabbagh, C., Fumery, M., & Chatelain, D. (2022, June). Rectal leiomyosarcoma, a rare malignant tumor diagnosed in ulcerative colitis. In *Annales de Pathologie* (Vol. 43, No. 1, pp. 29-33).

Ellis, H., & Mahadevan, V. (2013). Anatomy & physiology of the breast. *Surgery (Oxford)*, 31(1), 11-14.

Ellis, H., & Mahadevan, V. (2013). Anatomy & physiology of the breast. *Surgery (Oxford)*, 31(1), 11-14.

EL-Wakil, H. S., Kamel, N. M., & Mahmoud, M. S. (2002). A preliminary study on the relationship between Trichomonas vaginalis & cervical cancer in Egyptian women. *Journal of the Egyptian Society of Parasitology*, 32(1), 167-178.

Evans, A. K., Strassmann, P. S., Lee, I. P., & Sapolsky, R. M. (2014). Patterns of *Toxoplasma gondii* cyst distribution in the forebrain associate with individual variation in predator odor avoidance & anxiety-related behavior in male Long-Evans rats. *Brain, behavior, & immunity*, 37, 122-133.

Fallah, M., Rabiee, S., Matini, M., & Taherkhani, H. (2008). Seroepidemiology of toxoplasmosis in primigravida women in Hamadan, Islamic Republic of Iran, 2004. *EMHJ-Eastern Mediterranean Health Journal*, 14 (1), 163-171, 2008.

Fallahi, S. H., Kazemi, B., B&ehpour, M., Lasjerdi, Z., Taghipour, N., Zebardast, N., ... & Ebrahimzadeh, F. (2014). Comparison of the RE & B1 gene for detection of *Toxoplasma gondii* infection in children with cancer. *Parasitology international*, 63(1), 37-41.

Ferguson, D. J. (2009). *Toxoplasma gondii*: 1908-2008, homage to Nicolle, Manceaux & Splendore. *Memorias do Instituto Oswaldo Cruz*, 104, 133-148.

Ferguson, D. J., & Dubremetz, J. F. (2014). The ultrastructure of *Toxoplasma gondii*. *Toxoplasma gondii*, 19-59.

- Ferreira, A. D.M.; Vitor, R.W.; Gazzinelli, R.T. & Melo, M.N. (2006).** Genetic Analysis of natural recombinant Brazilian *Toxoplasma gondii* strains by multilocus PCR-RFLP. journal Infection, Genetics & Evolution.(6): 22–31.
- Flegr, J.; Pr&ota J.; Sovic kova, M. & Israili, Z.H. (2014).** Toxolasmosis a global threat. Correlation of latent toxoplasmosis with specific disease burden in a set of 88 countries. PLOS ONE 9: e90203 .
- Fontes, A.A.; Carvalho, S.A.D.S.; &rade, G.M.Q.D.; Carellos, E.V.; Romanelli, R.C. & Resende, L.M.D. (2019).** Study of brainstem auditory evoked potentials in early diagnosis of congenital Toxoplasmosis. Brazilian J.
- Frénal, K., Dubremetz, J. F., Lebrun, M., & Soldati-Favre, D. (2017).** Gliding motility powers invasion & egress in Apicomplexa. Nature Reviews Microbiology, 15(11), 645-660.
- Gashout, A., Amro, A., Erhuma, M., Al-Dwibe, H., Elmaihub, E., Babba, H., ... & Abudher, A. (2016).** Molecular diagnosis of *Toxoplasma gondii* infection in Libya. BMC infectious diseases, 16, 1-8 .
- Ghasemian , M.; Maraghi , S.; Saki ,J. & Pedram , M. (2007)** Determination of antibodies (IgG , IgM) against *Toxoplasma gondii* in patients cancer .J. Iran Parasitol, 2(4)2:1-6.
- Ghoneim, N. S. S., Hassanain, N., Zeedan, G., Soliman, Y., & Abdalhamed, A. (2009).** Detection of genomic *Toxoplasma gondii* DNA & anti-Toxoplasma antibodies in high risk women & contact animals. Global Veterinaria, 3(5), 395-400.
- Ghosh, S. (2018).** Paniker's textbook of medical parasitology. 8th edn., Jaypee Brothers Medical publ., India: 256pp.
- Ghosh, S., & Basu, R. N. (2018).** Multifunctional nanostructured electrocatalysts for energy conversion & storage: current status & perspectives. *Nanoscale*, 10(24), 11241-11280.

- Gillespie, S. H., & Pearson, R. D. (Eds.). (2001).** Principles & practice of *clinical parasitology* (Vol. 10, pp. 214-241). Toronto: Wiley.
- Giraudoux, P., Craig, P. S., Delattre, P., Bao, G., Bartholomot, B., Harraga, S., ... & Vuitton, D. A. (2003).** Interactions between landscape changes & host communities can regulate *Echinococcus multilocularis* transmission. *Parasitology*, 127(S1), S121-S131
- Gold, D. A., Kaplan, A. D., Lis, A., Bett, G. C., Rosowski, E. E., Cirelli, K. M., ... & Saeij, J. P. (2015).** The *Toxoplasma* dense granule proteins GRA17 & GRA23 mediate the movement of small molecules between the host & the parasitophorous vacuole. *Cell host & microbe*, 17(5), 642-652.
- Gomes, C. P., Fernandes, D. E., Casimiro, F., Da Mata, G. F., Passos, M. T., Varela, P., ... & Pesquero, J. B. (2020).** Cathepsin L in COVID-19: from pharmacological evidences to genetics. *Frontiers in cellular & infection microbiology*, 10, 589505.
- Gomez, C. A., Sahoo, M. K., Kahn, G. Y., Zhong, L., Montoya, J. G., Pinsky, B. A., & Doan, T. (2019).** Dual-target, real-time PCR for the diagnosis of intraocular *Toxoplasma gondii* infections. *British Journal of Ophthalmology*, 103(4), 569-572.
- Guérin, A., Corrales, R. M., Parker, M. L., Lamarque, M. H., Jacot, D., El Hajj, H., ... & Lebrun, M. (2017).** Efficient invasion by *Toxoplasma* depends on the subversion of host protein networks. *Nature microbiology*, 2(10), 1358-1366.
- Hadalin, V., Pislar, N., Borstnar, S., Matos, E., Kovac, A., Dobovisek, L., & Perhavec, A. (2022).** Intraoperative touch imprint cytology in breast cancer patients after neoadjuvant chemotherapy. *Clinical Breast Cancer*, 22(4), e597-e603.
- Haghbin, M., Maani, S., Bagherzadeh, M. A., Bazmjoo, A., Shakeri, H., Taghipour, A., ... & Abdoli, A. (2023).** Latent Toxoplasmosis among Breast

Cancer Patients in Jahrom, South of Iran. *International Journal of Breast Cancer*, 2023(1), 4792260.

Hanifehpour, H., Shariat, S. K. S., Ghafari, M. S., Kheir&ish, F., Saber, V., & Fallahi, S. (2019). Serological & molecular diagnosis of *Toxoplasma gondii* infections in thalassemia patients. *Iranian Journal of Parasitology*, 14(1), 20.

Hartati, S., Kusumawati, A., Wuryastuti, H., & Widada, J. S. (2006). Primary structure of mature SAG1 gene of an Indonesian *Toxoplasma gondii* & comparison with other strains. *Journal of veterinary science*, 7(3), 263.

Hehl, A. B., Basso, W. U., Lippuner, C., Ramakrishnan, C., Okoniewski, M., Walker, R. A., ... & Deplazes, P. (2015). Asexual expansion of *Toxoplasma gondii* merozoites is distinct from tachyzoites & entails expression of non-overlapping gene families to attach, invade, & replicate within feline enterocytes. *BMC genomics*, 16, 1-16.

Herbort, C. P., Tuailon, N., Buggage, R. R., Egwuagu, C. E., & Chan, C. C. (2001). Detection of *Toxoplasma gondii* DNA in primary intraocular B-cell lymphoma. *Modern Pathology*, 14(10), 995-999.

Hierl, T., Reischl, U., Lang, P., Hebart, H., Stark, M., Kyme, P., & Autenrieth, I. B. (2004). Preliminary evaluation of one conventional nested & two real-time PCR assays for the detection of *Toxoplasma gondii* in immunocompromised patients. *Journal of medical microbiology*, 53(7), 629-632.

Hill, D. E., & Dubey, J. P. (2018). *Toxoplasma gondii*. Foodborne parasites, 119-138.

Hill, D. E., Dubey, J. P., Baroch, J. A., Swafford, S. R., Fournet, V. F., Hawkins-Cooper, D., ... & Theodoropoulos, G. (2014). Surveillance of feral swine for *Trichinella* spp. & *Toxoplasma gondii* in the USA & host-related factors associated with infection. *Veterinary parasitology*, 205(3-4), 653-665.

Hosseini, S. A., Sharif, M., Sarvi, S., Janbabai, G., Keihanian, S., Abediankenari, S., ... & Daryani, A. (2021). Toxoplasmosis among cancer patients undergoing chemotherapy: a population study based on the serological,

molecular & epidemiological aspects. Transactions of the Royal Society of Tropical Medicine & Hygiene, 115(6), 677-686.

Howe, D. K., Honoré, S., Derouin, F., & Sibley, L. D. (1997). Determination of genotypes of *Toxoplasma gondii* strains isolated from patients with toxoplasmosis. *Journal of clinical microbiology*, 35(6), 1411-1414.

Huston, L. (2015). Cat parasite could hold key to caring cancer for humans <http://www.Petmed.com/blogs/> the daily Vetlorise. immunocompromised patients & correlation with clinical findings .J.Infect. Dis., 15;199(8):1155-67.

Innes, E. A. (2010). A brief history & overview of *Toxoplasma gondii*. Zoonoses & public health, 57(1), 1-7.

Ishii, A., Matsuoka, H., Aji, T., Ohta, N., Arimoto, S., Wataya, Y., & Hayatsu, H. (1994). Parasite infection & cancer: with special emphasis on Schistosoma japonicum infections (Trematoda). A review. *Mutation Research/Fundamental & Molecular organ transplantation. International journal of cancer*, 125(8), 1747-1754.

Jemal, A.; Bray, F.; Center, M.M.; Ferlay, J.; ward, E. & Forman, D. (2011). Global cancer statistics. CA: a cancer journal for clinicians, 61 (20): 69. 90.

Jokelainen, P., Murat, J. B., & Nielsen, H. V. (2018). Direct genetic characterization of *Toxoplasma gondii* from clinical samples from Denmark: not only genotypes II & III. European Journal of Clinical Microbiology & Infectious Diseases, 37, 579-586.

Jones, J. L., & Dubey, J. P. (2010). Waterborne toxoplasmosis—recent developments. Experimental parasitology, 124(1), 10-25.

Jones, J. L., Kruszon-Moran, D., Wilson, M., McQuillan, G., Navin, T., & McAuley, J. B. (2001). *Toxoplasma gondii* infection in the United States: seroprevalence & risk factors. American journal of epidemiology, 154(4), 357-365.

Joynson, D. H. M., & Wreghtt, T. G. (2001). Toxoplasmosis: a comprehensive clinical guide. (No Title).

Kalantari, N., Ahangar, Z., Siadati, S., Nikbakhsh, N., Ghasemi, M., Ghaffari, T., ... & Bayani, M. (2017). Detection of *Toxoplasma gondii* DNA in malignant breast tissues in breast cancer patients. International *Journal of Molecular & Cellular Medicine* (IJMCM), 6(3), 190-196.

Kalantari, N., Ghaffari, S.; Bayani, M.; Elmi, M.M.; Moslemi, D.; Nikbakhsh, N. & Ghavipan jeh, F. (2015). Preliminary study on association between toxoplasmosis & breast cancer in Iran. Asian. Pac. J. Trop. Biomed., 5(1): 44-47.

Karana, S. Dubey, M.L. & Malla, N. (2005). Association of parasitic infedction & cancer . Indian J. Med Microbiol., 23(2) :74-79.

Kasper ,LH . K. (1983) Purification of a major membrane protein of *Toxoplasma gondii* by immunoabsorption with a monoclonal antibody. J Immunol, 130, 2407-2412.

Kasper, D. C., Sadeghi, K., Prusa, A. R., Reischer, G. H., Kratochwill, K., Förster-Waldl, E., ... & Herkner, K. R. (2009). Quantitative real-time polymerase chain reaction for the accurate detection of *Toxoplasma gondii* in amniotic fluid. Diagnostic microbiology & infectious disease, 63(1), 10-15.

Khan, A., Su, C., German, M., Storch, G. A., Clifford, D. B., & Sibley, L. D. (2005). Genotyping of *Toxoplasma gondii* strains from immunocompromised patients reveals high prevalence of type I strains. *Journal of Clinical Microbiology*, 43(12), 5881-5887.

Khabaz, M. N., Elkhateeb, L., & Al-Alami, J. (2011). Reactivation of latent *Toxoplasma gondii* in immunocompromised cancer patients. Comparative Clinical Pathology, 20, 183-186.

Khurana, S., Dubey, M. L., & Malla, N. (2005). Association of parasitic infections & cancers. *Indian Journal of Medical Microbiology*, 23(2), 74-79.

Laliberte, J., & Carruthers, V. B. (2008). Host cell manipulation by the human pathogen *Toxoplasma gondii*. *Cellular & molecular life sciences*, 65, 1900-1915.

Lam, m.m.(2006). Beating cancer with national medicine.Why my. Bloomington IN; the United States of America; pp:55-78.

Li, M., Mo, X. W., Wang, L., Chen, H., Luo, Q. L., Wen, H. Q., ... & Shen, J. L. (2014). Phylogeny & virulence divergency analyses of *Toxoplasma gondii* isolates from China. *Parasites & vectors*, 7, 1-12.

Li, S., Maine, G., Suzuki, Y., Araujo, F. G., Galvan, G., Remington, J. S., & Parmley, S. (2000). Serodiagnosis of recently acquired *Toxoplasma gondii* infection with a recombinant antigen. *Journal of Clinical Microbiology*, 38(1), 179-184.

Liesenfeld, O. (2002). Oral infection of C57BL/6 mice with *Toxoplasma gondii*: a new model of inflammatory bowel disease?. The *Journal of infectious diseases*, 185(Supplement_1), S96-S101.

Liu, Q., Wang, Z. D., Huang, S. Y., & Zhu, X. Q. (2015). Diagnosis of toxoplasmosis & typing of *Toxoplasma gondii*. *Parasites & vectors*, 8, 1-14.

Lykins, J., Li, X., Levigne, P., Zhou, Y., El Bissati, K., Clouser, F., Wallon, M., Morel, F., Leahy, K., El Mansouri, B., Siddiqui, M., Leong, N., Michalowski, M., Irwin, E., Goodall, P., Ismail, M., Christmas, M., Adlaoui, E.B., Rhajaoui, M., Barkat, A., Cong, H., Begeman, I.J., Lai, B.S., Contopoulos-Ioannidis, D.G., Montoya, J.G., Maldonado, Y., Ramirez, R., Press, C., Peyron, F., McLeod, R., (2018). Rapid, inexpensive, fin- gerstick, whole-blood, sensitive, specific, point-of-care test for anti-Toxoplasma antibodies. *PLoS Negl. Trop. Dis.* 12.(8)

Mackay , I.M. ; Arden, K.E. & Nitsche , A. (2002): Real – time PCR in virology . Nucleic Acids Res .(30): 305-1292.

Mahbodfar, H. R., Yousefi-Razin, E., Saki, J., Rafiei, A., & Khademvatan, S. (2015). Study of latent *Toxoplasma gondii* role in level of testosterone, DHEA, cortisol & prolactin hormones of young persons.

Mahmood, A. A., & Rezaig, Z. S. (2019). Detection of *Toxoplasma gondii* in Iraqi Women with Breast Cancer by Real-Time PCR. Kirkuk University Journal for Scientific Studies, 14.(3).

Mahmood, S. I., Saeed, N. A. H. A. A., & Ali, L. Q. (2022). RUBELLA VIRUS & *TOXOPLASMA GONDII* INFECTION WITH IMMUNE ANTIBODIES DIAGNOSIS AMONG BAD OBESTETRIC & PRIMIGRAVIDA PREGNANT WOMEN IN BAGHDAD CITY. World Bulletin of Public Health, 12, 78-85.

Makki, J. (2015). Diversity of breast carcinoma: histological subtypes & clinical relevance. Clinical medicine insights: Pathology, 8, CPath-S31563.

Malek, R. A., Wassef, R., Rizk, E., Sabry, H., Tadros, N., & Boghdady, A. (2018). Toxoplasmosis an overlooked disease: seroprevalence in cancer patients. Asian Pacific journal of cancer prevention: APJCP, 19(7), 1987.

Markus, M.B. (2003). *Toxoplasma gondii*. In international h&book of food borne pathogens. Miliotis, M.D.; Bier, J.W.(Eds). CRC press new york. pp 511-523.

Marquardt, W. C., Demaree, R. S., & Grieve, R. B. (2000). *Parasitology & vector biology* (Vol. 697). San Diego, California: Academic press.

Marques, S., Mariano, J., Mendonça, J., De Tavernier, W., Hess, M., Naegele, L., ... & Martins, D. (2020). Determinants of ageism against older adults: a systematic review. International journal of environmental research & public health, 17(7), 2560.

Martins, M., Urbani, N., Flanagan, C., Siebert, U., Gross, S., Dubey, J. P., & Lopes, A. P. (2021). Seroprevalence of *Toxoplasma gondii* in pinnipeds under human care & in wild pinnipeds. Pathogens, 10(11), 1415.

Mc Pherson, K.; steel, C.; Dixon, J., (2000). ABC of breast diseases: Breast cancer epidemiology, risk factors, & genetics. BMJ., 321 (7261): 62428 .

- McKinney, S. M., Sieniek, M., Godbole, V., Godwin, J., Antropova, N., Ashrafiyan, H., ... & Shetty, S. (2020).** International evaluation of an AI system for breast cancer screening. *Nature*, 577(7788), 89-94.
- McLeod, R. & Remington, J. S. (2000)** Toxoplasmosis *Toxoplasma gondii*. In: Nelson, W. E.; Behrman, R.E.; Klienman, R.M & Arvin, A.M.; Nelson Text book of Pediatrics 16th ed. W.B Saunders Co., Philadelphia., pp: 1054-1065 .
- Mechain, B., Garin, Y. J. F., Robert-Gangneux, F., Dupouy-Camet, J., & Derouin, F. (2000).** Lack of utility of specific immunoglobulin G antibody avidity for serodiagnosis of reactivated toxoplasmosis in immunocompromised patients. *Clinical Diagnostic Laboratory Immunology*, 7(4), 703-705.
- Melville, S. E. (Ed.). (2008).** *Parasite genomics protocols* (Vol. 270). Springer Science & Business Media.
- Mennechet, F. J., Kasper, L. H., Rachinel, N., Minns, L. A., Luangsay, S., Vewalle, A., & Buzoni-Gatel, D. (2004).** Intestinal intraepithelial lymphocytes prevent pathogen-driven inflammation & regulate the Smad/T-bet pathway of lamina propria CD4+ T cells. *European journal of immunology*, 34(4), 1059-1067.
- Montoya J. G & Liesenfeld O. (2004).** Toxoplasmosis. *Lancet*. 363 (9425): 1965-76.
- Montoya, J. G., Liesenfeld, O., Kinney, S., Press, C., & Remington, J. S. (2002).** VIDAS test for avidity of Toxoplasma-specific immunoglobulin G for confirmatory testing of pregnant women. *Journal of Clinical Microbiology*, 40(7), 2504-2508.
- Morelle, C., Varlet-Marie, E., Brenier-Pinchart, M. P., Cassaing, S., Pelloux, H., Bastien, P., & Sterkers, Y. (2012).** Comparative assessment of a commercial kit & two laboratory-developed PCR assays for molecular diagnosis of congenital toxoplasmosis. *Journal of clinical microbiology*, 50(12), 3977-3982.

- Morjaria, S., Epstein, D. J., Romero, F. A., Taur, Y., Seo, S. K., Papanicolaou, G. A., ... & Kaltsas, A. (2016, April).** Toxoplasma encephalitis in atypical hosts at an academic cancer center. In *Open Forum Infectious Diseases* (Vol. 3, No. 2, p. ofw070). Oxford University Press.
- Mostafa, N. E. S., Hamed, E. F. A., Rashed, H. E. S., Mohamed, S. Y., Abdelgawad, M. S., & Elasbali, A. M. (2018).** The relationship between toxoplasmosis & different types of human tumors. The *Journal of Infection in Developing Countries*, 12(02), 137-141.
- Munoz, M., Liesenfeld, O., & Heimesaat, M. M. (2011).** Immunology of *Toxoplasma gondii*. *Immunological reviews*, 240(1), 269-285.
- Murata, F.H.A.; Previato, M.; Frederico, F.B.; Barbosa, A.P.; Nakashima, F.; Fariajr, G.M.D., & Br&ao de Mattos, C.C. (2020).** Evaluation of serological & molecular tests used for the identification of *Toxoplasma gondii* infection in patients treated in an ophthalmology clinic of a public health service in São Paulo state, Brazil. *Front. Cellul. Infec. Microbiol.* 9(472): 1-7.
- Mushattat, S. J., Alaridi, J. A., & Hassan, A. B. (2020).** Histological changes in the placenta & some physiological effects for aborted women infected with *Toxoplasma gondii*.
- Naranjo Valladares, B.T.; León Sánchez, M.A.; IglesiaslRojas, M.B. & Sainz Padrón, L. (2020).** Toxoplasmosis ocular: aspectos clínic epidemiológicos en edad pediátrica %J Revista de Ciencias Médicas de Pinar del Río. *Journal of Medical Sciences of Pinar del Río*, 24(4): e4457.
- Naully, P. G., & Supendi, S. A. (2020).** Detection of B1 gene as Toxoplasmosis marker in women of childbearing age in West Bung Regency, Indonesia. *Journal Teknologi Laboratorium*, 9(2), 168-175.
- Nguyen, D. X., Bos, P. D., & Massagué, J. (2009).** Metastasis: from dissemination to organ-specific colonization. *Nature Reviews Cancer*, 9(4), 274-284.

- Nianhong, Lu. ; Caihong , Liu. ; Jiangyuan , W. ; ying , D ; & Q, Ai . (2015).**
Toxoplasmosis complicating lung cancer : a case report ., Int . Med. case. Rep. J. ; 8:37-40.
- Nolan, S. J., Romano, J. D., & Coppens, I. (2017).** Host lipid droplets: an important source of lipids salvaged by the intracellular parasite *Toxoplasma gondii*. PLoS pathogens, 13(6), e1006362.
- Okamoto, N., & Keeling, P. J. (2014).** The 3D structure of the apical complex & association with the flagellar apparatus revealed by serial TEM tomography in *Psammoma pacifica*, a distant relative of the Apicomplexa. PloS one, 9(1), e84653.
- Ortega, Y. R., & Sterling, C. R. (2018).** Foodborne parasites. 2nd edn., springer International Publ., Switzerl&: 375pp.
- Pardini, L., Carral, L. A., Bernstein, M., Gos, M. L., Olejnik, P., Unzaga, J. M., ... & Venturini, M. C. (2014).** First isolation & molecular characterization of *Toxoplasma gondii* from a human placenta in Argentina. *Parasitology international*, 63(2), 470-472.
- Parkin, D. M., Bray, F., Ferlay, J., & Pisani, P. (2005).** Global cancer statistics, 2002. *CA: a cancer journal for clinicians*, 55(2), 74-108.
- Parkin, D. M., Bray, F., Ferlay, J., & Pisani, P. (2005).** Global cancer statistics, 2002. *CA: a cancer journal for clinicians*, 55(2), 74-108.
- Pena, H.F.; Gennari, S.M.; Dubey, J.P. & Su, C. (2008).** Population structure & mouse virulence of *Toxoplasma gondii* in Brazil. *International Journal Parasitology*.38(5): 561 - 569.
- Pernas, L. & Boothroyd, J. C. (2010).** Association of host mitochondria withThe parasitophorous vacuole during Toxoplasma infection is not dependent on rhoptry proteins ROP2/8. *International Journal Parasitology*., 40(12): 1367-1371.

- Petersen, E. (2007).** Toxoplasmosis. Seminars in fetal & neonatal medicine, Amerc. Journal of Obst. Jynec., 12 (3): 214-223.
- Pilarski, R. (2019).** PTEN hamartoma tumor syndrome: a clinical overview. *Cancers*, 11(6), 844.
- Pisani, P., Parkin, D. M., Muñoz, N., & Ferlay, J. (1997).** Cancer & infection: estimates of the attributable fraction in 1990. *Cancer epidemiology, biomarkers & prevention: a publication of the American Association for Cancer Research, cosponsored by the American Society of Preventive Oncology*, 6(6), 387-400.
- Radhi, I. J., Jassem, M. I., Abbas, S. K., & Al-Mussawi, K. A.** Study the Correlation between Pathogenic Parasitic Infections & Infertility among Women in Kerbala province, Iraq.
- Rivest, S. (2009).** Regulation of innate immune responses in the brain. *Nature Reviews Immunology*, 9(6), 429-439.
- Robert-Gangneux, F., & Belaz, S. (2016).** Molecular diagnosis of toxoplasmosis in immunocompromised patients. *Current opinion in infectious diseases*, 29(4), 330-339.
- Robert-Gangneux, F., & Dardé, M. L. (2012).** Epidemiology of & diagnostic strategies for toxoplasmosis. *Clinical microbiology reviews*, 25(2), 264-296.
- Robert-Gangneux, F., Sterkers, Y., Yera, H., Accoceberry, I., Menotti, J., Cassaing, S., ... & Bastien, P. (2015).** Molecular diagnosis of toxoplasmosis in immunocompromised patients: a 3-year mticenter retrospective study. *Journal of clinical microbiology*, 53(5), 1677-1684.
- Roberts, L. S.; Janavy, J. JR. & Nadlers S. (2013).** Gerald D schmidt Roberts" Foundations of Parasitology, edh., Mc Grwo-Hill , Inc ., United states : 670 PP.
- Rufash, H. N. (2018).** The relationship study between the genotypes of the Toxoplasma gondii parasite and some immunological indicators in women infected with

toxoplasmosis in Al-Najaf governorate. M. Sc. Thesis, University of Kufa, 108 pp.

Saeed, R. E., & Majali, A. A. A. H. Detection of *Toxoplasma gondii* DNA in Uterine & Malignant Prostate Tissues of Cancer Patients1.

Saeij, J. P.; Boyle, J. P.; Grigg, M.E.; Arrizabalaga, G. & Boothroyd, J.C (2005). Bioluminescence imaging of *Toxoplasma gondii* infection in living mice reveals dramatic differences between strains. *Journal Infection & Immunity* .(73):695-70.

Saki, J., Tavakoli, S., & Pedram, M. (2017). Seroprevalence & molecular evaluation of toxoplasmosis in children with cancer in Khuzestan province, Southwest of Iran. *Journal of parasitic diseases*, 41, 947-951.

Sastray, A. S. & Bhat, S. (2014). *Essentials of medical parasitology*. 1st edn., Jaypee Brothers, Medical Publishers Pvt. Ltd. Bangladesh: 356pp.

Shin, H. R., Lee, C. U., Park, H. J., Seol, S. Y., Chung, J. M., Choi, H. C., ... & Shigematsu, T. (1996). Hepatitis B & C virus, Clonorchis sinensis for the risk of liver cancer: a case-control study in Pusan, Korea. *International journal of epidemiology*, 25(5), 933-940.

Sibley, L. D., Khan, A., Ajioka, J. W., & Rosenthal, B. M. (2009). Genetic diversity of *Toxoplasma gondii* in animals & humans. *Philosophical Transactions of the Royal Society B: Biological Sciences*, 364(1530), 2749-2761.

Sikora, M. J., Jankowitz, R. C., Dabbs, D. J., & Oesterreich, S. (2013). Invasive lobular carcinoma of the breast: patient response to systemic endocrine therapy & hormone response in model systems. *Steroids*, 78(6), 568-575.

Simpson, J. F., & S&ers, M. E. (2016). *Differential Diagnoses in Surgical Pathology: Breast*. Lippincott Williams & Wilkins.

Smith, R. A., Cokkinides, V., Brooks, D., Saslow, D., & Brawley, O. W. (2010). Cancer screening in the United States, 2010: a review of current American

Cancer Society guidelines & issues in cancer screening. CA: a cancer journal for clinicians, 60(2), 99-119.

Smout, M. J., Sotillo, J., Laha, T., Papatpremsiri, A., Rinaldi, G., Pimenta, R. N., ... & Loukas, A. (2015). Carcinogenic parasite secretes growth factor that accelerates wound healing & potentially promotes neoplasia. *PLoS pathogens*, 11(10), e1005209.

Smout, M. J., Sripa, B., Laha, T., Mulvenna, J., Gasser, R. B., Young, N. D., ... & Loukas, A. (2011). Infection with the carcinogenic human liver fluke, *Opisthorchis viverrini*. *Molecular BioSystems*, 7(5), 1367-1375.

Sobanski, V., Ajzenberg, D., Delhaes, L., Bautin, N., & Just, N. (2013). Severe toxoplasmosis in immunocompetent hosts: be aware of atypical strains. *American journal of respiratory & critical care medicine*, 187(10), 1143-1145.

Song, Y., Zhao, Y., Pan, K., Shen, B., Fang, R., Hu, M., ... & Zhou, Y. (2021) Characterization & evaluation of a recombinant multiepitope peptide antigen MAG in the serological diagnosis of *Toxoplasma gondii* infection in pigs. *Parasites & Vectors*, 14, 1-10.

Sousa, S., Ajzenberg, D., Vilanova, M., Costa, J., & Dardé, M. L. (2008). Use of GRA6-derived synthetic polymorphic peptides in an immunoenzymatic assay to serotype *Toxoplasma gondii* in human serum samples collected from three continents. *Clinical & Vaccine Immunology*, 15(9), 1380-1386.

Sriamporn, S., Pisani, P., Pipitgool, V., Suwanrungruang, K., Kamsa-Ard, S., & Parkin, D. M. (2004). Prevalence of *Opisthorchis viverrini* infection & incidence of cholangiocarcinoma in Khon Kaen, Northeast Thailand. *Tropical Medicine & International Health*, 9(5), 588-594.

Sripa, B., Brindley, P. J., Mulvenna, J., Laha, T., Smout, M. J., Mairiang, E., ... & Loukas, A. (2012). The tumorigenic liver fluke *Opisthorchis viverrini*—multiple pathways to cancer. *Trends in parasitology*, 28(10), 395-407.

Sripa, B., Kaewkes, S., Sithithaworn, P., Mairiang, E., Laha, T., Smout, M., ... & Brindley, P. J. (2007). Liver fluke induces cholangiocarcinoma. *PLoS medicine*, 4(7), e201.

Stark, J. R., Judson, G., Alderete, J. F., Mundodi, V., Kucknoor, A. S., Giovannucci, E. L., ... & Mucci, L. A. (2009). Prospective study of Trichomonas vaginalis infection & prostate cancer incidence & mortality: Physicians' Health Study. *JNCI: Journal of the National Cancer Institute*, 101(20), 1406-1411.

Taghreed, H. A.,2021. Molecular study of *Toxoplasma gondii* and its relationship with some physiological indicators in women infected with breast cancer in AL-Diwaniyah and AL-Najaf provinces.Ph.D.Thesis, University of Al-Qadisiyah, AL-Diwaniyah,Iraq.

Sturge, C. R., & Yarovinsky, F. (2014). Complex immune cell interplay in the gamma interferon response during *Toxoplasma gondii* infection. *Infection & immunity*, 82(8), 3090-3097.

Su, C., & Dubey, J. P. (2020). Isolation & genotyping of *Toxoplasma gondii* strains. *Toxoplasma gondii: Methods & Protocols*, 49-80.

Sudan, V., Tewari, A. K., & Singh, H. (2015). Molecular characterization & sequence phylogenetic analysis of surface antigen 3 (SAG3) gene of local Indian isolates (Chennai & Izatnagar) of *Toxoplasma gondii*. *Revista do Instituto de Medicina Tropical de São Paulo*, 57, 205-209.

Sudan, V., Tewari, A. K., Singh, H., Saravanan, B. C., & Sankar, M. (2012). Molecular characterization of surface antigen 3 (SAG3) gene of *Toxoplasma gondii* RH-IVRI strain. *Journal of parasitic diseases*, 36, 210-214.

Switaj, K., Master, A., Skrzypczak, M., & Zaborowski, P. (2005). Recent trends in molecular diagnostics for *Toxoplasma gondii* infections. *Clinical Microbiology & Infection*, 11(3), 170-176.

Tait, E. D., & Hunter, C. A. (2009). Advances in understanding immunity to *Toxoplasma gondii*. *Memorias do Instituto Oswaldo Cruz*, 104, 201-210.

Taylor-Phillips, S., Seedat, F., Kijauskaite, G., Marshall, J., Halligan, S., Hyde, C., ... & Steele, R. J. (2022). UK National Screening Committee's approach to

reviewing evidence on artificial intelligence in breast cancer screening. *The Lancet Digital Health*, 4(7), e558-e565.

Tenter, A. M., Heckereth, A. R., & Weiss, L. M. (2000). *Toxoplasma gondii*: from animals to humans. *International journal for parasitology*, 30(12-13), 1217-1258.

Thirugnanam, S., Rout, N., & Gnanasekar, M. (2013). Possible role of *Toxoplasma gondii* in brain cancer through modulation of host microRNAs. *Infectious agents & cancer*, 8, 1-6.

Thomas, F., Lafferty, K. D., Brodeur, J., Elguero, E., Gauthier-Clerc, M., & Missé, D. (2012). Incidence of adult brain cancers is higher in countries where the protozoan parasite *Toxoplasma gondii* is common. *Biology letters*, 8(1), 101-103.

Thulliez, P. (1992). Screeing programme for congenital toxoplasmosis in FRANCE. *journal infected disease suppl.* (84):43-50.

Vajdic, C. M., & Van Leeuwen, M. T. (2009). Cancer incidence & risk factors after solid organ transplantation. *International journal of cancer*, 125(8), 1747-1754.

Vajdic, C. M., & Van Leeuwen, M. T. (2009). Cancer incidence & risk factors after solid *Mechanisms of Mutagenesis*, 305(2), 273-281.

Van Thuan, T., Van Chu, N., Khoa, P. H., Quang, N. T., Van Tu, D., Tho, N. T. Q., ... & Phuong, B. T. H. (2020). A novel BRCA1 gene mutation detected with breast cancer in a vietnamese family by targeted next-generation sequencing: a case report. *Breast cancer: basic & clinical research*, 14, 1178223420901555.

Visvader, J. E. (2009). Keeping abreast of the mammary epithelial hierarchy & breast tumorigenesis. *Genes & development*, 23(22), 2563-2577.

Vittecoq, M., Elguero, E., Lafferty, K. D., Roche, B., Brodeur, J., Gauthier-Clerc, M., ... & Thomas, F. (2012). Brain cancer mortality rates increase with

Toxoplasma gondii seroprevalence in France. Infection, Genetics & Evolution, 12(2), 496-498.

Vuitton, D. A. (2003). The ambiguous role of immunity in echinococcosis: protection of the host or of the parasite?. *Acta tropica*, 85(2), 119-132.

Vuitton, D. A. (2003). The ambiguous role of immunity in echinococcosis: protection of the host or of the parasite?. *Acta tropica*, 85(2), 119-132.

Wallon, M., Franck, J., Thulliez, P., Huissoud, C., Peyron, F., Garcia-Meric, P., & Kieffer, F. (2010). Accuracy of real-time polymerase chain reaction for *Toxoplasma gondii* in amniotic fluid. *Obstetrics & Gynecology*, 115(4), 727-733.

Waslef, R., & Abdel-Malek, R. (2019). Validity of a new immunochromatographic test in detection of *Toxoplasma gondii* in cancer patients. *Journal of parasitic diseases*, 43, 83-86.

Walochnik, J., & Duchêne, M. (Eds.). (2016). Molecular parasitology: protozoan parasites & their molecules. Springer.

Weiss, L .M. ; Kim ,K.(2000).The development & biology of bradyzoites of *Toxoplasma gonmdii* . Front . Biosci ;1.5:D391-405.

Weiss, L. M., & Kim, K. (2007). The Model Apicomplexan: Perspectives & Methods.

Weiss, L.M., Kim, K., (2020). *Toxoplasma gondii*: The Model Apicomplexan - Perspectives & Methods. 3rd ed. Academic Press, London, 1242.

Xiao, J., & Yolken, R. H. (2015). Strain hypothesis of *Toxoplasma gondii* infection on the outcome of human diseases. *Acta physiologica*, 213(4), 828-845.

Yuan, Z., Gao, S., Liu, Q., Xia, X., Liu, X., Liu, B., & Hu, R. (2007). *Toxoplasma gondii* antibodies in cancer patients. *Cancer letters*, 254(1), 71-74.

Zhang, S., Hüe, S., Sène, D., Penfornis, A., Bresson-Hadni, S., Kantelip, B., ... & Vuitton, D. A. (2008). Expression of major histocompatibility complex class I chain-related molecule A, NKG2D, & transforming growth factor- β in the liver of humans with alveolar echinococcosis: new actors in the tolerance to parasites?. *The Journal of infectious diseases*, 197(9), 1341-1349.

Zhou, N., Zhang, X. Y., Li, Y. X., Wang, L., Wang, L. L., & Cong, W. (2018).
Seroprevalence & risk factors of *Toxoplasma gondii* infection in oral cancer patients in China: a case-control prospective study. *Epidemiology & Infection*, 146(15), 1891-1895.

الملحق

Appendices

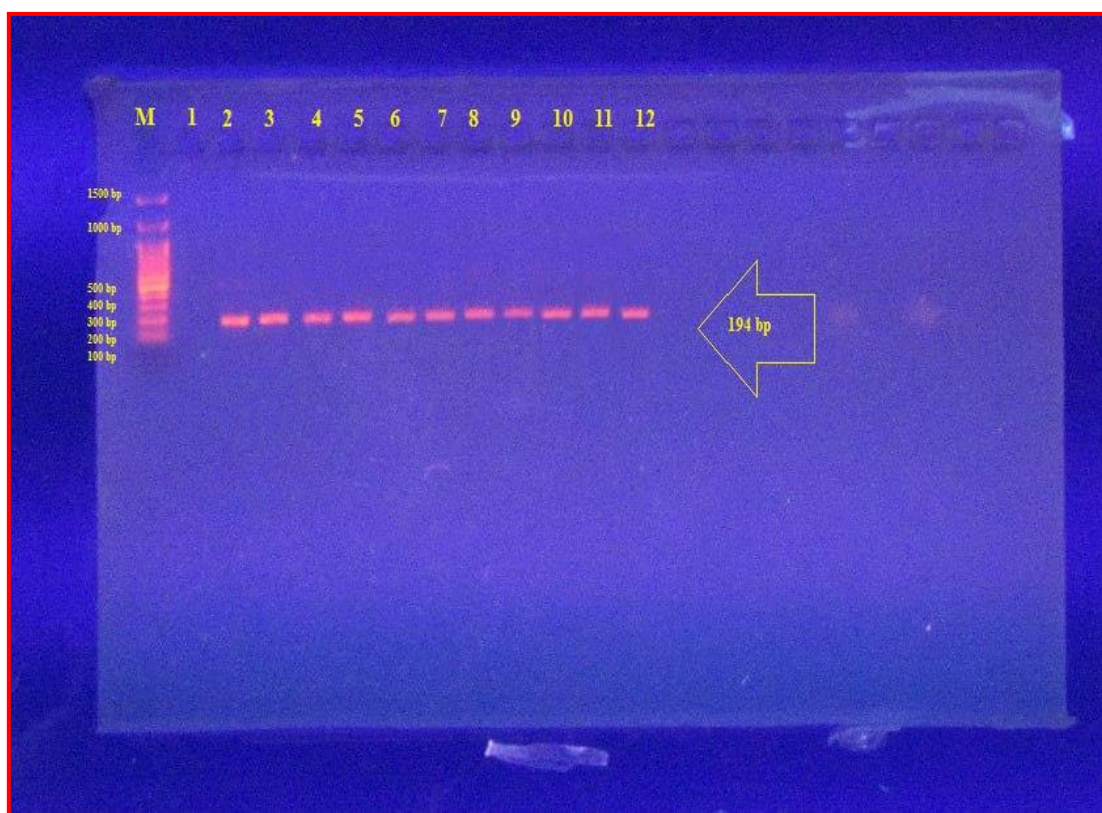
ملحق (1)

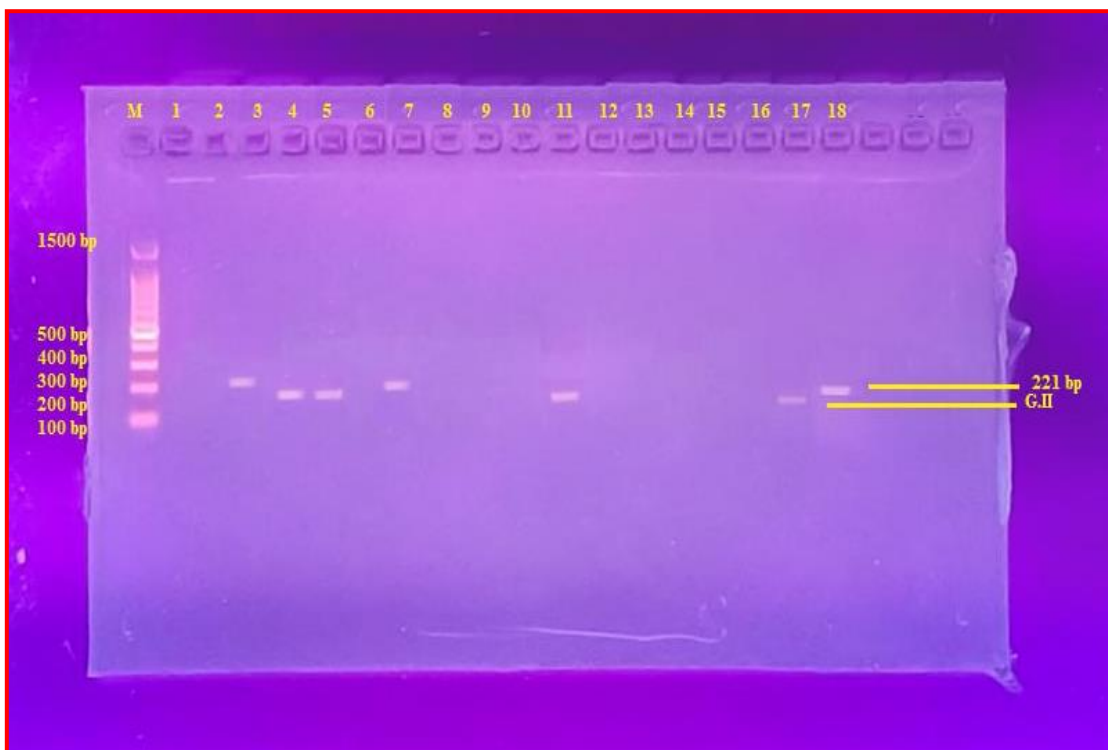
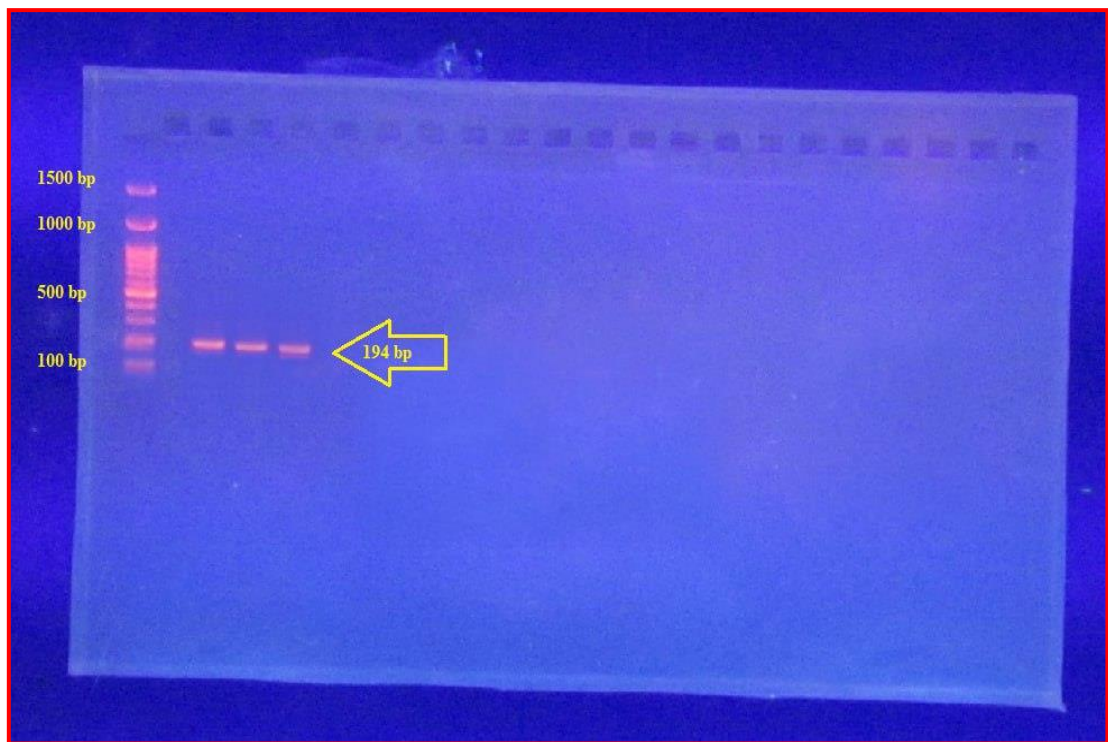
استئمارة المريض

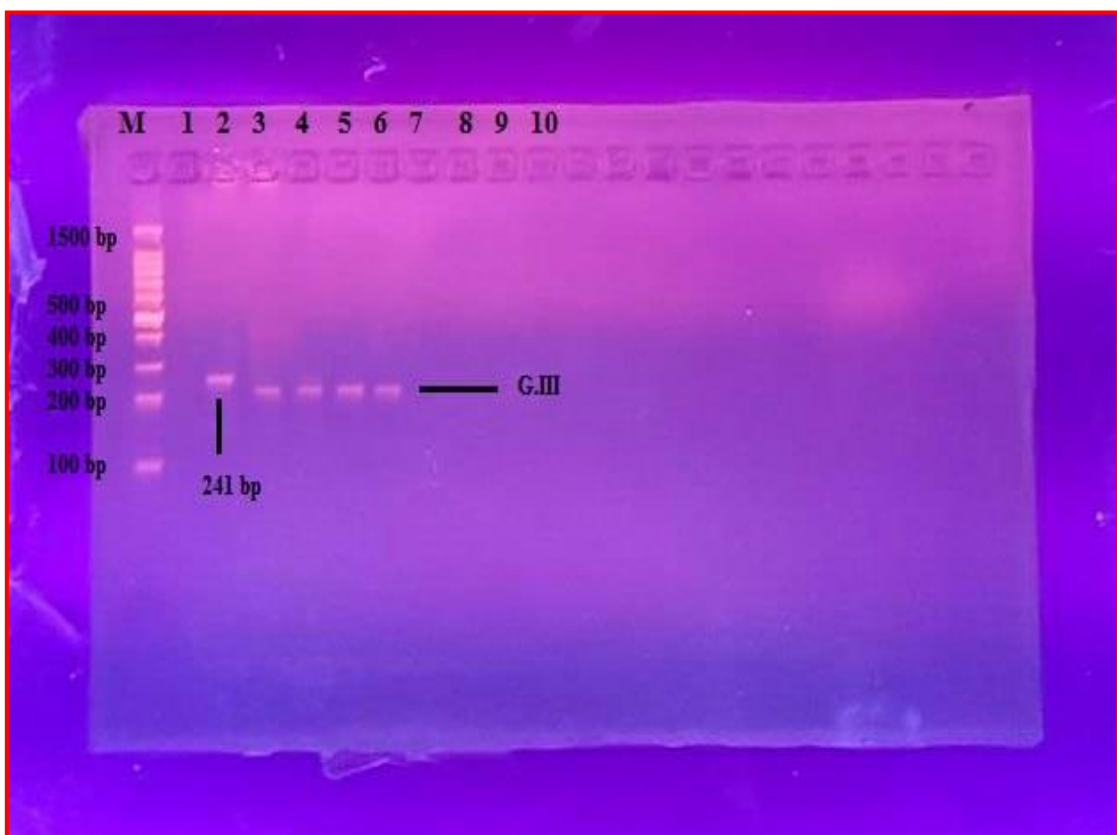
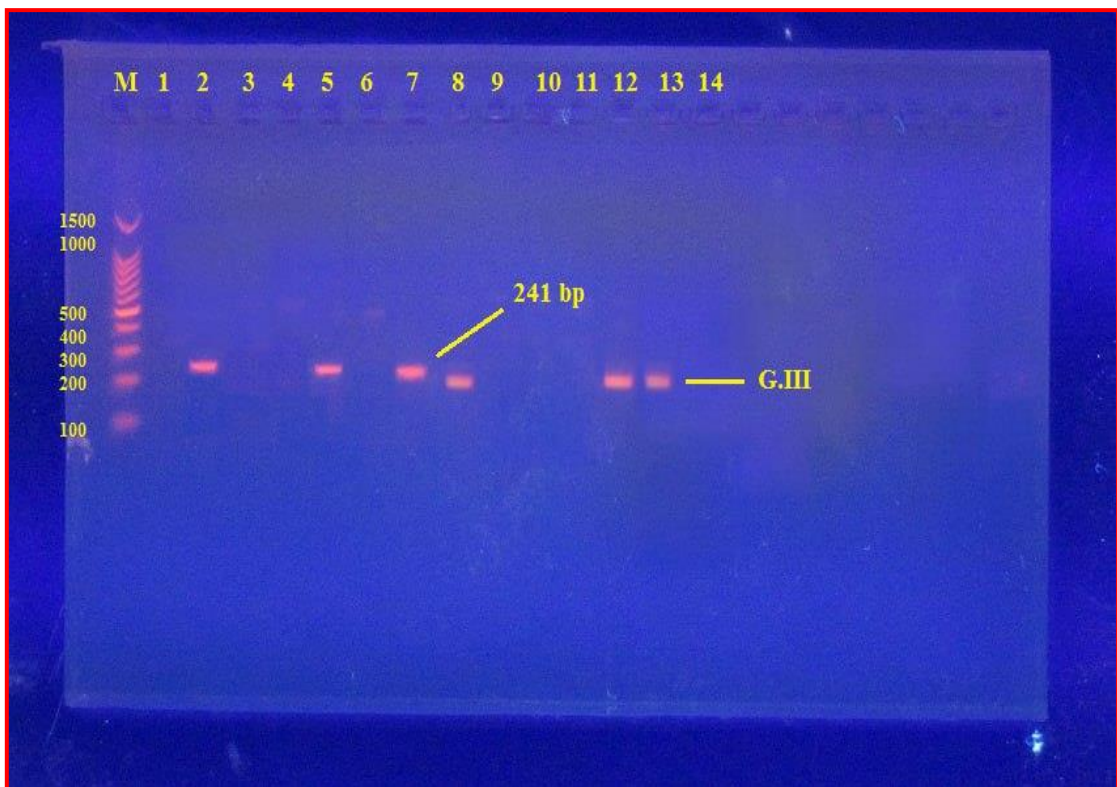
	اسم المريضة:
	العمر:
	نوع سرطان الثدي:
	درجة سرطان الثدي:
	هل كانت المريضة متلقية للعلاج ام لا:

ملحق (2)

صور نتائج فحص البلمرة المتسلسل







محلق (3)

نتائج NCBI

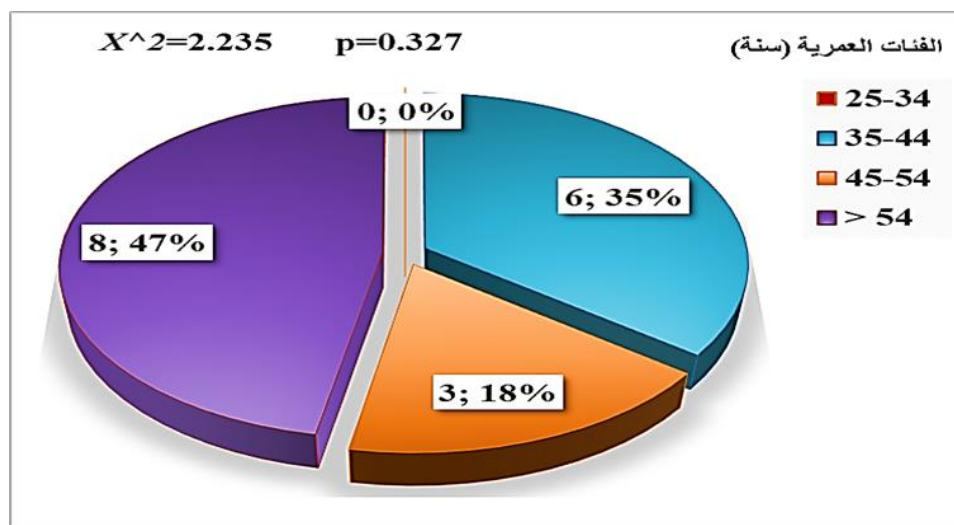
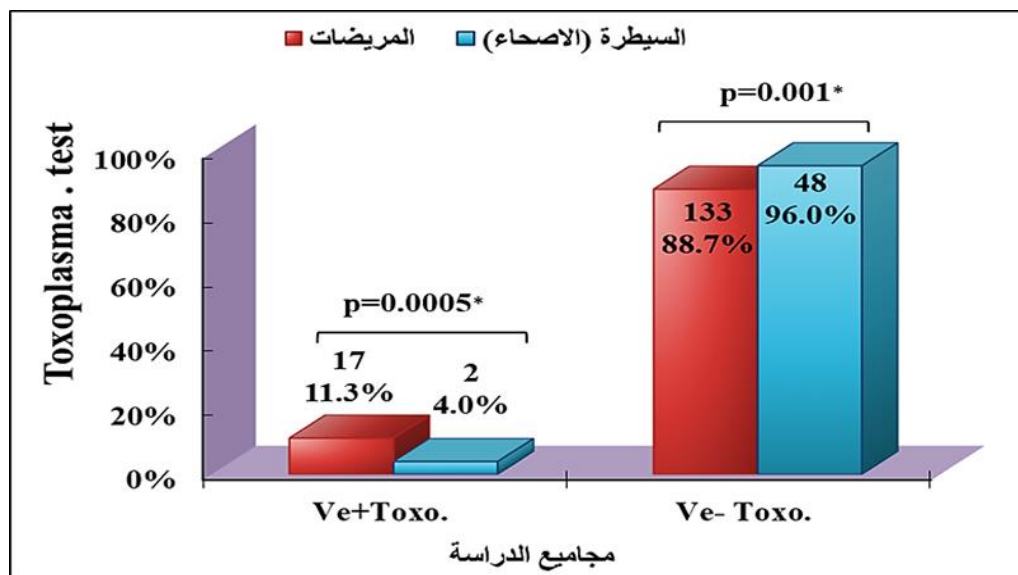
```

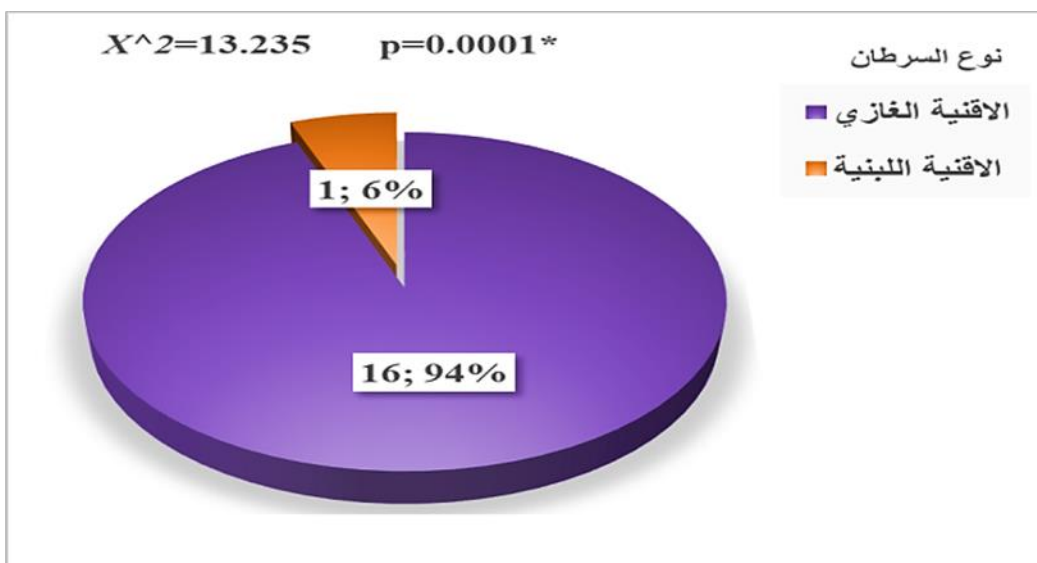
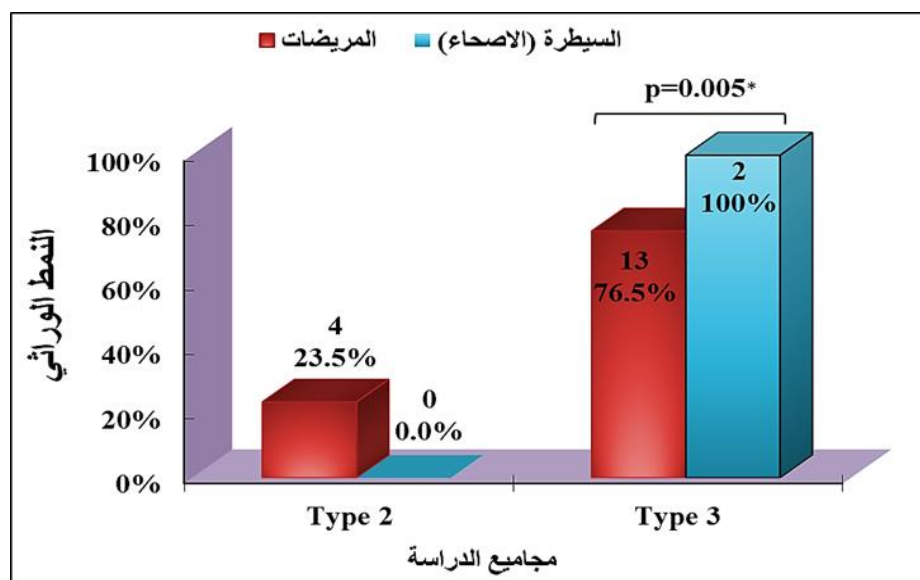
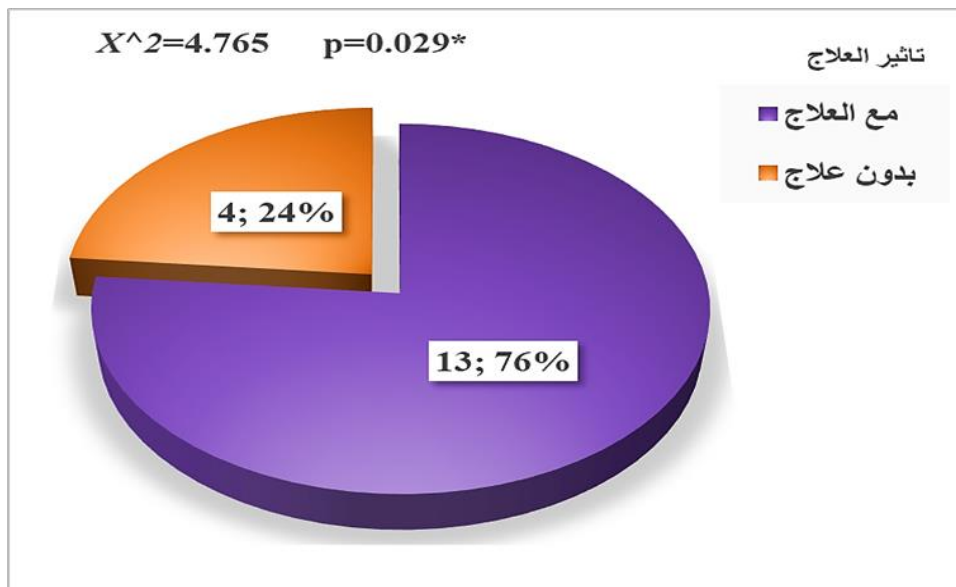
LOCUS      LC848443          831 bp    DNA     linear   INV 22-OCT-
2024
DEFINITION Toxoplasma gondii type III sag3 gene, partial sequence.
ACCESSION  LC848443
VERSION    LC848443.1
KEYWORDS   .
SOURCE     Toxoplasma gondii type III
ORGANISM   Toxoplasma gondii type III
Eukaryota; Sar; Alveolata; Apicomplexa; Conoidasida; Coccidia;
Eucoccidiorida; Eimeriorina; Sarcocystidae; Toxoplasma.
REFERENCE  1
AUTHORS   Aqala,S.A., Kawther,A.H. & Haider,J.K.
TITLE     Toxoplasma gondii Sag3
JOURNAL   Unpublished
REFERENCE  2 (bases 1 to 831)
AUTHORS   Aqala,S.A., Kawther,A.H., Haider,J.K. & ALi.
TITLE     Direct Submission
JOURNAL   Submitted (18-OCT-2024) Contact:ALi University of Karbala,
           micrioniology; University of Karbala, Karbala 65001, Iraq
FEATURES
  source      Location/Qualifiers
               1..831
               /organism="Toxoplasma gondii type III"
               /mol_type="genomic DNA"
               /isolation_source="Breast cancer"
               /host="Homo sapiens"
               /db_xref="taxon:398031"
               /geo_loc_name="Iraq"
               /collection_date="2024-04-30"
  gene        <1..>831
               /gene="sag3"
  misc feature <1..>831
               /gene="sag3"
               /note="genotype iii"
ORIGIN
  1 atgagaagta agataaactta ttttggcacg ctcactcaga aggctccgaa ctggtaccgc
  61 tgctctcaa cgagggcgaa agaaggagtc gttaggacatg tgacgctgaa caaagagcac
  121 cctgatatacg caattgaatg cgtcgacgac ggcttggccg gagagttttt gcccgtcgaa
  181 ggcgcgacgt cgtcgatccc gcgagttatgt cacattgatg ccaaggacaa gggcgactgc
  241 gagcgcaaca agggctttct gaccgactac ataccggccg cgaagcagta ctggtacaag
  301 atagaaaaagg tggagaaccaa cggcgagcaa tccgttctgt acaaattcac agttccttgg
  361 atattccttc cggccgccaa gcagcgatac aagggttgat gccgataccca gaaccacgag
  421 tattgctttg ttgaggccac cgtcgaaaccc acgccccccaa tggtcgaagg caagagagt
  481 acctgcgggt accccgagtc cggccccgtg aatctcgagg tggacttgtc aaaggacgcf
  541 aactttatcg agattcggtg cggcgaacag caccacccgc agccgtcgac ctacacgctg
  601 cagtaactgct caggtgactc ggtggacccg cagaagtgtt cgcgcgcgtc cctgacgaa
  661 attttttatg actacagctc ttctgtgtgg aaggggaaac tgaacggggcc tgacggggca
  721 actctcacca ttccacccgg cgggttcccc gaagaagaca aatctttct tggcgggtgt
  781 tcactcactg tggacgggcc gcccctctgc aacgtcaaag tgagagttt a
//
```

LOCUS LC848444 792 bp DNA linear INV 22-OCT-2024
 DEFINITION *Toxoplasma gondii* type II sag3 gene, partial sequence.
 ACCESSION LC848444
 VERSION LC848444.1
 KEYWORDS .
 SOURCE *Toxoplasma gondii* type II
 ORGANISM *Toxoplasma gondii* type II
 Eukaryota; Sar; Alveolata; Apicomplexa; Conoidasida; Coccidia; Eucoccidiorida; Eimeriorina; Sarcocystidae; Toxoplasma.
 REFERENCE 1
 AUTHORS Aqala,S.A., Kawther,A.H. & Haider,J.K.
 TITLE *Toxoplasma gondii* Sag3
 JOURNAL Unpublished
 REFERENCE 2 (bases 1 to 792)
 AUTHORS Aqala,S.A., Kawther,A.H., Haider,J.K. & ALi.
 TITLE Direct Submission
 JOURNAL Submitted (18-OCT-2024) Contact:ALi University of Karbala, micrioniology; University of Karbala, Karbala 65001, Iraq
 FEATURES Location/Qualifiers
source 1..792
 /organism="*Toxoplasma gondii* type II"
 /mol_type="genomic DNA"
 /isolation_source="Breast cancer"
 /host="Homo sapiens"
 /db_xref="taxon:[1209523](#)"
 /geo_loc_name="Iraq"
 /collection_date="2024-04-30"
gene <1..>792
 /gene="sag3"
misc feature <1..>792
 /gene="sag3"
 /note="Genotypypr II"
 ORIGIN
 1 atgttcgcgg ctttggttt gtgtgtgttg tctgcgatct tggaaaccgg agagcgcggaa
 61 ctgttcgtcg cccgaggaa ctcgagaaga aagataacccat ttttggcac gtcactcgat
 121 aaggctccga actggtaccg ctgctcctca acgaggcga aagaagaggt cgttaggacat
 181 gtgacgctga acaaagagca ccctgatatg acaattgaat gcgtcgacga cggcttgggc
 241 ggagagttt tgccgctcga aggccgagg tcgtcgatcc cacgagtatg tcacattgt
 301 gccaaggacc aggacgactg cgagcgaac aggggcttgc tgaccgacta cataccgggc
 361 gcgaaggactg actggtacaa gatagaaaag gtggagcaga acggcgagca atccgttctg
 421 tacaaattca ctgttccttg gatcctcctt ccgcccgcga agcagcgata caaggttgg
 481 tgccgataacc cgaaccacga gtactgctt gttgaggtaa ccgtcgaaacc cacgccgc
 541 atggtcgaag gcaagagact gacctgcggg tactccgactt ccggccccgt gaatctcgag
 601 gtggacttgtt caaagaacgc gaactttatc gagattcggt gccggcgaaca gcaccaccc
 661 cagccgtcga cctacacgcgt gcagtgactgc tcaggtgactt ccgtggaccc gcagaagtgt
 721 tccccgcagt ccctgacgaa catttttat gactacagctt cttcggttg gaaggggaaa
 781 ctgaacgggt ag
 //

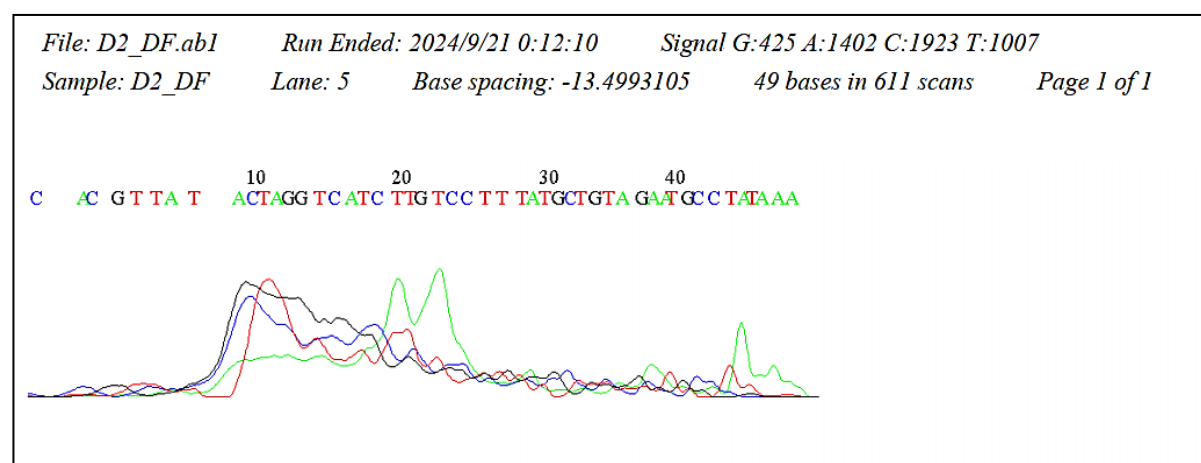
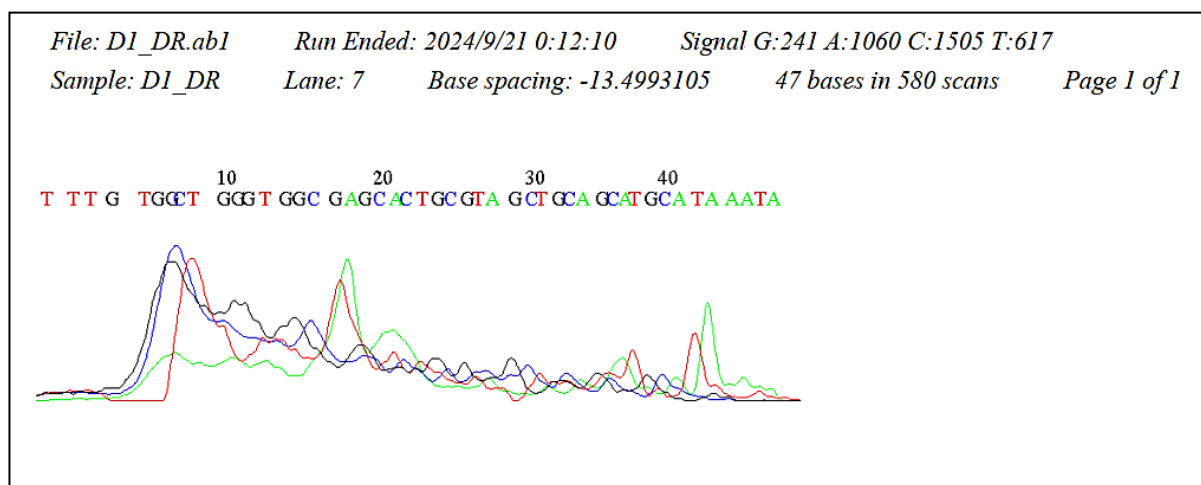
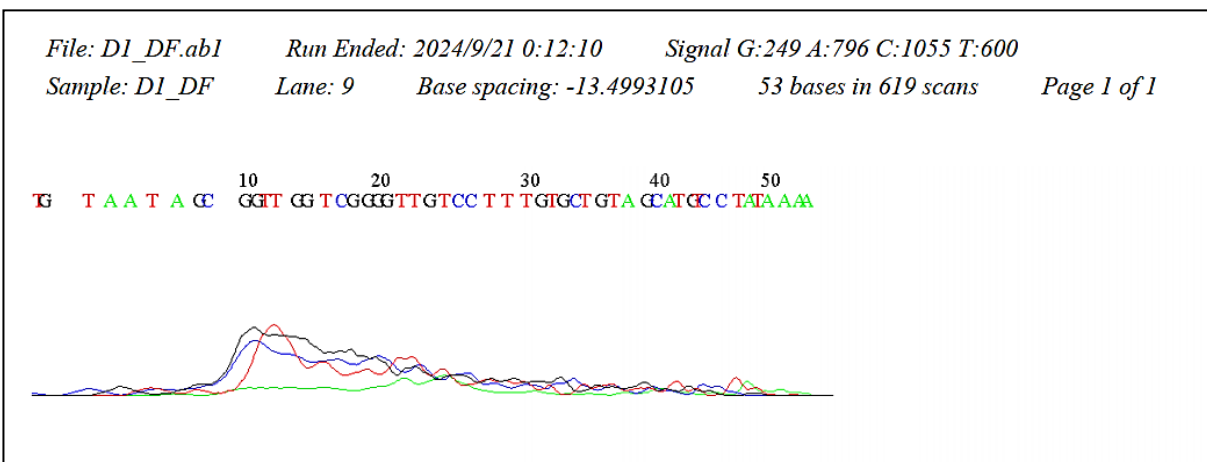
ملحق (4)

الاشكال الاحصائية

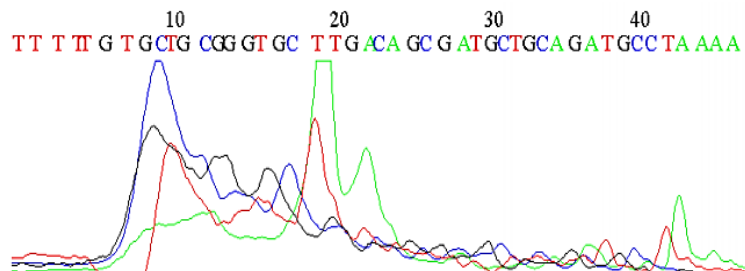




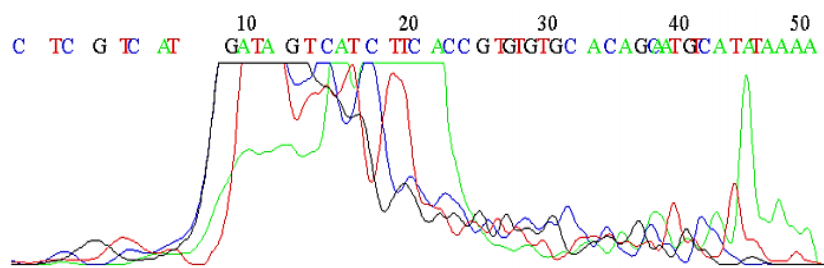
نتائج فحص PCR sequence



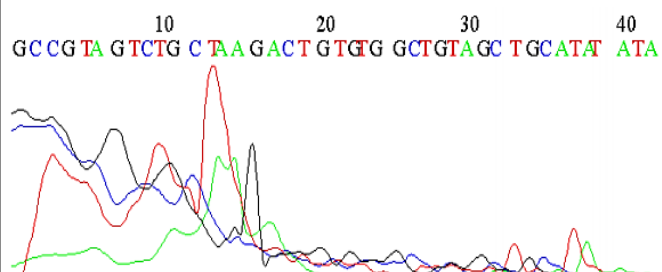
File: D2_DR.ab1 Run Ended: 2024/9/21 0:12:10 Signal G:145 A:710 C:1081 T:345
Sample: D2_DR Lane: 3 Base spacing: -13.4993105 46 bases in 578 scans Page 1 of 1



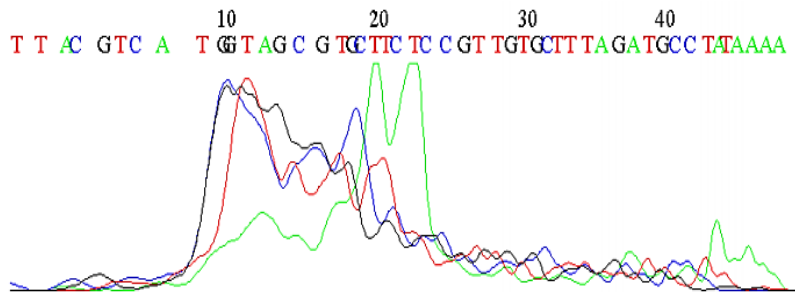
File: D3_DF.ab1 Run Ended: 2024/9/21 0:12:10 Signal G:1337 A:4846 C:5863 T:2800
Sample: D3_DF Lane: 1 Base spacing: -13.4993105 51 bases in 627 scans Page 1 of 1



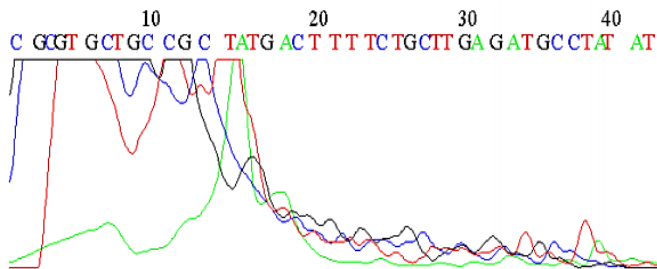
File: D3_DR.ab1 Run Ended: 2024/9/21 0:12:10 Signal G:1240 A:7296 C:5785 T:3214
Sample: D3_DR Lane: 16 Base spacing: -13.4993105 42 bases in 523 scans Page 1 of 1



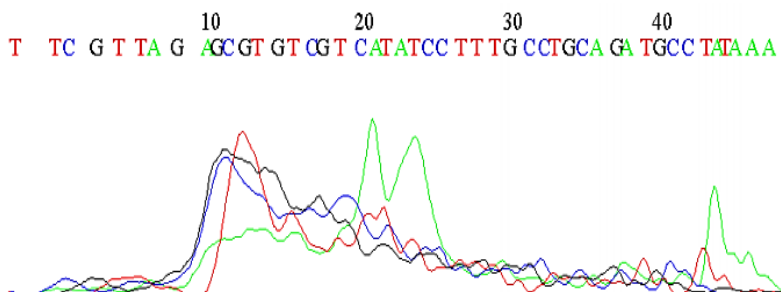
File: D4_DF.ab1 Run Ended: 2024/9/21 0:12:10 Signal G:711 A:2373 C:2755 T:1494
Sample: D4_DF Lane: 14 Base spacing: -13.4993105 49 bases in 614 scans Page 1 of 1



File: D4_DR.ab1 Run Ended: 2024/9/21 0:12:10 Signal G:791 A:4208 C:5031 T:1579
Sample: D4_DR Lane: 12 Base spacing: -13.4993105 42 bases in 524 scans Page 1 of 1



File: D5_DF.ab1 Run Ended: 2024/9/21 0:12:10 Signal G:324 A:955 C:1295 T:666
Sample: D5_DF Lane: 10 Base spacing: -13.4993105 48 bases in 608 scans Page 1 of 1



File: D5_DR.ab1

Run Ended: 2024/9/21 0:12:10

Signal G:314 A:2486 C:2461 T:1155

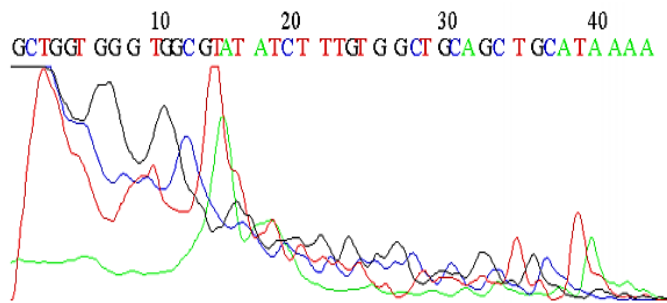
Sample: D5_DR

Lane: 8

Base spacing: -13.4993105

43 bases in 512 scans

Page 1 of 1



Abstract

The current study aimed to compare the incidence of *Toxoplasma gondii* among patients with both benign & malignant breast cancer in the Holy Kerbala province. The current study was conducted in October of From 2023 to June 2024, 150 samples of malignant breast cancer tissue embedded in paraffin wax & diagnosed by the specialist doctor were collected, & 50 samples of benign tumor tissue, These samples were collected from the tissue sectioning laboratory in Imam Hussein Medical City, the Al-Kafeel Specialized Hospital Laboratory, & the Specialized AL-Sajad laboratory for histological & cellular examinations & tumor diagnosis in Holy Kerbala.

The study samples included three groups: the first group consisted of 66 women with breast cancer who did not undergo chemotherapy, the second group consisted of 84 women with breast cancer who underwent chemotherapy, The third group consisted of 50 women with benign tumors. The ages of the patients ranged from 25 to 54, The polymerase chain reaction (PCR) technique was performed, as was identified, Most of the genotypes of the toxoplasmosis parasite were identified using a molecular technique called Restriction Fragment Length Polymorphism (Mn-PCR-RFLP) on short-stranded RNA, DNA in tissue samples affected by breast cancer for all groups under study, based on the amplification of the B1, SAG3, & SAG1 genes, as special cutting enzymes were used to determine the genotype, For the *Toxoplasma gondii* parasite, the Hhal enzyme was used to determine the second genotype at 221bp, & the Sau3AI enzyme was used to determine the third genotype at 241bp, & histological examination.

The results showed that the incidence of toxoplasmosis in breast cancer patients was 11.3%, compared to 4% in women with benign tumors, & that the infection rate in women who received treatment 76.5% As for women who did not receive treatment, the infection rate reached 23.5%, & the risk of infection increases the probability of sick women developing breast cancer by 3.7% compared to healthy women, as indicated In the current study, the age group most affected by *Toxoplasma gondii* was the group <56, as the infection rate in this group was 37.3%, The results revealed that the most common genotypes that appeared in the study groups were the second genotype & the third genotype. However, the results of the histological examination did not show any clear histological changes in the tissues of the study groups.



**University of Kerbala
College of Education for Pure Sciences
Department of Biology**

**Molecular Study to Investigate the Incidence of Toxoplasmosis in
Women with Malignant & Benign Breast Cancer at the Holy Kerbala**

**A Thesis
Submitted to the Council of the College of Education for Pure
Sciences / University of Kerbala as part of the requirements for
obtaining a Master's Degree in Biology**

**written by
Aqala Sabah Ahmed Abdul Wahed**

(B.Sc., University of Kerbala, 2020)

**Supervised by
Prof. Dr. Kawther Abdul Hussein Mahdi Al-Mussawi
Dr. Haider jebur kehiosh**